

# Um modelo baseado em dados históricos para a estimação dos juros da dívida técnica

Jandisson Soares de Jesus

TEXTO DA TESE DE DOUTORADO APRESENTADA  
AO  
INSTITUTO DE MATEMÁTICA E ESTATÍSTICA  
DA  
UNIVERSIDADE DE SÃO PAULO  
PARA  
OBTENÇÃO DO TÍTULO  
DE  
DOUTOR EM CIÊNCIAS

Programa: Ciência da Computação  
Orientadora: Profa. Dra. Ana Cristina V. de Melo

Durante o desenvolvimento deste trabalho o autor recebeu auxílio financeiro da CAPES

São Paulo, Maio de 2019

# **Um modelo baseado em dados históricos para a estimação da dívida técnica**

Esta é a versão original da tese elaborada pelo  
candidato Jandisson Soares de Jesus, tal como  
submetida à Comissão Julgadora.

# Resumo

Jesus, J. S. **Um modelo baseado em dados históricos para a estimação da dívida técnica.** 2016. 120 f. Tese (Doutorado) - Instituto de Matemática e Estatística, Universidade de São Paulo, São Paulo, 2016.

Negligenciar o gerenciamento da dívida técnica traz consequências negativas para os projetos de desenvolvimento de software. Caso a dívida técnica atinja patamares muito altos, é possível que a continuidade do projeto se torne inviável. Uma das atividades do gerenciamento é estimar o esforço adicional, causado pela existência da dívida técnica, para realizar as futuras atividades de desenvolvimento. Esse esforço adicional é chamado de juros da dívida técnica. Apesar de sua importância, pouco se sabe a respeito dele. Essa falta de informação dificulta o gerenciamento, pois a estimativa dos juros é essencial para a priorização do pagamento da dívida técnica. Caso uma dívida apresente juros muito baixos, não faz sentido que seu pagamento seja priorizado. Semelhantemente, caso uma dívida tenha os juros muito alto, o pagamento dela deve ser priorizado. Além disso, saber quais tipos de dívida apresentam maiores juros permitiria a definição de estratégias para evitar a criação desses tipos de dívida técnica. Neste projeto iremos propor um modelo para estimar o comportamento dos juros da dívida técnica. Esse modelo irá utilizar dados de projetos presentes em repositórios de software para analisar o impacto da dívida técnica no desenvolvimento e evolução dos projetos. Iremos estimar, para um determinado tipo de dívida técnica, o quanto de esforço extra será necessário para realizar as atividades de desenvolvimento e evolução do software em decorrência da existência dessa dívida.

**Palavras-chave:** dívida técnica, repositório de software, estimativa de software.



# Abstract

Jesus, J. S. **A repository-based model to estimate technical debt..** 2016. 120 f. Tese (Doutorado) - Instituto de Matemática e Estatística, Universidade de São Paulo, São Paulo, 2016.

An insufficient technical debt management can bring bad consequences to software development projects. If the technical debt reaches a too high level, it is possible that the continuity of the project becomes unfeasible. One of the management activities is the estimation of the additional effort to make future development activities. We call this additional effort as the interest of the technical debt. Despite its importance, little is known about him. This lack of information difficulties its management because the estimation of the interest is essential for the prioritization of the technical debt payment. If a technical debt presents a very low interest, its payment does not need to be prioritized. Similarly, if a debt has very high interest, the payment it should be prioritized. Also, finding which debt types have higher interest rates would allow the development of strategies to prevent the creation of these kinds of technical debt. In this project we propose a model to estimate the behavior of technical debt interest. This model will use data of projects in software repositories to analyze the impact of technical debt in the development and evolution of projects. We estimate, for a given type of technical debt, how much extra effort will be needed to carry out development activities and progress of the software due to the existence of that debt.

**Keywords:** technical debt, software repository, software estimation.



# Sumário

<b>Lista de Figuras</b>	<b>ix</b>
<b>Lista de Tabelas</b>	<b>xi</b>
<b>1 Introdução</b>	<b>1</b>
1.1 Motivação . . . . .	3
1.2 Objetivos . . . . .	4
1.3 Trabalhos relacionados aos juros da dívida técnica . . . . .	5
1.3.1 Mapeamento dos trabalhos relacionados . . . . .	6
1.3.2 Diferenças e semelhanças dos trabalhos relacionados e esta pesquisa . . . . .	8
1.4 Organização do texto . . . . .	10
<b>2 Dívida Técnica</b>	<b>11</b>
2.1 Introdução . . . . .	11
2.2 Definição da dívida técnica . . . . .	16
2.3 A metáfora . . . . .	20
2.3.1 Termos da metáfora . . . . .	21
2.4 Classificações da dívida técnica . . . . .	24
2.5 Tipos de dívida técnicas . . . . .	25
2.5.1 Código . . . . .	25
2.5.2 Design . . . . .	26
2.5.3 Testes . . . . .	26
2.5.4 Documentação . . . . .	26
2.5.5 Defeitos . . . . .	27
2.5.6 Arquitetura . . . . .	27
2.5.7 Construção . . . . .	28
2.5.8 Tecnologia . . . . .	28
2.6 Identificação da dívida técnica . . . . .	29
2.7 Gerenciamento da dívida técnica . . . . .	30
2.7.1 Abordagens adaptadas da área financeira . . . . .	31
2.7.2 Abordagens específicas . . . . .	32
2.7.3 Dívida técnica como uma ferramenta estratégica . . . . .	36

<b>3</b>	<b>O modelo de estimação dos juros da dívida técnica</b>	<b>37</b>
3.1	Introdução . . . . .	37
3.2	Avaliação da produtividade dos projetos de software . . . . .	38
3.2.1	Modelos baseados em expectativa de produção . . . . .	39
3.3	O modelo de estimação dos juros da dívida técnica . . . . .	40
3.3.1	Estimação dos juros por aproximação . . . . .	42
3.3.2	Abstração do modelo . . . . .	43
3.4	Criação das instâncias do modelo de estimação dos juros da dívida técnica . . . . .	44
3.4.1	Seleção das métricas que representam as entradas do processo . . . . .	45
3.4.2	Seleção das métricas que representam as saídas do processo . . . . .	47
3.4.3	Definição do método de agrupamento dos projetos semelhantes . . . . .	48
3.4.4	Definição do método de particionamento dos grupos de projetos . . . . .	50
3.5	O modelo de estimação dos juros em projetos de software livre . . . . .	50
3.6	Entradas . . . . .	50
3.6.1	O modelo de assiduidade e qualidade da colaboração . . . . .	52
3.7	Saídas . . . . .	59
3.7.1	Linhas de código . . . . .	59
3.7.2	<i>Pull Requests</i> . . . . .	61
3.7.3	Popularidade . . . . .	61
3.8	Método de agrupamento dos projetos semelhantes . . . . .	62
3.9	Método de particionamento dos grupos de projetos . . . . .	62
3.10	Conclusões . . . . .	63
<b>4</b>	<b>Planejamento do estudo de caso</b>	<b>65</b>
4.1	Introdução . . . . .	65
4.2	Dados do estudo de caso . . . . .	66
4.2.1	Mineração de repositórios . . . . .	67
4.3	Etapas do estudo de caso . . . . .	67
4.4	Ferramenta de automatização do estudo de caso: GitResearch . . . . .	69
4.4.1	Arquitetura . . . . .	70
4.4.2	Passos do processamento . . . . .	72
4.5	Outras ferramentas utilizadas . . . . .	74
4.5.1	GitHub . . . . .	75
4.5.2	GHTorrent . . . . .	75
4.5.3	O SonarQube . . . . .	78
4.5.4	Medição da dívida técnica . . . . .	81
4.5.5	Limitações na medição da dívida técnica . . . . .	84
4.6	Conclusões . . . . .	85
<b>5</b>	<b>Execução do estudo de caso</b>	<b>87</b>
5.1	Introdução . . . . .	87
5.2	Seleção . . . . .	88
5.3	Seleção dos projetos candidatos . . . . .	88
5.3.1	Exclusão dos projetos incompatíveis . . . . .	88



5.4	Agrupamento dos projetos . . . . .	94
5.4.1	Extração das descrições dos projetos . . . . .	95
5.4.2	Pré-processamento . . . . .	95
5.4.3	Execução do LDA . . . . .	96
5.5	Extração dos dados . . . . .	101
5.6	Execução do SonarQube nos projetos . . . . .	101
5.7	Extração dos resultado do SonarQube . . . . .	103
5.8	Cálculo das métricas . . . . .	104
5.8.1	Cálculo da colaboração . . . . .	104
5.8.2	Cálculo da produtividade . . . . .	107
5.9	Cálculo dos juros . . . . .	108
5.10	Análise . . . . .	108
5.10.1	Análise dos resultados . . . . .	109
5.10.2	Distuição dos projetos por tópicos . . . . .	110
5.10.3	Dívida técnica . . . . .	113
5.10.4	Tamanho dos projetos . . . . .	118
5.10.5	Correlações entre a dívida técnica e as métricas de tamanho . . . . .	120
5.10.6	Colaboração . . . . .	123
5.10.7	Produtividade . . . . .	126
5.11	Análise dos juros . . . . .	128
<b>6</b>	<b>Conclusão</b>	<b>133</b>
6.1	Resumo . . . . .	133
6.2	Resultados . . . . .	134
6.3	Principais contribuições . . . . .	135
6.4	Trabalhos futuros . . . . .	136
<b>A</b>	<b>Controle de versões utilizando o Git</b>	<b>139</b>
A.1	Comandos Git . . . . .	141
<b>B</b>	<b>Banco de dados</b>	<b>143</b>
	<b>Referências Bibliográficas</b>	<b>145</b>



# Lista de Figuras

1.1	Número anual de citações ao termo dívida técnica. . . . .	3
1.2	Quantidade de projetos por tópico do LDA. . . . .	6
2.1	Exemplo de dívida técnica em código fonte. . . . .	13
2.2	Exemplo de dívida técnica em banco de dados. . . . .	15
2.3	Exemplo de refatoração para viabilizar a criação de um teste unitário. . . . .	16
2.4	Panorama da dívida técnica. Adaptado de [KNOF13]. . . . .	18
2.5	Localização da dívida técnica na hierarquia dos problemas de qualidade de software. . . . .	19
2.6	Representação dos juros como o esforço adicional causado pela dívida técnica. . . . .	23
2.7	Framework para gerenciamento da dívida técnica. Adaptado de [SG11]. . . . .	34
3.1	Níveis de abstração do modelo de estimação dos juros da dívida técnica. . . . .	44
3.2	As relações de seguir e poder ser seguido no GitHub. Adaptado de [MSHZ15]. . . . .	56
4.1	Resumo das etapas do estudo de caso. . . . .	68
4.2	Arquitetura do framework Spring Batch. Adaptada de [Min11]. . . . .	70
4.3	Código responsável por configurar o <i>Job</i> no GitResearch. . . . .	72
4.4	Passos do processamento no GitResearch. . . . .	73
4.5	Mapeamento entre as etapas do estudo de caso e as etapas de processamento no GitResearch. . . . .	74
4.6	Tabelas do GHTorrent. . . . .	77
4.7	Código responsável por criar a configuração para a execução do <i>scanner</i> do SonarQube no GitResearch. . . . .	79
5.1	Resumo das etapas do estudo de caso. . . . .	88
5.2	Resumo das etapas do estudo de caso. . . . .	94
5.3	Resumo das etapas do estudo de caso. . . . .	101
5.4	Código do GitResearch responsável por contar a quantidade de <i>commits</i> de cada projeto. . . . .	102
5.5	Código responsável por executar o <i>scanner</i> do SonarQube em cada projeto. . . . .	103
5.6	Resumo das etapas do estudo de caso. . . . .	104
5.7	Código responsável por calcular o pagerank. . . . .	106
5.8	Resumo das etapas do estudo de caso. . . . .	108
5.9	Quantidade de projetos por tópico do LDA. . . . .	111
5.10	Quantidade de projetos por domínio. . . . .	113
5.11	Dívida técnica. . . . .	114

5.12 Dívida técnica por tópico. . . . .	114
5.13 Dívida técnica por domínio. . . . .	115
5.14 Dívida técnica por domínio. . . . .	116
5.15 Evolução da dívida técnica por domínio. . . . .	117
5.16 Frequência de projetos por intervalo de número de linhas de código. . . . .	118
5.17 Dívida técnica por domínio. . . . .	119
5.18 Dívida técnica por domínio. . . . .	119
5.19 Dívida técnica por domínio. . . . .	120
5.20 Correlação entre a dívida técnica e a quantidade de linhas de código. . . . .	121
5.21 Correlação entre a dívida técnica e a quantidade de <i>watchers</i> . . . . .	122
5.22 Correlação entre a dívida técnica e a quantidade de <i>Pull requests</i> . . . . .	123
A.1 Exemplo da estrutura de armazenamento de versões do Git. . . . .	141
A.2 Exemplo de merge entre duas <i>branches</i> . . . . .	141

# Lista de Tabelas

1.1	Resumo dos trabalhos encontrados no mapeamento sistemático. . . . .	8
2.1	Sinônimos do termo “dívida técnica”. Adaptado de [P <sup>+</sup> 15] . . . . .	20
3.1	Quantidade de linhas de código, número de desenvolvedores, número de desenvolvedores ajustado e produtividade de três projetos de software fictícios. . . . .	40
3.2	Atividades necessárias para a criação de um modelo concreto de estimação dos juros da dívida técnica específico. . . . .	45
4.1	Métricas extraídas dos projetos. . . . .	81
4.2	Exemplo de cálculo da dívida técnica com o SonarQube. A variável $m$ representa o tempo necessário para escrever uma linha de código. O valor padrão no SonarQube é de 30 minutos. Adaptado de [dJdM17]. . . . .	83
4.3	Exemplos de regras para identificação de dívidas técnicas no SonarQube. . . . .	84
5.1	Regras para a exclusão de projetos do estudo de caso . . . . .	91
5.2	Transformações realizadas no texto das descrições dos projetos . . . . .	96
5.3	Tópicos e suas palavras. . . . .	100
5.4	Sumário das medidas descritivas das métricas obtidas dos projetos. . . . .	110
5.5	Tópicos agrupados em domínios. . . . .	112
5.6	Medidas descritivas dos modelos de colaboração . . . . .	124
5.7	Os 10 projetos com uma maior quantidade de colaboradores/dias. . . . .	124
5.8	Os 10 projetos com uma maior quantidade de colaboradores . . . . .	125
5.9	Os dez colaboradores com maior pagerank. . . . .	125
5.10	Os 10 projetos com o maior índice de colaboração(IC). . . . .	126
5.11	Coefficientes angular e coeficiente de determinação dos modelos de regressão usados para o cálculo da produtividades do projetos. . . . .	126
5.12	Os 10 projetos mais produtivos de acordo com o modelo de colaboração de quantidade.127	
5.13	Os 10 projetos mais produtivos de acordo com o modelo de colaboração de assiduidade e qualidade (IC). . . . .	127
5.14	Os 10 projetos mais produtivos de acordo com o modelo de colaboração de colaboradores/dia (C/D). . . . .	128
5.15	Estimação dos juros da dívida técnica por domínio utilizando os três modelos de produtividade: (1) Quantidade de colaboradores (2) Assiduidade e qualidade da colaboração (3) Colaboradores/Dia . . . . .	129

5.16	Estimação dos juros da dívida técnica por tópico utilizando os três modelos de produtividade: (1) Quantidade de colaboradores (2) Assiduidade e qualidade da colaboração (3) Colaboradores/Dia . . . . .	131
A.1	Comandos básicos do GIT. . . . .	142

# Capítulo 1

## Introdução

Um dos papéis da engenharia de software é fornecer métodos, modelos e técnicas para que o software atenda às necessidades dos interessados em sua construção. A utilização desse conhecimento leva a uma forma aproximadamente ideal de realizar as atividades necessárias para o desenvolvimento do software. Os resultados gerados por atividades feitas dessa forma apresentarão um elevado grau de qualidade. Entretanto, essa forma ideal de realizar as atividades, pode exigir recursos incompatíveis com os disponíveis para o projeto. Por este motivo, as pessoas envolvidas com o projeto do software tendem a realizar essas atividades de forma que atendam às restrições de recursos e, ao mesmo tempo, estejam o mais próximas possíveis da forma ideal. Entretanto, a existência de restrições de recursos demasiadamente severas fazem com que algumas atividades tenham de ser realizadas de uma forma muito distante da ideal. Os resultados produzidos pelas atividades feitas de tal forma são chamados de dívida técnica.

O termo dívida técnica é, na verdade, uma metáfora extraída da área financeira. Realizar uma atividade de forma não ideal é como adquirir uma dívida para com a qualidade do sistema. Uma característica da dívida técnica é a de que enquanto ela não for paga, ou seja, enquanto a atividade não seja refeita produzindo resultados mais próximos do ideal, haverá um esforço adicional para realizar futuras atividades relacionadas a dívida técnica. Esse esforço adicional é equivalente ao juros financeiros que devem ser pagos enquanto o valor emprestado não for devolvido.

A metáfora foi usado pela primeira vez por Cunningham[Cun93]. Ele percebeu que criar porções de código, que não estivessem de acordo com as boas práticas da programação, é semelhante a contrair uma dívida para com o sistema. Assim como na área financeira, essas dívidas causam o pagamento de juros. Esses juros são todas as dificuldades adicionais necessárias para manipular as porções de código feita de forma incompatível com as boas práticas. Embora a existência de

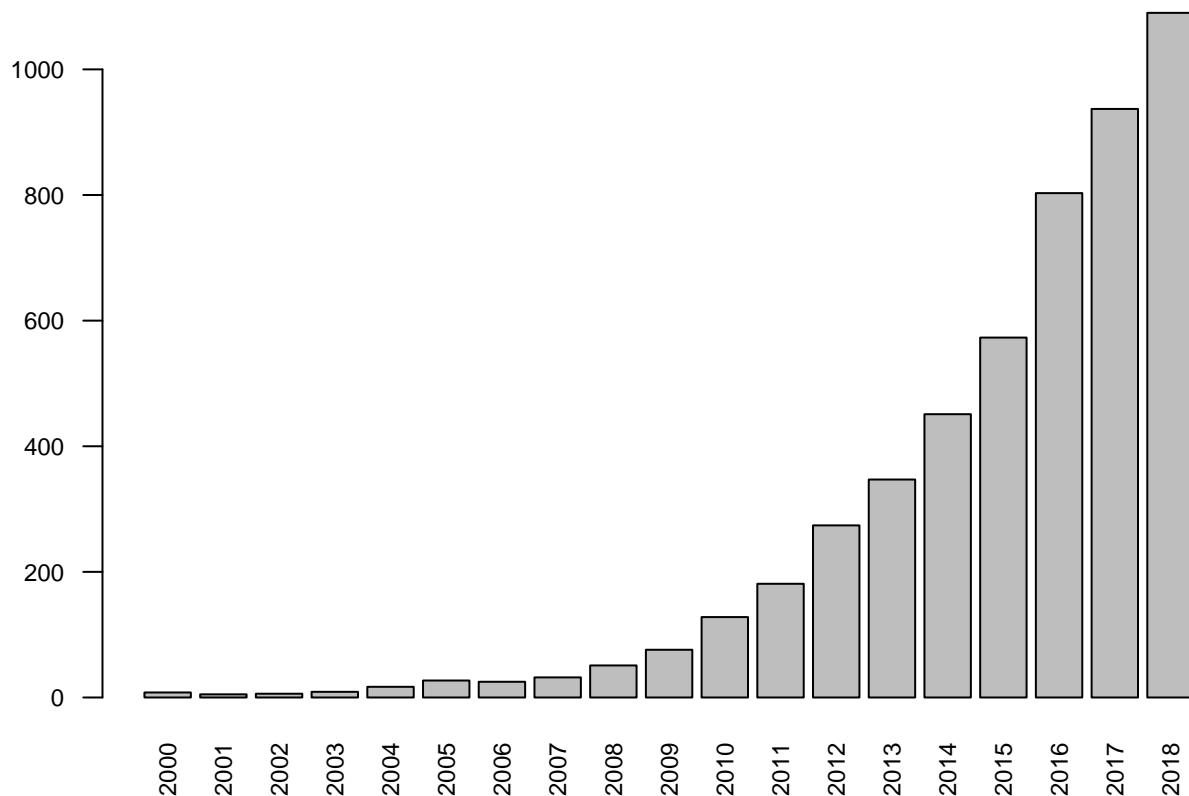
dívidas técnicas traga consequências ruins para a evolução do software, nem sempre elas são algo totalmente negativo. Muitas vezes, adquirir uma dívida técnica é a opção mais correta para que haja um ganho de velocidade e não se perca uma oportunidade de negócio por exemplo.

Apesar de poder ser um artifício estratégico viável, a aquisição de dívidas técnicas não pode ser algo feito descontroladamente. Por isso, é necessário que haja um gerenciamento para mantê-la em patamares aceitáveis. Caso o seu nível atinja um patamar muito alto, é possível que o juro causado por ela inviabilize todo o processo de desenvolvimento e evolução do software. Esta inviabilidade se concretiza quando o esforço necessário para inserir novas funcionalidades é maior do que os benefícios trazidos por essas funcionalidades.

Neste trabalho proporemos um modelo para estimar os juros da dívida técnica em projetos de software. Esse modelo considerará os juros como a diminuição, causada pela existência da dívida técnica, da produtividade nos projetos. O modelo proposto será analisado por meio de um estudo de caso envolvendo 1814 projetos de software livre.



## 1.1 Motivação



**Figura 1.1:** *Número anual de citações ao termo dívida técnica.*

Durante os últimos anos, como pode ser visto na Figura 1.1, houve um acréscimo do interesse acadêmico em estudar as dívidas técnicas. Um dos assuntos estudados é o impacto dos juros da dívida nos projetos de software[ZSSS11, Pow13]. À medida que a dívida técnica é acumulada inadvertidamente, cada vez mais atividades são realizadas apenas para estabilizar o software em vez de adicionar funcionalidades e melhorias. Em certos casos, inclusive, é cogitado o descarte do software atual a fim de que uma nova versão seja produzida do início [Ste10]. Uma das dificuldades para a realização do gerenciamento da dívida técnica é a falta de técnicas que auxiliem a execução dessa atividade. A inexistência dessas técnicas padronizadas é causada pelo fato de que grande parte do conhecimento que existe a respeito da dívida técnica foi gerado por experiências individuais e contextuais. Dessa forma, esse conhecimento não foi devidamente validado por meio de evidências empíricas. Isso faz com que as técnicas de gerenciamento da dívida técnica sejam escassas e não confiáveis[BCG<sup>+</sup>10].

O gerenciamento da dívida técnica é baseado em dois elementos:

- (i) O esforço necessário para corrigir uma dívida técnica. Essa informação é denominada como o **principal** da dívida técnica.
- (ii) O esforço adicional necessário para realizar as futuras atividades de desenvolvimento, evolução e manutenção do software. Esse esforço adicional é chamado de **juros** da dívida técnica.

Dentre esses dois elementos, existe uma necessidade especial em gerenciar os juros da dívida técnica. Isso acontece pois **os juros são aquilo que efetivamente influenciam negativamente os projetos de software**. Obter estimativas a respeito dos juros é uma das principais atividades do gerenciamento da dívida técnica. O principal em si, ou seja, o esforço necessário para quitar uma dívida técnica não traz nenhuma dificuldade adicional para o projeto de software. O que faz com que seja necessário alocar recursos para quitar uma dívida técnica é o quanto os juros dessa dívida estão altos.

Além da escassez de estudos sobre o cálculo dos juros da dívida técnica, existe uma falta ainda maior de trabalhos quantitativos. Conforme argumentado por Brown, N et al.[[BCG<sup>+</sup>10](#)], há uma predominância na utilização de métodos qualitativos nas pesquisas a respeito da dívida técnica e isso pode levar a conclusões baseadas em intuições atraentes, porém não necessariamente corretas. Essas conclusões incorretas podem ser explicadas pela existência de dados obtidos por meio de declarações imprecisas. Essas declarações podem ser dadas pela dificuldade que as pessoas envolvidas com os projetos de software têm em assumir suas deficiências ou falhas. Por isso, Brown, N et al.[[BCG<sup>+</sup>10](#)] indica a necessidade da criação de modelos baseados em abordagens quantitativas para viabilizar a criação de rigorosas técnicas de gerenciamento da dívida técnica que possam ser aplicadas em projetos de larga escala.

## 1.2 Objetivos

Os principais objetivos desta pesquisa são os seguintes:

- **Propor um modelo quantitativo para estimar os juros da dívida técnica.** Devido à escassez de trabalhos quantitativos e empiricamente avaliados, acreditamos que, por meio desse modelo, haverá uma contribuição para a resolução do problema de estimação dos juros da dívida técnica. O modelo, que será proposto, é baseado na comparação da produtividade dos projetos quando eles são realizados em dois cenários diferentes: um com dívida técnica e outro sem dívida técnica. Acreditamos que haverá uma diminuição da produtividade quando há a existência de dívidas. Essa diminuição é, na verdade, os juros da dívida técnica. Con-

forme vermos mais à frente, outros modelos também propõem uma abordagem de estimação dos juros comparando dois cenários. Porém, nenhum deles considera a produtividade nessa comparação.

- **Avaliar a utilização desse modelo em um estudo de caso envolvendo um grande número de projetos de software livre.** Apesar de poucos, existem alguns modelos para estimação dos juros. Porém, até o nosso conhecimento, nenhum deles foi submetido a uma avaliação utilizando uma quantidade significativa de projetos. Nesta pesquisa iremos utilizar o modelo de estimação proposto para avaliar 1814 projetos de software livre.
- **Permitir o aprimoramento das abordagens de gerenciamento da dívida técnica ao permitir uma estimação dos juros gerados por elas.** Por meio da aplicação do modelo de estimação, pretendemos contribuir para o gerenciamento da dívida técnica. Possibilitando que as pessoas possam ter uma estimativa de quanto juros serão pagos para as dívidas, elas poderão decidir melhor quais dívidas devem ou não ser adquiridas e principalmente qual o nível de dívida técnica é aceitável de acordo com suas necessidades.

### 1.3 Trabalhos relacionados aos juros da dívida técnica

São encontradas na literatura poucas propostas de estratégias para calcular os juros da dívida técnica. Isso fica evidente quando são analisadas alguns dos mapeamentos sistemáticos realizados na área[AACA15, LAL15, BRO17]. Possivelmente, uma das razões para essa escassez é a dificuldade que há em calcular e até mesmo estimar esse juros. O efeito que a dívida técnica causa no projeto de software é algo que depende de fatores que não podem ser facilmente analisados. Além disso, há uma forte influência de eventos no qual não há certeza se eles realmente ocorrerão. Um exemplo é a existência de uma dívida técnica em um trecho do código que poderá ou não ser alterado no futuro. Se ele não for, então não haverá juros já que não haverá uma dificuldade extra para alterá-lo. Prever ou estimar a ocorrência desses eventos pode ser uma tarefa impossível em algumas situações. Por isso, o problema de estimar os juros da dívida é um dos mais difíceis dentro do espectro de problemas encontrados na área do gerenciamento da dívida técnica.

Realizamos um limitado mapeamento sistemático para encontrar os trabalhos na literatura no qual foi proposta uma estratégia para estimar os juros da dívida técnica. Esse mapeamento foi realizado observando algumas das recomendações básicas feitas por Kichenham. [Kit04]. De acordo com Petersen et al. [PFMM08], um mapeamento sistemático difere de uma revisão sistemática, pois

seu objetivo principal é fornecer um panorama a respeito dos trabalhos existentes a respeito de um determinado assunto. Já na revisão sistemática, há uma preocupação em extrair informações das pesquisa primárias com o objetivo de responder questões de pesquisa específicas que não poderiam ser respondidas avaliando individualmente esse trabalhos.

Foram encontrados sete ótimos trabalhos focados em propor soluções para o problema de estimação dos juros da dívida técnica. Organizando esses trabalhos em ordem cronológica, é possível traçar uma linha de mudanças na forma em que o problema foi sendo tratado conforme pode ser visto na Figura 1.2. Inicialmente, foram propostas soluções baseadas na ideia de que a dívida técnica era apenas um sinônimo para problema de qualidade. Conforme evidenciado por Kruchten et al. [KNOF13], essa ideia foi sendo abandonada a medida que a comunidade percebeu que a dívida técnica representa uma aspecto mais amplo. Já em 2014 surgiram abordagens no qual a estimação dos juros eram realizadas por meio de ferramentas. Uma das explicações para a criação dessas ferramentas foi a vontade dos pesquisadores em tornar a metáfora dívida técnica algo mais aplicável para os desenvolvedores conforme pode ser observado no relatório a respeito da conferência realizada naquele ano[FKNO14]. O próximo estágio identificado foi o foco em definir teorias mais rigorosas para descrever a metáfora. Uma das formas encontradas foi recorrer à métodos encontrados na literatura financeira. Por fim, podemos identificar que os trabalhos mais recentes estão voltados para analisar os juros da dívida técnica de uma forma mais contextual. Ou seja, observando mais aspectos do projeto de software que sofrem influência da dívida técnica. Esta pesquisa se encaixa nesse grupo de pesquisas já que iremos analisar o impacto da dívida técnica na produtividade do projeto.

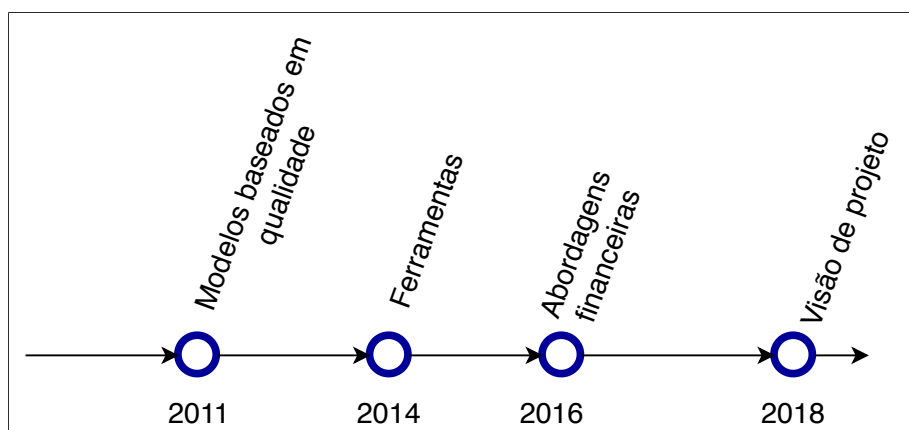


Figura 1.2: Quantidade de projetos por tópico do LDA.

### 1.3.1 Mapeamento dos trabalhos relacionados

O mapeamento sistemático foi realizado seguindo os seguintes passos:

1. Foram pesquisados em banco de dados de artigos científicos trabalhos que tivessem os termos juros e dívida técnica. Não foram incluídos teses ou dissertações.
2. Inicialmente foram encontrados 5 trabalhos. Então foi realizada a aplicação de uma técnica chamada *snowballing*[KNOF13]. Essa técnica consiste em avaliar a bibliografia dos trabalhos inicialmente encontrados e identificar outros trabalhos que possam estar relacionado ao objeto da pesquisa. Esse procedimento é feito recursivamente até que não seja encontrados novos itens. Após a aplicação dessa técnica foram encontrados mais 2 trabalhos.
3. Cada uma dos artigos foi lido e analisado por um pesquisador. Nessa análise foram extraídas as seguintes informações: Um resumo da abordagem, o método utilizado para validá-la e o ano em que foi publicada.

A Tabela 1.3.1 apresenta a lista com os trabalhos encontrados.

Título	Resumo	Método	Ano
An empirical model of technical debt and interest [NVK11]	Descrição de um framework em que os juros são calculados como a diferença entre o esforço de manutenção atual e o esforço caso o projeto estivesse com o nível máximo de qualidade.	Estudo de caso	2011
A Framework for Estimating Interest on Technical Debt by Monitoring Developer Activity Related to Code Comprehension[SSK14]	Proposta de uma ferramenta que mede a quantidade de tempo que um desenvolvedor gasta visualizando uma classe. Essa ferramenta permite analisar a relação entre esse tempo e o nível de dívida técnica da classe.	Experimento	2014
Towards an open-source tool for measuring and visualizing the interest of technical debt[FR15]	Descrição de uma ferramenta que calcula os juros utilizando a densidade dos defeitos encontrados no software.	Estudo de caso	2015

A Financial Approach for Managing Interest in Technical Debt[AACA15]	Um framework para a estimação do ponto onde os juros pagos tornam-se maiores do que o gasto que seria necessário para eliminar a dívida técnica que os gerou.	Exemplo	2016
The magnificent seven: towards a systematic estimation of technical debt interest[MB17]	Descrição de uma estratégia de cálculo dos juros e uma ferramenta que a implementa. A estratégia é baseada na probabilidade dos juros acontecerem e da sua severidade. A severidade é estimada por meio da avaliação de sete fatores.	Estudo de caso	2017
Technical debt interest assessment: from issues to project [MVV+17]	Avaliação da eficácia em calcular os juros da dívida técnica como a soma dos juros dos elementos individuais do projeto. Os autores chegam a conclusão de que essa soma não é igual ao juros total do projeto.	Estudo de caso	2018
A framework for managing interest in technical debt: an industrial validation[AMS+18]	Versão estendida do trabalho de Ampatzoglou et al.[AACA15].	Estudo de caso	2018

**Tabela 1.1:** *Resumo dos trabalhos encontrados no mapeamento sistemático.*

### 1.3.2 Diferenças e semelhanças dos trabalhos relacionados e esta pesquisa

Por meio da análise dos trabalhos encontrados no mapeamento sistemático, pudemos encontrar semelhanças e diferenças em relação a este trabalho:

- **Todas as propostas apresentadas comparam dois cenários: um com mais dívida**

**técnica e outro com menos.** Essa estratégia é utilizada, com algumas variações, em todos os trabalhos no qual o foco seja o cálculo dos juros. Um exemplo é o trabalho de Nugroho et al.[NVK11].

As outras abordagens utilizam estratégias semelhantes. Singh et al.[SSK14] compara a compreensão do código enquanto que Falessi. et al. [FR15] compara o efeito dos defeitos. Ambos realizam a comparação considerando dois cenários: um com menos dívida técnica e outro com mais dívida técnica. Ou seja, em todas as abordagens, sempre há implicitamente uma comparação entre cenários. Entretanto, em nenhuma dessas pesquisas essa comparação é definida explicitamente e formalmente como realizamos nesta pesquisa.

- **Em nenhum dos trabalhos encontrados, os juros foram calculados como uma variação na produtividade.** Cada uma das abordagens encontradas usa uma definição diferente para os juros da dívida técnica. Singh et al.[SSK14] define os juros como a dificuldade extra na compreensão do código. Enquanto isso, Nugroho et al.[NVK11] e Ampatzoglou et al. [ACA15, AMS<sup>+</sup>18] consideram os juros como o esforço extra de manutenção causado pela existência da dívida técnica. Por fim, Falessi. et al. [FR15] define os juros da dívida técnica como a quantidade adicional de defeitos do software.

Nossa hipótese é que todas essas visões diferentes a respeito do que são os juros podem ser unificadas em apenas uma: *uma menor produtividade devido a existência da dívida técnica.*

- **Nenhum trabalho compara projetos semelhantes.** Todas as abordagens encontradas realizam uma espécie de simulação de mutação nos projetos analisados e estimam os juros comparando algum aspecto do projeto original com a sua nova versão. Não pudemos encontrar na literatura nenhuma abordagem, que como a apresentada neste trabalho, estime os juros comparando dois projetos diferentes, porém, semelhantes.
- **Nenhum dos trabalhos utiliza técnicas de mineração de repositórios.** Podemos observar na Tabela 1.3.1 que o estudo de caso é o método mais comum para avaliação das propostas encontradas nesse mapeamento sistemático. Cinco, dos sete trabalhos encontrados, realizam um estudo de caso como método de avaliação. Entretanto, nenhum desses trabalhos realiza uma mineração em algum repositório de software para obter os dados utilizados no estudo de caso. Com isso, nenhum dos trabalhos encontrados é validado utilizando uma grande quantidade de projetos. Nesta pesquisa validamos nossa proposta de estimação dos juros da dívida técnica usando 1814 projetos de software livre.

- **Os autores descrevem uma ferramenta que consegue calcular os juros usando a estratégia proposta.** Das sete propostas encontradas no mapeamento sistemático apenas uma não descreve uma ferramenta que implementa a estratégia proposta para a estimação dos juros. Apesar disso, não pudemos encontrar uma forma de obter o código dessas ferramentas ou uma cópia para avaliação. Diferentemente, nesta pesquisa, disponibilizamos o código-fonte da ferramenta que desenvolvemos de forma que qualquer pessoa poderá utilizá-la.

É importante destacar que a ferramenta descrita nesta pesquisa não poderá ser usada, pelo menos sem alterações, para estimar os juros de projetos quaisquer. Ela implementa a estratégia de estimação dos juros da dívida técnica apenas dentro do escopo do estudo de caso realizado para validar essa pesquisa. Para utilizá-la de forma geral em outros projetos seriam necessárias alterações que não estão no escopo desta pesquisa.

- **Todos os trabalhos encontrados tentam estimar os juros antes deles terem ocorrido.** Uma característica interessante que diferencia esta pesquisa das outras é o fato de que nossa avaliação dos juros da dívida técnica ocorre após eles terem ocorrido. A estratégia utilizada por algumas das pesquisas encontradas é realizar uma previsão de quantos juros serão gerados devido a existência da dívida técnica. Já em nossa abordagem, não há uma previsão. Ao invés disso, realizamos uma estimação de quanto de juros foi pago em decorrência do nível de dívida técnica dos projetos.

## 1.4 Organização do texto

O restante deste texto é organizado da seguinte forma. No capítulo 2 descrevemos a dívida técnica. São apresentadas as formas de classificação encontradas na literatura e os diversos tipos de dívida técnica. No capítulo 3 propomos o modelo de estimação dos juros da dívida técnica. No capítulo 4 realizamos o planejamento de um estudo de caso para validar o modelo proposto. No capítulo 5 descrevemos os detalhes a respeito da execução do estudo de caso e os resultados obtidos. No capítulo 6 concluímos o trabalho descrevendo os principais resultados. Por fim, fornecemos as referências bibliográficas que utilizamos para a realização desta pesquisa.



## Capítulo 2

# Dívida Técnica

Neste capítulo, descrevemos o que é uma dívida técnica, seus principais tipos e formas de classificação, além das atuais abordagens de gerenciamento.

### 2.1 Introdução

Desenvolver software é uma atividade complexa por diversas razões. Entre elas estão as dificuldades em gerenciar requisitos muitas vezes ambíguos e até mesmo conflitantes, a imprevisibilidade do contexto no qual o software está inserido e as particularidades das tecnologias utilizadas. Nem sempre todos esses fatores poderão ser devidamente tratados nos projetos de software. Em algumas circunstâncias, pode não ser possível lidar com todos eles de forma satisfatória devido ao seu número excessivo ou à falta de recursos disponíveis, tais como a quantidade de membros na equipe e o tempo disponível para realizar as tarefas. Essa falta de recursos pode fazer com que seja necessário realizar algumas escolhas para que um projeto possa ser viabilizado. Existem algumas opções para tornar viável um projeto que tenha recursos incompatíveis. A solução mais óbvia é conseguir mais recursos. Outra opção é a eliminação ou simplificação de determinadas funcionalidades e com isso a diminuição do esforço necessário para realizar o projeto. Naturalmente, nem sempre é possível que uma dessas duas opções possa ser seguida. Isso pode levar a uma situação em que algumas das atividades do projeto tenham de ser realizadas utilizando menos recursos. Essa redução nos recursos necessários pode ser alcançada melhorando a eficiência dos processos ou diminuindo a qualidade na qual eles são realizados. Um aperfeiçoamento na eficiência dos processos é algo que, apesar de positivo, pode não ser alcançável. Enquanto isso, quase sempre é possível diminuir a qualidade na qual um processo é realizado. Isso faz com que essa diminuição na qualidade seja a solução mais fácil para resolver o problema da falta de recursos. Uma dívida técnica é a diminuição na qualidade

de algum aspecto do projeto de software que gerará dificuldades adicionais para desenvolvê-lo no futuro.

Uma das formas de definir uma dívida técnica é como um aspecto no software ou no seu processo de desenvolvimento que não está ideal e que, por causa disso, poderá acarretar algum tipo de dificuldade adicional. Esse aspecto pode ser a existência de código de má qualidade, um design inadequado, uma tecnologia ultrapassada dentre outros. A dificuldade adicional é o aumento de esforço necessário para realizar alguma atividade relacionada ao software no futuro. Esse aumento de esforço não existiria caso o aspecto também não existisse. Essa é uma definição propositalmente ambígua já que o termo dívida técnica foi demasiadamente estendido e aplicado em diversas situações tornando desafiadora a tarefa de defini-lo precisamente.

Para ilustrarmos o conceito de dívida técnica forneceremos alguns exemplos. O primeiro deles é baseado no código da Figura 2.1. Nele, há um trecho de uma classe chamada `RelatorioV1`. Essa classe tem a função de receber os nomes e endereços de algumas pessoas e gerar um relatório em algum formato previamente estabelecido. A função `adicionarLinha` é acionada por outras classes toda vez que uma nova pessoa tiver sido obtida da fonte de dados. A função `gerarRelatorioFormatado` é executada quando todas as pessoas tiverem sido obtidas. Apesar da simplicidade dessa classe, ela contém uma dívida técnica. Caso uma nova coluna tenha de ser incluída no relatório, seria necessário alterar ao menos o método `adicionarLinha` e todas as classes que o utilizam. Por outro lado, se analisarmos a classe `RelatorioV2` podemos ver que esse problema foi resolvido. Nessa versão, é utilizado um vetor com todos os campos que deverão ser incluídos no relatório. Assim, caso um novo campo tivesse que ser adicionado, como, por exemplo, o telefone da pessoa, não seria necessária nenhuma alteração no método `adicionarLinha`. Entretanto, fica claro que é necessário um maior esforço para escrever a classe `RelatorioV2` do que a classe `RelatorioV1`. É mais rápido escrever a classe `RelatorioV1`, porém todas as vezes que for necessário adicionar um novo campo ao relatório, haverá um esforço maior. Optar pela classe `RelatorioV1` ao invés da classe `RelatorioV2` é adquirir uma dívida técnica. Há um ganho imediato de tempo já que a implementação é substancialmente mais simples. Entretanto, haverá uma dificuldade adicional para evoluir esse software devido a essa escolha.

```
class RelatorioV1
{
    separador = "," ;
    novaLinha = "\n";
    linhas = "";

    function adicionarLinha(nome,endereco)
    {
        this.linhas = this.linhas + nome + separador + endereco + novaLinha;
    }

    function gerarRelatorioFormatado()
    {
        /* Gera o relatorio com todas as linhas adicionadas. */
    }
}
```

```
class RelatorioV2
{
    separador = "," ;
    novaLinha = "\n";
    linhas = "";

    function adicionarLinha(campos)
    {
        if(campos.size > 0 )
        {
            for(i=0;i<campos.size;i++)
            {
                this.linhas = this.linhas + campos[i] + separador;
            }

            this.linhas = substring(this.linhas,0,this.linhas.size - separador.size );
            this.linhas = this.linhas+novaLinha;
        }
    }

    function gerarRelatorioFormatado()
    {
        /* Gera o relatorio com todas as linhas adicionadas. */
    }
}
```

Figura 2.1: Exemplo de dívida técnica em código fonte.

Nosso segundo exemplo de dívida técnica está relacionado com o banco de dados de uma aplicação. De acordo com [EN16] as restrições de integridade são mecanismos que os sistemas gerenciadores de banco de dados fornecem para que os usuários possam definir regras a respeito dos dados armazenados de forma que eles se mantenham consistentes e representem corretamente a realidade modelada. Um tipo de restrição muito comum são as de integridade referencial. Basicamente, nesse tipo de restrição o banco de dados garante que para cada linha em uma relação na qual exista uma chave estrangeira, sempre exista a linha correspondente na relação associada. O principal papel desse tipo de restrição de integridade é evitar situações nas quais uma chave estrangeira faça referência a um dado que não existe na tabela associada. Na Figura 2.2 há um exemplo de um modelo em que as restrições de integridade seriam úteis para garantir a consistência dos dados. Esse modelo contém três tabelas: Aluno, Curso e Histórico. Na tabela Histórico temos duas chaves estrangeiras chamadas de *ALUNO\_ID* e *CURSO\_ID*. Caso alguns alunos ou cursos, que estejam presentes na tabela Histórico, sejam removidos, as linhas que contém referências a esses elementos não mais farão sentido dentro do modelo e indicarão a existência de dados inconsistentes. Uma forma de evitar esse problema é criar uma restrição de integridade de tal forma que, antes de remover alguma linha nas tabelas Aluno e Curso, o próprio sistema gerenciador do banco de dados verifique se isso não gerará linhas órfãs na tabela Histórico. Nesse exemplo é simples identificar qual restrição de integridade é necessária para garantir a consistência do modelo. Entretanto, em situações reais, a quantidade de tabelas e restrições necessárias pode ser muito grandes. Em algumas situações nem todas as restrições são devidamente mapeadas e implementadas no banco de dados devido a alguma restrição de recurso. Quando isso acontece, há a aquisição de uma dívida técnica. A dificuldade adicional gerada por essa dívida ocorre quando é necessário incluir alguma restrição que não foi anteriormente aplicada. Isso pode levar a necessidade de adaptar e testar um número grande de partes do sistema que de alguma forma utilizam as tabelas relacionadas com a restrição. É possível, inclusive, que seja necessário realizar alterações nessas partes para que elas se adequem à inclusão das novas restrições de integridade. Isso pode levar a um custo substancial gerado pela necessidade de um conjunto de alterações em cascata.

Utilizaremos um exemplo relacionado às atividades de testes durante o processo de desenvolvimento de software para concluir nossa ilustração a respeito das dívidas técnicas. Existem diversos tipos de testes que podem ser realizados em um software. Dentre esses tipos, os testes unitários são aqueles que têm como objetivo validar se as menores unidades estão funcionando individualmente como o esperado[CL02, Run06]. Basicamente, esses testes consistem em acionar essas unidades fornecendo uma entrada e em verificar se a saída corresponde ao que foi especificado. Essas uni-

Aluno		Curso	
ALUNO_ID	Nome	CURSO_ID	Curso
101	João	1	Matemática
102	Henrique	2	História
103	Matheus	3	Física

Histórico			
HISTORICO_ID	ALUNO_ID	CURSO_ID	NOTA
301	101	1	A
302	101	2	B
303	101	3	A

**Figura 2.2:** Exemplo de dívida técnica em banco de dados.

dades podem ser métodos, classes, funcionalidades ou módulos. Em um cenário perfeito, todas as unidades do software deveriam ser testadas para todas as entradas possíveis. Naturalmente, devido à quantidade de recursos necessários, isso não é possível em todos os casos. Sendo assim, existe a necessidade de selecionar quais testes serão criados. Essa seleção pode ser feita de diversas formas, seja pela priorização das unidades mais importantes seja pela escolha das entradas que são mais prováveis de serem fornecidas durante o funcionamento do sistema. Além disso, é necessário que haja uma compatibilização entre a quantidade de testes que serão criados e a quantidade de recursos disponíveis. Haverá a aquisição de uma dívida técnica caso o número de testes criados não seja compatível com o nível de qualidade ideal para o software e no futuro seja necessário criar mais testes. A dificuldade adicional gerada pela existência dessa dívida técnica é causada pelo fato de que possivelmente seja preciso realizar refatorações[MKAH14, MSM<sup>+</sup>16] nas unidades do sistema para facilitar ou, até mesmo, tornar possível a criação desses testes. Isso ocorre porque a estrutura dessas unidades pode ter sido construída de forma que seja impossível testar determinados comportamentos. Na Figura 2.3 exibimos duas versões de uma mesma classe. Na primeira delas, existe uma dificuldade em testar o método calculaImposto. Isso acontece, pois essa versão do método tem duas responsabilidades: calcular o imposto e inserir o resultado no banco de dados. Caso um teste unitário fosse escrito para essa versão, seria necessário fornecer uma conexão de banco de dados

válida. Além disso, a inserção de dados em um banco de dados iria de encontro com os objetivos dos testes unitários, já que o teste abrangeria um escopo maior do que uma unidade. Esses problemas não são encontrados na versão 2 do método `calculaImposto`. Nessa versão, a conexão com o banco de dados é um parâmetro do método. Assim, é possível criar um teste no qual fosse utilizada uma conexão fictícia de banco de dados ou um Mock[MFC00, Kac12, Ach14]. Esse teste verificaria se o método `calculaImposto` está tendo um comportamento conforme a especificação do software. A refatoração que levou o método da versão 1 para a versão 2 também exigirá que todas as referências ao método `calculaImposto` sejam alteradas. Logo, haverá uma dificuldade adicional para realizar essa alteração se compararmos à dificuldade de realizá-la no momento em que a versão 1 foi criada.

V1

```
function calculaImposto(funcionario,salario,aliquota)
{
  /* Acessa a variável global com a conexão do banco de dados */
  global bancoDeDados;
  imposto = salario * aliquota;
  funcionario.salario = salario - imposto;
  bancoDeDados.atualizar(funcionario);
}
```

V2

```
function calculaImposto(funcionario,salario,aliquota,bancoDeDados)
{
  imposto = salario * aliquota;
  funcionario.salario = salario - imposto;
  bancoDeDados.atualizar(funcionario);
}
```

Figura 2.3: Exemplo de refatoração para viabilizar a criação de um teste unitário.

## 2.2 Definição da dívida técnica

Em 1992 Cunningham[Cun93] criou o termo dívida técnica da seguinte forma:

*“Although immature code may work fine and be completely acceptable to the customer, excess quantities will make a program unmasterable, leading to extreme specialization of programmers and finally an inflexible product. Shipping first time code is like going into debt. A little debt speeds development so long as it is paid back promptly with a rewrite. Objects make the cost of this transaction tolerable. The danger occurs when the debt is not repaid. Every minute spent on not-quite-right code counts as interest on that debt. Entire engineering organizations can be brought to a*

*stand-still under the debt load of an unconsolidated implementation, object-oriented or otherwise.”*

Apesar de Cunningham ser considerado o criador da metáfora, outros autores escreveram previamente a respeito das dificuldades de manutenção e evolução causadas por problemas de design. Um exemplo é o conjunto de leis da evolução de software criadas por Lehman [Leh80, Leh96] em 1980. Nesse trabalho, o autor analisa estudos prévios sobre processos de programação e acompanha a evolução do sistema operacional OS/300 durante um período de 20 anos. Com os dados obtidos, são formuladas oito leis que descrevem algumas características observadas durante a evolução de um software. Algumas dessas leis apresentam conceitos claramente muito semelhantes aos utilizados para descrever a metáfora da dívida técnica. Especialmente, as leis II e VII, transcritas a seguir.

## **II - *Increasing Complexity***

*“As a program is evolved its complexity increases unless work is done to maintain or reduce it.”*

## **VII - *Declining Quality***

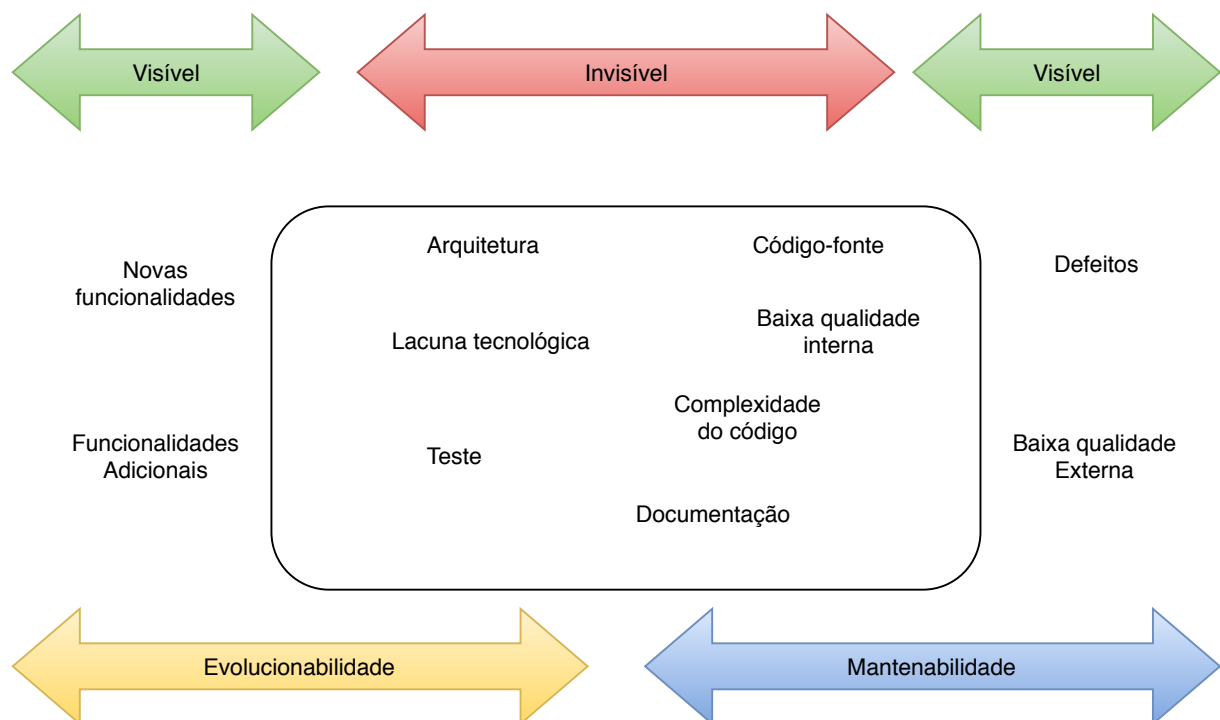
*“E-type programs will be perceived as of declining quality unless rigorously maintained and adapted to a changing operational environment.”*

A lei II descreve de forma indireta a dívida técnica de design e arquitetura. Esses tipos de dívida técnica serão descritos nas seções 2.5.2 e 2.5.6 respectivamente. Enquanto isso, a lei VII está relacionada às dívidas técnicas de tecnologia, descritas na seção 2.5.8. Um sistema chamado de *E-type* é aquele efetivamente utilizado em um contexto real, ou seja, as leis descritas por Lehman não se aplicam a sistemas que não operam em um contexto sujeito a mudanças. Apesar de haver contestações a respeito do uso do termo “leis”, este trabalho permitiu observar como a percepção dos usuários e programadores muda à medida que o tempo passa e o software evolui.

Apesar da existência de relatos semelhantes na década de 80 e da criação da metáfora em 1992, apenas a partir do ano de 2006 [MJ06] que a analogia voltou a ser discutida e estudada cientificamente. Inicialmente houve um esforço por parte dos pesquisadores em criar uma definição precisa do que é uma dívida técnica. Essa definição inicial indicava que uma dívida técnica deveria ser algo invisível para o usuário final do software. A Figura 2.4 apresenta uma adaptação da representação gráfica dessa definição.

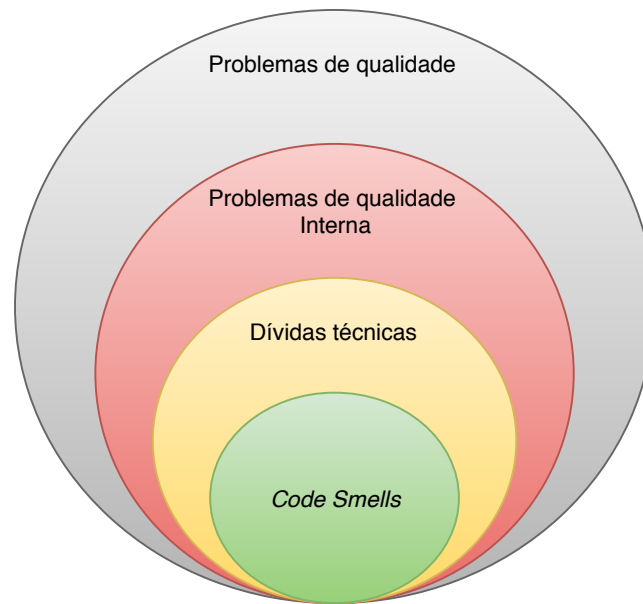
Além da expansão do conceito para incluir diversos tipos de dívida, conforme veremos na seção 2.5, houve, com o objetivo de torná-la menos ambígua, também um aprimoramento da definição

em si. Essa evolução permitiu diferenciá-la do simples déficit de qualidade de um software, tornar o conceito mais claro, e principalmente, facilitar a identificação do que não se trata de uma dívida técnica. Na Figura 2.4 há um resumo a respeito desse estágio de evolução do conceito. Nele, houve uma tentativa de separar as dívidas técnicas de outros aspectos de qualidade do software. O resultado foi que apenas os problemas de qualidade que são invisíveis para o usuário final foram definidos como dívida técnica. Objetivo dessa separação é evitar a diluição do conceito. Essa diluição faria com que uma quantidade demasiadamente grande de situações fossem consideradas dívidas técnicas. Isso dificultaria a criação de pesquisas mais aplicadas a respeito de técnicas e ferramentas para o gerenciamento da dívida técnica. Com isso, ficou definido que as dívidas técnicas são problemas de qualidade interna do software. A qualidade interna engloba os aspectos que não são visíveis para o usuário final do software[AQ10]. Na Figura 2.5 há uma indicação do lugar das dívidas técnicas no contexto de qualidade de software.



**Figura 2.4:** Panorama da dívida técnica. Adaptado de [KNOF13].





**Figura 2.5:** Localização da dívida técnica na hierarquia dos problemas de qualidade de software.

Com o aumento da popularidade dessa metáfora, novos tipos de dívida técnica surgiram. Alguns desses novos tipos não se enquadravam nessa definição, como, por exemplo, as dívidas de usabilidade e os defeitos. Isso fez com que os pesquisadores tivessem que abandonar a procura por uma definição precisa. Ao invés disso, foi adotada uma definição mais flexível e que permitisse que essa metáfora pudesse ser utilizada em diferentes situações. Um dos resultados desse esforço em busca de uma expansão do conceito foi a seguinte definição criada por Kruchten et al. [KNOF13]:

*“A unifying perspective is emerging of technical debt as the invisible results of past decisions about software that affect its future. The affect can be negative in the form of poorly managed risks but if properly managed can be seen in a positive light to add value in the form of deferred investment opportunities.”*

Fica evidente, nessa definição, a preocupação em não mais restringir as dívidas técnicas a problemas presentes no código fonte do software. Um dos motivos disso é a necessidade de diferenciá-las do conceito de *Bad Smells* criado por Fowler [Fow09] e que se tornou muito popular na comunidade de desenvolvimento de software [OCBZ09]. Um “*smell*” é uma violação à algum princípio do desenho de software orientado a objetos. Alguns exemplos de *smells* são código duplicado, classes muito extensas ou muito curtas e métodos demasiadamente longos [VEM02]. Essencialmente, um *Bad Smell* é uma dívida técnica no código orientado a objetos [P<sup>+</sup>15]. Como evidenciado na Figura 2.5 todos os *Bad Smells* são dívidas técnicas, mas nem toda dívida técnica é um *Bad Smell*.

Tendo sido superada essa fase de definição do termo, a comunidade agora procura por teo-

rias e técnicas comprovadamente eficazes para o gerenciamento e identificação da dívida técnica [FKNO14].

## Sinônimos

A dívida técnica, por ser um fenômeno aparentemente onipresente nos projetos de software [LTS12, BCG<sup>+</sup>10], foi percebida e chamada de diversas formas pelos profissionais e pesquisadores. Existem ao menos duas razões para que esses sinônimos sejam devidamente documentados. A primeira delas está relacionada com a pesquisa bibliográfica a respeito do tema. Existem diversos trabalhos com resultados relevantes e que não usam diretamente o termo dívida técnica [Fow18, LK94, Lin12, SGHS11]. A segunda razão é a de permitir que seja traçado um retrospecto a respeito do assunto incluindo informações anteriores à definição do termo em 1992 por Cunningham [Cun93]. Poliakov realizou uma revisão sistemática a respeito dos sinônimos da dívida técnica [P<sup>+</sup>15]. Um dos resultados dessa revisão sistemática é um catálogo com os sinônimos para a dívida técnica encontrados na literatura. Na Tabela 2.1, apresentamos um resumo desse catálogo.

Sinônimos
Shortcut
Code Smells / Design principles violation
Workaround / Hack
Grime
Software aging
Spaghetti code

**Tabela 2.1:** Sinônimos do termo “dívida técnica”. Adaptado de [P<sup>+</sup>15]

## 2.3 A metáfora

A metáfora “dívida técnica” surgiu inicialmente como uma forma de explicar a necessidade de evitar que código de má qualidade se espalhe pelo software a ponto de tornar sua evolução inviável [Cun93]. Uma das vantagens da utilização dessa metáfora é a sua capacidade de facilitar a justificativa para a disponibilização de recursos para a realização de atividades que não estejam diretamente ligadas à adição de novas funcionalidades ou correção de defeitos. A utilização de uma analogia com aspectos financeiros pode ser eficaz para explicar para pessoas sem conhecimento em desenvolvimento de sistemas a necessidade de empregar recursos para evitar o acúmulo de juros.

Ainda assim, apesar de ser apropriada, a metáfora “dívida técnica” apresenta diversas diferenças em relação a sua contrapartida no contexto financeiro, as quais precisam ser consideradas durante seu gerenciamento. Uma delas é a impossibilidade de calcular previamente os juros a serem pagos. É difícil calcular com exatidão qual o esforço extra necessário para evoluir e manter o software devido a existência de uma dívida técnica. Apesar de algumas contribuições relevantes[SSK14, SG11, CSS12], até mesmo a criação de estimativas representa um desafio devido à imprevisibilidade a respeito do contexto no qual o software será desenvolvido no futuro. Isso acontece principalmente porque, quase sempre, não é possível determinar se uma parte do código-fonte será ou não alterada. A quantidade de juros será proporcional à frequência de alterações relacionadas na parte do código com dívida técnica. Além disso, mesmo que existam dívidas técnicas nessa parte, não haverá incidência de juros caso não haja nenhuma alteração no futuro. Devido a essa incapacidade de prever se uma dívida técnica gerará ou não juros, alguns autores como Schmid, K[Sch13] diferenciam as dívidas técnicas como efetivas ou potenciais. Uma dívida potencial é aquela que está associada a uma expectativa de existência de juros, mas ainda não trouxe nenhum esforço adicional para o desenvolvimento do software. Enquanto isso, uma dívida técnica efetiva é aquela que já está gerando dificuldades adicionais nas tarefas de desenvolvimento e manutenção do software. Apesar das diferenças, a metáfora da dívida técnica é uma forma eficaz de evidenciar a necessidade de manter um equilíbrio entre a existência de recursos limitados e a preocupação de manter viável a evolução do software a médio e longo prazo.

### 2.3.1 Termos da metáfora

Assim como na área financeira, os principais conceitos relacionados à dívida técnica são o principal e os juros. Entretanto, além desses conceitos, existem outros. De acordo com Li. et al.[LAL15], existe uma lista de conceitos utilizados para descrever a dívida técnica e suas consequências. A seguir iremos descrever alguns deles.

#### Principal

O principal corresponde ao resultado gerado pelas atividades feitas de forma não ideal e que, conseqüentemente, não apresentam um nível de qualidade compatível com o projeto. No caso da dívida técnica no código, o principal será o trecho ou trechos do código que não estão de acordo com as boas práticas de desenvolvimento ou que não estão de acordo com critérios de qualidade adotados pela equipe de desenvolvimento. O valor do principal é equivalente ao esforço necessário para corrigir algum aspecto do software que não esteja adequado. Usando novamente o exemplo

da dívida técnica no código, o valor do principal é equivalente ao esforço necessário para alterar o código, de forma que ele fique de acordo com os padrões de qualidade necessários para o projeto.

Uma característica importante a respeito do valor do principal é que ele se altera com o passar do tempo. Isso acontece por diversas razões. Uma delas é a adição de novos artefatos ao software a medida que ele evolui. Com isso, nos casos em que esses artefatos também terão de ser alterados devido ao pagamento do principal, o esforço total necessário será maior. Outra razão para a variação temporal do esforço necessário para eliminar o principal é a possibilidade de que, devido ao tempo passado, a equipe já não esteja tão habituada com a parte do software onde a mudança precisa ser feita. As regras de negócios associadas com o código a ser alterado podem ter sido discutidas em um período de tempo muito anterior ao momento onde o pagamento do principal será feito. Além disso, é possível que a tecnologia utilizada possa já não ser dominada pela equipe como era no momento em que o principal foi inserido no código.

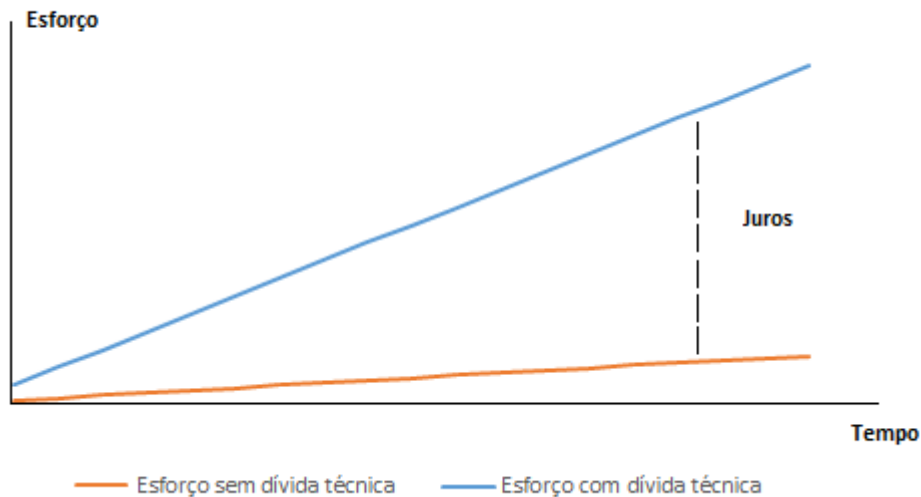
Há uma semelhança entre a variação temporal do valor do principal e o conceito financeiro de correção monetária de uma dívida. De acordo com Schmidt[SSFM07], a correção monetária é um método de tornar real o valor monetário das contas permanentes das demonstrações contábeis. Essa correção é realizada por meio de algum índice como a inflação acumulada em um determinado período de tempo. Em ambos os casos, há uma tendência de aumento da dívida com o passar do tempo. Caso esse aumento não seja gerenciado, pode-se chegar a um cenário onde seu pagamento se torne inviável.

## Juros

No contexto financeiro, os juros são os valores monetários a serem pagos a um credor após a aquisição de um empréstimo. Dessa forma, podem ser definidos como o preço a ser pago para se permanecer com uma determinada quantia. Enquanto essa quantia não for paga para o credor, os juros serão pagos na forma de uma porcentagem relativa ao valor ainda devido. Essa porcentagem não é igual para todos os credores. Assim como qualquer outro produto, o preço do empréstimo varia, ou seja, existem empréstimos com um preço maior ou menor que outros; assim como existem dívidas técnicas que produzem mais ou menos juros.

No contexto da dívida técnica, os juros são todo o esforço adicional nas atividades de desenvolvimento de software causado pela existência da dívida técnica. Por exemplo, no caso da dívida técnica de arquitetura, os juros serão toda a dificuldade causada por uma característica da arquitetura do software que não esteja de acordo com os padrões de qualidade definidos para o software. Essa dificuldade pode estar relacionada com o tempo necessário para se adicionar um novo ele-

mento na arquitetura por exemplo. Enquanto o principal não for pago, isto é, enquanto o problema arquitetural não for resolvido, a equipe terá de lidar com as dificuldades causadas pelos juros. A Figura 2.6 ilustra essa definição dos juros da dívida técnica.



**Figura 2.6:** Representação dos juros como o esforço adicional causado pela dívida técnica.

### Probabilidade dos juros

Muitas vezes existe uma incerteza em relação aos juros causados pela existência da dívida técnica. Essa incerteza está na ocorrência ou não desses juros como também em seu valor. Isso acontece, pois o esforço futuro necessário para desenvolver o software depende de fatores que não são conhecidos *a priori*. Inclusive, não é possível afirmar que uma determinada parte do software, relacionada a uma dívida técnica, terá de ser alterada no futuro.

### Ponto de quebra

É chamado ponto de quebra o instante no tempo no qual os juros da dívida técnica se acumulam de tal forma que torna inviável a realização das atividades de evolução do software [CAAA15]. Em alguns casos, ao atingir esse ponto, a equipe de desenvolvimento cogita a hipótese de abandonar o projeto atual e recomeçar um novo do início. Esse processo é algumas vezes chamado de *like-to-like migration*. Apesar de parecer uma alternativa plausível, essa opção apresenta uma série de pontos fracos. Alguns deles são o custo elevado de reconstrução do software, a necessidade de se considerarem atualizações no conjunto de requisitos originais e a necessidade de utilizarem tecnologias mais atuais e que consequentemente exigem treinamento e adaptação[Ste10]. Portanto,

o esforço necessário para a criação de uma solução do tipo *like-to-like* normalmente é subestimada e será mais onerosa do que o imaginado.

## 2.4 Classificações da dívida técnica

Outro conceito encontrado na literatura relacionado à dívida técnica refere-se à recorrente classificação dela entre intencional e não intencional [Ste10, BCG<sup>+</sup>10, KTW11]. A dívida técnica não intencional, como o nome sugere, é aquela que as pessoas relacionadas ao desenvolvimento e evolução do software não sabem que a estão gerando. Esse desconhecimento pode ser devido à falta de experiência, conhecimento ou cuidado. Por outro lado, a dívida técnica intencional é aquela devidamente documentada e usada como uma ferramenta para alcançar um objetivo de curto prazo cuja viabilidade não seria possível caso a atividade fosse realizada de forma a atender o padrão de qualidade estabelecido. Além disso, existe um planejamento indicando como e quando essa dívida técnica será paga. Enquanto a dívida técnica não intencional sempre é negativa e expõe deficiências nas atividades de desenvolvimento do software, a dívida técnica intencional pode ser uma aliada estratégica para aumentar a produtividade de uma equipe. O gerenciamento da dívida técnica não tem como objetivo eliminar completamente a existência da dívida técnica nos projetos de software. Em vez disso, ela pode ser resumida como a busca pelo equilíbrio entre a aquisição e o pagamento da dívida de forma que ela se mantenha controlada e benéfica para o projeto.

Dentre as dívidas técnicas intencionais, podemos definir uma subcategoria chamada *self-admitted technical debt* (SATD). Essa é uma forma de dívida técnica onde o programador indica explicitamente nos comentários do programa que seu código contém dívida técnica. Essas dívidas são descritas no próprio código da aplicação por meio de comentários. É chamada de *self-admitted* porque o próprio programador admite que a solução apresentada não é adequada. Um dos trabalhos que abordam essa forma de dívida técnica [MS15] disponibilizou um banco de dados com 33k+ comentários com *self-admitted technical debt* em projetos de código livre.

As dívidas técnicas *self-admitted* ganharam certa atenção na literatura. Um exemplo disso é o trabalho de Maldonado et al. [MS15]. Nesse estudo os autores investigaram quais são os tipos de SATD e quantificam as ocorrências desses tipos em projetos de software livre. Identificar os tipos de SATD é importante pois, 1) ajuda a comunidade a entender suas limitações, 2) complementa as técnicas existentes de detecção de dívida técnica e 3) fornece uma melhor compreensão do ponto de vista dos desenvolvedores sobre a dívida técnica.

Para a realização deste estudo foram analisados cinco projetos de código fonte aberto de dife-

rentes domínios de aplicação. A extração dos comentários do código dessas aplicações foi realizada em duas etapas. Na primeira, foram excluídos automaticamente, por meio de um programa, os comentários que tinham baixa chance de conter informações a respeito da dívida técnica. Como resultado, foram selecionados 33.093 comentários. Em seguida, os comentários restantes foram analisados manualmente por um experiente desenvolvedor de software. Após a análise manual, foram selecionados 2.457 comentários que estavam realmente relacionados com a dívida técnica nos cinco projetos analisados. Esses comentários, então, foram inseridos em um banco de dados disponibilizado publicamente pelos autores. Como resultado, foram identificadas 5 categorias de SATD: design, defeitos, documentação, requisitos e testes. Os tipos “design” e “requisitos” são os mais presentes nos projetos analisados. Os SATD de design representam de 42% a 84% dos comentários enquanto que os SATD de requisitos representam de 5% a 45% dos comentários. Os autores indicam a utilização de técnicas de processamento de linguagem natural como um possível caminho para avançar na pesquisa sobre SATD.

## 2.5 Tipos de dívida técnicas

O termo dívida técnica foi inicialmente utilizado para descrever problemas relacionados ao código. Entretanto, posteriormente, notou-se que ele pode ser utilizado para descrever problemas relacionados com outros aspectos do desenvolvimento de software. A seguir, iremos descrever alguns dos tipos de dívida técnica mais citados na literatura.

### 2.5.1 Código

A dívida técnica de código está relacionada aos problemas de organização e qualidade encontrados no código do software. Esses problemas são mais simples do que os apresentados na seção 2.5.2. Normalmente estão associados a não conformidade com o estilo de código definido ou reconhecidamente adequado pela comunidade que utiliza a linguagem de programação do projeto. Além disso, o impacto negativo causado pelas dívidas técnicas de código tem o escopo reduzido à classe, ao método ou ao bloco de código onde elas se encontram. Podemos citar, como exemplo de dívida técnica relacionada ao código, a existência de duplicação, a complexidade desnecessária e a não aderência aos padrões de estilos definidos para o software. A ferramenta Sonar Qube [CP13] possui um plugin capaz de detectar uma grande quantidade de tipos diferentes de dívida técnica de código. Essas dívidas são organizadas em categorias como testabilidade, reusabilidade e segurança.

### 2.5.2 Design

Ao longo da história da programação orientada a objetivos, foi sendo observada a existência de certas propriedades para que um código orientado a objetos possa ser entendido e alterado mais facilmente. Dentre essas diversas propriedades, podemos destacar a necessidade de baixo acoplamento entre os elementos do software e a necessidade de alta coesão. Uma dívida técnica de design é caracterizada pela ocorrência de código que viola esses princípios de padrões reconhecidos como corretos para o desenvolvimento de software orientado a objetos.

### 2.5.3 Testes

As dívidas técnicas de testes podem ocorrer em duas situações. A primeira delas é quando há uma quantidade insuficiente de testes. Isso faz com mudanças futuras no software possam se tornar mais difíceis devido à necessidade de realização de testes de regressão. A segunda situação que pode gerar dívida técnicas de testes é quando o código dos testes é escrito de forma inadequada. Segundo Wiklund et al. [WESL12], isso acontece porque as organizações geralmente negligenciam a qualidade do código, design e documentação quando produzem o software responsável pela automatização dos testes. Isso gera um acúmulo da dívida técnica causando problemas na utilização, extensão e manutenção desses sistemas. Ainda segundo Wiklund et al., existem quatro principais razões para a aquisição de dívidas técnicas no código dos testes automatizados. A primeira é a de que o reuso e o compartilhamento das ferramentas de automatização de testes são assuntos importantes e precisam ser considerados no gerenciamento da dívida técnica. A segunda observação está relacionada a infraestrutura do ambiente de automatização dos testes. Diferenças no ambiente de testes e no ambiente de produção podem causar resultados incorretos. A terceira observação se refere à excessiva generalidade das ferramentas de automação. A existência de muitas configurações induz o usuário a cometer erros na utilização dessas ferramentas. Por fim, as práticas de desenvolvimento de código para automatização de testes são menos rigorosas quando comparadas às utilizadas no código das outras partes do software. Esse fato naturalmente faz com que o acúmulo da dívida técnica nos sistemas de automação de testes seja maior.

### 2.5.4 Documentação

A dívida técnica de documentação é caracterizada pela inexistência de documentação, documentação desatualizada ou documentação inadequada. Esse tipo de dívida técnica pode trazer impactos negativos para o projeto de software nos casos onde funcionalidades precisem ser adicio-



nadas ou alteradas. O tempo necessário para realizar essas atividades pode ser sensivelmente maior em comparação com o cenário onde haja documentação adequada. Isso ocorre, pois os responsáveis por realizar essas atividades precisarão reservar tempo para procurar em fontes não estruturadas as informações necessárias para concluí-las. Além disso, existe o risco de que sejam assumidas soluções baseadas em documentação incorreta ou atualizada. Isso pode gerar atrasos e aumentar a quantidade de recursos utilizados.

### 2.5.5 Defeitos

Assim como existem na literatura divergências a respeito do que deve ser considerado como dívida técnica, existem divergências a respeito do que não deve ser considerado como dívida técnica. Alguns estudos, de forma conclusiva, definem que defeitos devem ser considerados como dívida técnica [Dav13, GS11, XHJ12]. Esses autores restringem esses defeitos àqueles que não apresentam grandes dificuldades para o usuário ou possuem algum caminho alternativo para contorná-los. Já alguns autores argumentam que devem ser considerados como dívida técnicas apenas elementos que não estejam visíveis para o usuário final[KNOF13].

### 2.5.6 Arquitetura

A dívida técnica arquitetural é uma violação no código do software em relação a alguma característica arquitetural pré-definida tais como modularidade, portabilidade e escalabilidade. Além disso, são consideradas dívidas técnicas de arquitetura as violações de restrições impostas pelos desenvolvedores de software como o isolamento entre módulos específicos e a proibição de acesso direto ao banco de dados. Um exemplo de dívida técnica arquitetural é a presença de dependências proibidas entre dois componentes. Martini et. al. [MBC14] apresentam uma taxonomia para as causas do acúmulo da dívida técnica arquitetural e um modelo para o processo de acúmulo e pagamento. Para criar essa taxonomia foi realizado um estudo de caso envolvendo cinco empresas de desenvolvimento de software. O estudo de caso foi realizado em duas fases. A primeira fase consistiu em um estudo preliminar envolvendo apenas três das cinco empresas. Nesse estudo, foram realizados workshops com diferentes membros dessas empresas para identificar os principais desafios no gerenciamento da dívida técnica arquitetural. A segunda fase envolveu, além de representantes das cinco empresas, a análise de documentos e a realização de entrevistas mais informais. Ao final, os resultados foram apresentados e discutidos com 15 representantes das cinco empresas. Os fatores que levam ao acúmulo da dívida técnica arquitetural foram divididos em oito categorias: negócios, falta de documentação, utilização de código open source ou legado, desenvolvimento em paralelo,

incerteza a respeito dos efeitos da refatoração, refatorações incompletas, evolução da tecnologia e fatores humanos. O estudo de caso mostrou que os modelos de acúmulo e pagamento da dívida técnica devem considerar que haverá um ponto no tempo quando o acúmulo excessivo da dívida gerará uma crise no desenvolvimento do software de tal forma que o pagamento da dívida não poderá ser mais postergado. Ao atingir esse ponto crítico, é necessário que a dívida técnica seja paga. As equipes podem realizar pagamentos parciais ou totais antes de atingir esse ponto crítico para que ele seja adiado ou totalmente evitado.

### 2.5.7 Construção

Algumas atividades comuns à tarefa de construção do software, tais como compilação de arquivos fonte e a análise e importação de dependências, atualmente são realizadas automaticamente por ferramentas de construção como Apache Ant[dOBdAFT15], Maven[GK07] e Gradle[Mus14]. Essas ferramentas são capazes de obter da internet as dependências necessárias, executar e analisar os resultados de testes unitários, além de poderem ser configuradas para emitir relatórios com detalhes sobre o processo de construção. Entretanto, é necessário que o software seja estruturado de forma a utilizar adequadamente as funcionalidades dessas ferramentas de automatização de construção. A dívida técnica de construção é caracterizada pela existência de características no software que não permitam a utilização das facilidades oferecidas por essas ferramentas. Logo, muitas das atividades de construção deverão ser realizadas manualmente, aumentando o esforço necessário para completá-las. A busca por soluções para este tipo de dívida técnica tem se tornado popular no âmbito profissional devido à inerente busca por automatização dos processos de desenvolvimento de software[MGSB12].

### 2.5.8 Tecnologia

Uma outra forma de dívida técnica está relacionada à evolução da tecnologia utilizada nos projetos. Com o passar do tempo, novas ferramentas e tecnologias são criadas para tornar o desenvolvimento de software mais eficaz e eficiente, o que torna as tecnologias até então utilizadas, obsoletas. Quando essas tecnologias não são atualizadas ou substituídas, o esforço necessário para o desenvolvimento é maior em relação ao cenário onde as tecnologias mais recentes são utilizadas. Isso é o que caracteriza a existência de uma dívida técnica.

## 2.6 Identificação da dívida técnica

As formas de identificação da dívida técnica podem ser divididas em automáticas e manuais. De acordo com [ZSV<sup>+</sup>13], as ferramentas automáticas são mais eficientes na detecção da dívida técnica quando comparadas com a inspeção manual. Entretanto, alguns estudos mostram que a inspeção manual é imprescindível para estimar as propriedades da dívida técnica e priorizar o pagamento. Técnicas como o método delphi[SK15], em que as estimativas são definidas por especialistas, mostraram-se eficazes. Entretanto, essas estimativas são caras, pois exigem que esses especialistas discutam entre si as estimativas até chegarem a um consenso. Enquanto isso, a identificação automática é realizada por ferramentas como Sonar Qube[CP13].

Em [CAAA15], os autores sugerem uma forma de estimar o tempo necessário para que o valor acumulado dos juros da dívida técnica atinja um valor maior do que o valor do principal. Os autores acreditam que essa informação auxiliará os gerentes de projeto em seus processos de decisão ao indicar quanto tempo demorará para que o recurso poupado, ao não pagar a dívida técnica, seja superado pelo aumento no gasto de recursos para a manutenção devido às implicações. Se o tempo para que essa superação ocorra for muito grande, então, provavelmente, será pouco pertinente pagar a dívida técnica no instante em que a avaliação foi realizada. Contudo, caso o tempo para que essa superação ocorra seja curto, os responsáveis pelo projeto deverão considerar fortemente o pagamento da dívida técnica. Para estimar o principal da dívida técnica os autores utilizam funções de *fitness* que medem a coesão e acoplamento de um determinado software orientado a objetos. Depois são utilizados algoritmos de otimização para encontrar o design do sistema que produza um valor ótimo para essas funções. A diferença entre o design ótimo e o atual constituem uma estimativa para o principal da dívida técnica. O esforço necessário para a manutenção desse sistema é calculado pelo valor da função de *fitness* multiplicado por uma constante. O esforço de manutenção para o estado atual será maior do que o esforço para o estado ótimo. Os juros da dívida técnica para cada nova versão são iguais à diferença entre esses dois esforços. Logo, o número de versões necessárias para que os juros acumulados seja igual ao principal será igual ao principal dividido pelos juros acumulados. Os autores ainda disponibilizam uma ferramenta chamada JCaliper para facilitar a aplicação da proposta. Essa ferramenta é, então, aplicada em um estudo de caso no qual a dívida técnica do projeto Junit é analisada. Ao aplicar a proposta, os autores concluem que levaria 5,4 anos para que o valor acumulado dos juros supere o valor atual da dívida técnica desse projeto. Apesar dos resultados apresentados mostrarem-se promissores, os autores descrevem algumas limitações na proposta apresentada. As principais delas são a de

se considerarem apenas coesão e acoplamento como dívida técnica e também a de se considerar esforço de manutenção apenas como a quantidade de linhas de código.

Os métodos de identificação da dívida técnica apresentam a limitação de não capturar informações sobre o seu acúmulo entre as versões do software. Essas informações podem ser importantes para realizar previsões a respeito da dívida técnica. Um dos aspectos que podem ser observados ao comparar as versões do software é a propagação de dependência entre os elementos do software. Em [HLR<sup>+</sup>13] é analisada a hipótese de que existe uma relação entre a propagação das dependências entre os elementos do software e o acúmulo da dívida técnica. Para analisar essa hipótese, é conduzido um estudo de caso sobre um projeto de refatoração de um software de ensino. Os objetivos desse estudo de caso são entender a estrutura da dívida técnica desse sistema e o papel da propagação de dependências na formação dessa estrutura. A forma como a dívida técnica se agrega ao software acontece de duas maneiras. A primeira é resultado das decisões feitas durante o desenvolvimento de um novo componente e da qualidade na qual esse componente é integrado ao software. A segunda está ligada à dívida presente em elementos que estão indiretamente relacionados a um novo componente como, por exemplo, documentação. Devido à literatura a respeito da relação entre a propagação de dependência e o acúmulo da dívida técnica ser escassa, foram utilizados resultados da área de evolução e análise de impacto para concluir que os modelos do domínio possuem informações importantes para identificar os caminhos pelos quais as mudanças em um elemento do software podem se propagar. O estudo de caso foi conduzido de forma a atingir os dois objetivos da pesquisa, i.e., identificar a estrutura da dívida técnica e entender a relação da propagação de dependências com a formação dessa estrutura. Para tal, foi analisado o histórico de versões de um projeto para refatorar um sistema de apoio ao ensino. Com base nesses dados, foram construídas árvores para modelar as modificações feitas no software e as dependências dos elementos relacionados. Analisando essas informações, os autores concluem que a propagação de dependências pode ser usada para predizer o tamanho e a distribuição da dívida técnica.

## 2.7 Gerenciamento da dívida técnica

O gerenciamento da dívida técnica se assemelha ao gerenciamento de projetos. Existe uma série de atividades que precisam ser desempenhadas como identificação, análise, priorização e monitoramento. Apesar dessas atividades serem comuns ao gerenciamento da dívida técnica, existem uma série de formas de desempenhá-las. Assim como no gerenciamento de projetos existem diversas técnicas diferentes que podem ser usadas em inúmeras atividades.

Caso o principal da dívida técnica não seja pago, os juros podem crescer a ponto de tornar a evolução do software insustentável. Logo, é importante que a dívida técnica seja devidamente gerenciada a fim de evitar que isso ocorra[[Pow13](#)]. O gerenciamento da dívida técnica é um conjunto de atividades realizadas com o intuito de controlá-la de forma que ela não comprometa o desenvolvimento e evolução do software. De acordo com Zengyang Li. et. al.[[LAL15](#)], ele pode ser dividido em três atividades principais: a prevenção, identificação e o balanceamento entre aquisição e o pagamento da dívida. A decisão de realizar uma atividade de forma a gerar uma dívida técnica normalmente é feita devido à limitação de recursos disponíveis para a realização da atividade. Os responsáveis pelo gerenciamento do desenvolvimento e evolução do software precisam avaliar se o impacto causado pela aquisição da dívida será menor do que o benefício causado pela realização da atividade.

As abordagens de gerenciamento da dívida técnica podem ser divididas em dois grupos. As abordagens que adaptam métodos financeiros e as abordagens específicas, especialmente criadas para o gerenciamento da dívida técnica. A seguir, descreveremos algumas das abordagens encontradas na literatura.

### 2.7.1 Abordagens adaptadas da área financeira

A dívida técnica nada mais é do que uma metáfora que compara deficiências nos projetos de software com conceitos financeiros. Conforme descrito na seção [2.3.1](#), muitos dos conceitos utilizados para descrever a dívida técnica são originários da área financeira. Por causa disso, algumas das abordagens para o gerenciamento da dívida financeira foram adaptadas para serem utilizadas, também, para gerenciar a dívida técnica. Um exemplo dessas abordagens é o gerenciamento de portfólio. [[GS11](#)] Guo, et al., sugerem uma abordagem baseada em portfólios para gerenciar a dívida técnica. Um portfólio é o conjunto de investimentos que uma determinada empresa ou pessoa possui. Cada um desses investimentos possui um risco associado. Esse risco mede a probabilidade de um investimento não trazer o retorno esperado. Quanto maior o risco, maiores as chances de o investimento não trazer o retorno esperado. O objetivo do gerenciamento de portfólio é escolher os itens desse conjunto de forma que o retorno seja o maior possível e o risco esteja dentro de um patamar pré-estabelecido.

Apesar de a metáfora dívida técnica ter se mostrado útil como uma ferramenta de comunicação, existem muitas diferenças entre a dívida financeira e a dívida técnica que fazem com que a adaptação de abordagens de gerenciamento oriundas da área financeira seja de difícil realização. Em alguns casos, essa dificuldade é observada pelo fato de a área financeira utilizar métodos matemáticos

complexos. Além disso, alguns conceitos financeiros, utilizados nessas abordagens, são de difícil mapeamento para o contexto de desenvolvimento de software. Um exemplo é o caso da técnica de precificação de opções definida por Black and Scholes [Chr96]. Essa técnica foi adaptada para ser utilizada em projetos de software [BK99, AB13, AR15]. Entretanto, mostrou-se de difícil utilização por pessoas sem um grande conhecimento na área financeira e em modelos matemáticos de análise. Mesmo tendo em vista a complexidade na utilização de algumas dessas abordagens, é possível que elas possam ser adaptadas com sucesso em projetos reais quando forem criadas ferramentas que automatizem seus cálculos e procedimentos.

### 2.7.2 Abordagens específicas

Além das abordagens de gerenciamento originárias da área financeira, foram criadas abordagens específicas para o gerenciamento da dívida técnica. Essas formas de gerenciamento observam as necessidades específicas dos projetos de software em manter suas dívidas técnicas em níveis aceitáveis.

Fernández-Sánchez, C et al. [FSGY15] apresentam uma proposta para o gerenciamento da dívida técnica. Nessa pesquisa, os autores iniciam a definição de um arcabouço para o gerenciamento da dívida técnica. Por meio de um mapeamento sistemático da literatura, são definidos os elementos utilizados para o gerenciamento da dívida técnica e como esses elementos são considerados pelos diferentes pontos de vista dos stakeholders. Os elementos mapeados pelos estudos foram:

- *Identification of technical debt items.*
- *Principal Estimation.*
- *Interest estimation.*
- *Interest probability estimation.*
- *Technical debt impact estimation.*
- *Automated estimates.*
- *Expert Opinion.*
- *Scenario analysis.*
- *Time-to-market.*
- *When to implement decisions.*

- *Tracking technical debt over time.*
- *Visualizing technical debt.*

Os pontos de vista identificados foram engenharia, gerenciamento da engenharia e gerenciamento do negócio. A engenharia inclui processos de design e construção de software; o gerenciamento da engenharia envolve as atividades relacionadas ao planejamento e monitoramento; por fim, as atividades de gerenciamento do negócio envolvem as estratégias, objetivos e planejamento organizacional. O mapeamento sistemático também mostrou que todos os pontos de vista estão majoritariamente focados nas técnicas de estimação da dívida técnica. Os autores acreditam que, ao identificar quais conceitos estão relacionados ao gerenciamento da dívida técnica e como esses conceitos são utilizados, poderão, em trabalhos futuros, criar modelos concretos que auxiliem o gerenciamento da dívida técnica.

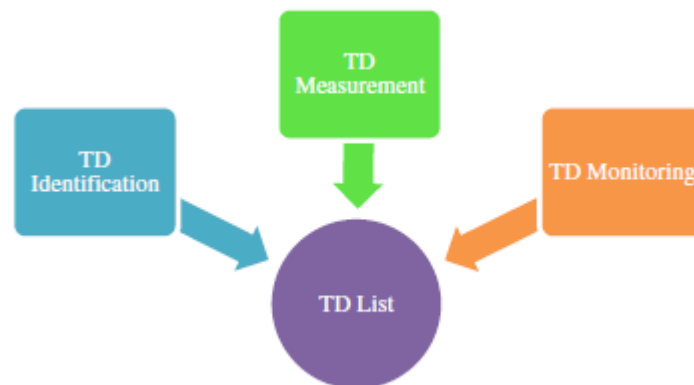
A abordagem mais madura de gerenciamento da dívida técnica encontrada na literatura é a definida por Seaman, C e Guo, T[SG11]. A Figura 2.7 ilustra a estrutura básica dessa abordagem. A TD list (*Technical Debt List*) é um catálogo com as informações de todas as dívidas técnicas presentes no projeto. Esse catálogo inclui data de identificação, descrição, localização, responsável, tipo, estimativa do principal, estimativa dos juros e estimativa da probabilidade de os juros serem efetivamente exercidos. Todas as atividades de gerenciamento da dívida técnica atualizam ou obtêm informações dessa lista. A abordagem criada pelos autores possui três atividades: Identificação, medição e monitoramento.

As atividades de identificação e medição geram uma lista que contém, além das dívidas técnicas, informações sobre o principal e os juros. Na atividade de identificação, o software e os processos utilizados em sua construção são analisados a fim de encontrar dívidas técnicas. Cada ocorrência de dívida técnica é, então, inserida na TD List. Na identificação não é realizada uma análise mais profunda a respeito do principal e dos juros das dívidas. Ao invés disso, são utilizadas apenas estimativas superficiais como simples, médio e difícil para designar o esforço necessário para correção. Na atividade de medição, é realizado um estudo mais completo a respeito do custo para pagamento das dívidas e dos juros relacionados. Esse estudo é realizado considerando as informações atuais a respeito do software e as futuras atividades de desenvolvimento e manutenção. Essa divisão entre identificação e medição é realizada pelo fato de a medição ser uma atividade onerosa. Logo, não faz sentido que ela seja realizada em dívidas que não serão pagas no curto prazo ou não tenham alto impacto no software.

A atividade de monitoramento consiste em observar o ciclo de vida do software e incorporar

ou remover da lista as dívidas a medida que elas forem sendo pagas ou novas dívidas forem sendo criadas. Além disso, no monitoramento é feito um acompanhamento da evolução da dívida técnica do software a fim de manter o nível dentro de patamares aceitáveis.

Além dessas atividades, os autores descrevem como deve ser o processo de decisão a respeito de quais dívidas devem ser pagas em um *release*. Devem primeiro ser selecionadas as dívidas que estejam relacionadas ao componente ou componentes que serão alterados no *release*. Além disso, devem ser considerado o esforço, a probabilidade de que os juros tenham de ser pagos e os benefícios do pagamento da dívida. Esse framework não define explicitamente quais métodos ou ferramentas devem ser utilizados em cada atividade. Essa escolha é deixada para as pessoas que irão aplicá-lo. Apesar disso, os autores fornecem sugestões.



**Figura 2.7:** Framework para gerenciamento da dívida técnica. Adaptado de [SG11].

Para verificar a viabilidade de aplicação do framework, Seaman, C et. al., realizaram um estudo onde são investigados os custos necessários para aplicar o arcabouço de gerenciamento [GSS16]. Nesse trabalho, os autores investigaram o custo necessário para realizar o gerenciamento da dívida técnica em um projeto de software e como as informações sobre a dívida técnica influenciam o processo de decisão. Para realizar essa investigação é conduzido um estudo de caso em uma pequena empresa de desenvolvimento de software. O objetivo desse estudo de caso é identificar quais são os custos necessários para gerenciar a dívida técnica e como as informações sobre a dívida técnica contribuem para o processo de decisão. O estudo de caso foi desenvolvido em uma empresa que produz software empresarial, realiza consultoria e fornece serviços de treinamento. Uma equipe formada por nove profissionais foi monitorada durante o desenvolvimento de um software web de gerenciamento de embarcações. Foram realizadas as atividades de gerenciamento da dívida técnica propostas pelos autores. O foco nesse monitoramento estava no processo de decisão e como ele era influenciado pelas informações da dívida técnica. Por meio do estudo de caso, foi possível identificar quatro itens ou categorias de custo para o gerenciamento da dívida técnica. Essas categorias foram:



a. identificação, b. análise e avaliação, c. comunicação e d. documentação. Cabe mencionar que a análise e avaliação foi a categoria com o custo mais alto. O custo do planejamento do projeto aumentou 70% após a inclusão das atividades de gerenciamento da dívida técnica. Entretanto, esse aumento significativo foi causado pelo custo de atividades iniciais que não serão repetidas em futuros projetos ou que terão o custo diminuído, como, por exemplo, as atividades de treinamento sobre a dívida técnica. O segundo objetivo do estudo foi identificar como as informações da dívida técnica influenciam o processo de decisão. O estudo de caso mostrou que as necessidades do cliente, a quantidade de recursos disponíveis, os juros da dívida técnica, o nível de qualidade do módulo e o impacto em outras funcionalidades são os fatores que influenciam o processo de decisão. Os autores concluem que o gerenciamento da dívida técnica na empresa do estudo de caso trouxe diversos benefícios. Isso foi evidenciado pelo fato de que o líder do projeto continuou utilizando a abordagem mesmo após o fim do estudo de caso. Além disso, o benefício causado pelo gerenciamento da dívida técnica se mostrou maior do que o custo de executá-lo.

Neste trabalho[OGS15] é realizada uma pesquisa-ação com o objetivo de avaliar em um cenário real a aplicação do framework de gerenciamento da dívida técnica proposto por Seaman, C e Guo, T[SG11]. A pesquisa-ação foi realizada em duas empresas brasileiras. A primeira desenvolve sistemas de gerenciamento de benefícios previdenciários. A segunda desenvolve sistemas de apoio para seguradoras. Ambas as empresas apresentaram indícios de existência de dívida técnica em seus projetos. A pesquisa-ação é caracterizada pela interação entre pesquisadores e profissionais com o objetivo de resolver um problema real e ainda assim contribuir para uma área de pesquisa. A pesquisa-ação executada neste estudo foi realizada em cinco estágios: diagnose, planejamento, intervenção, avaliação e registro de aprendizado. Foram realizados três seminários com cada uma das empresas. Nesses seminários foram apresentados os conceitos da dívida técnica e detalhes sobre framework que seria utilizado. Como fonte de dados para a obtenção dos resultados desta pesquisa, foram consideradas as anotações realizadas durante os seminários e questionários enviados aos participantes ao final de cada ciclo. Foram observadas pelos pesquisadores e, confirmadas nos questionários, dificuldades por parte dos profissionais em mensurar as dívidas técnicas. Especialmente os juros, pois dependem da previsão de como a dívida afetará o projeto com o passar do tempo. Essa previsão é de difícil realização especialmente quando não há dados históricos. Apesar disso, o estudo mostrou que os participantes acreditam que, ainda assim, essa avaliação, juntamente com a priorização da dívida técnica, precisa ser realizada por todo o time de desenvolvimento. A maior parte das dívidas identificadas foram de design e código. Isso se justifica pelo fato de grande parte dos participantes do estudo serem arquitetos de software ou programadores. Os participantes

também concordaram que o tempo necessário para a inclusão de uma dívida técnica na *technical debt list* foi razoável. Os autores concluem que as empresas irão continuar utilizando a estratégia de gerenciamento da dívida técnica utilizada mesmo após a finalização da pesquisa.

### 2.7.3 Dívida técnica como uma ferramenta estratégica

Os estudos sobre gerenciamento da dívida técnica normalmente não consideram os aspectos estratégicos do projeto. Grande parte dos trabalhos encontrados na literatura consideram que a dívida já existe e precisa ser gerenciada. Existe uma ausência de trabalhos que abordem a possibilidade de a dívida técnica ser utilizada como uma ferramenta estratégica no gerenciamento de projetos de software. Como exemplo, muitas vezes uma dívida técnica é criada devido a uma necessidade de disponibilizar rapidamente uma funcionalidade indispensável. Pode ser feita uma relação entre essa situação e a utilização de técnicas de prototipagem evolutiva e desenvolvimento incremental que também permitem a disponibilização do software de forma incompleta ou não aderente aos padrões de qualidades exigidos para o produto final. Ainda assim, são alternativas válidas para o projeto de desenvolvimento de software. Logo, o gerenciamento da dívida técnica deveria ser feito de forma que haja um balanceamento entre essas possíveis necessidades estratégicas e as necessidades técnicas do projeto. Entretanto, as abordagens encontradas não consideram esses aspectos estratégicos. Inclusive, não consideram a etapa de decisão a respeito da aquisição ou não da dívida técnica. Nas abordagens encontradas na literatura[SG11, GS11, FSGVY15], o gerenciamento da dívida técnica se inicia nas atividades de identificação. Ou seja, após as dívidas já terem sido criadas.

## Capítulo 3

# O modelo de estimação do juros da dívida técnica

Neste capítulo definiremos um modelo para estimação dos juros da dívida técnica baseado na variação da produtividade nos projetos de desenvolvimento de software. Inicialmente, iremos descrever a versão de alto nível desse modelo e em quais ideias ele está baseado. Em seguida, forneceremos uma descrição de uma aplicação desse modelo na estimação dos juros da dívida técnica em projetos de software livre.

### 3.1 Introdução

Tradicionalmente, os juros da dívida técnica são definidos como o conjunto das dificuldades adicionais, causadas pela existência da dívida, para realizar as atividades de desenvolvimento de software. Caso a dívida técnica não estivesse presente, essas dificuldades não existiriam. Nesta pesquisa, sugerimos uma nova perspectiva para analisar os juros da dívida técnica e, assim, permitir seu gerenciamento: considerá-los como a causa de uma diminuição da produtividade dos projetos.

Quanto mais juros um projeto tem, menor a produtividade real, quando comparada à obtida em um cenário onde não houvesse dívida técnica. Essa redução acontece, pois mais recursos terão de ser utilizados para se atingirem os mesmos objetivos. Vamos ilustrar essa degradação na produtividade com um exemplo:

Uma empresa de desenvolvimento de software resolve iniciar um projeto para o desenvolvimento de algumas novas funcionalidades para um sistema de vendas existente. Ao realizar uma análise de viabilidade, o time responsável descobre que o código atual do sistema apresenta uma documentação insuficiente, problemas de arquitetura e design e quantidade de testes unitários não compatível com o nível de qualidade esperado para o projeto. O time conclui, corretamente, que haverá uma série de dificuldades adicionais para a conclusão do projeto.

Nesse exemplo, fica claro que a produtividade do time seria melhor caso esses problemas identificados não existissem. Ou seja, menos recursos teriam de ser gastos para alcançar os mesmos objetivos. Os problemas encontrados são as dívidas técnicas do software que foram sendo adquiridas com o passar do tempo. As dificuldades para se realizar o projeto de adição das funcionalidades adicionais são os juros causados por essas dívidas. Observando o exemplo fornecido, proporemos um modelo, no qual a estimativa dos juros da dívida técnica será calculado como a diferença de produtividade entre dois cenários: um com dívida técnica, semelhantemente ao exemplo fornecido, e um cenário onde essas dívidas técnicas não existam. Como discutiremos mais à frente, na verdade, o cenário onde não existe dívida é inalcançável. O que usaremos será uma aproximação em que a dívida técnica seja muito baixa.

## 3.2 Avaliação da produtividade dos projetos de software

O termo produtividade é usado para descrever a proporção entre o valor dos recursos utilizados em um processo e o valor do que é efetivamente produzido. Os recursos aplicados são chamados de entradas, enquanto os resultados do processo são chamados de saídas. O problema de medir a produtividade de um processo pode ser resumido em duas partes:

1. Identificar as entradas e as saídas.
2. Quantificar as entradas e saídas de tal forma que a relação entre elas possa ser calculada

O processo mais eficiente é aquele no qual mais valor (saídas) é produzido utilizando menos recursos (entradas).

Existe uma série de desafios para identificar e quantificar as entradas e saídas do processo de desenvolvimento de software. Devido à inerente complexidade desse processo, existem diversas possibilidades para quais serão as entradas e saídas a serem incluídas na análise de produtividade.

A quantidade de homens/hora e a quantidade de linhas de código produzidas são métricas normalmente utilizadas como entrada e saída respectivamente. Entretanto, essas métricas, apesar de poderem ser consistentemente medidas, são demasiadamente imprecisas, já que existem diversos outros fatores relevantes conforme mostrado no estudo de MacCormack et al. [MKCC03]. No caso da quantidade de homens/hora, por exemplo, um outro fator importante é o nível de experiência das pessoas envolvidas. A hora de um colaborador inexperiente naturalmente será menos valiosa do que a hora de um com mais experiência. Semelhantemente, a quantidade de linhas de código produzidas, apesar de muito utilizada, também é uma métrica imprecisa já que não inclui uma quantificação do valor dessas linhas de código. É possível que uma grande quantidade de linhas de código seja criada para realizar uma atividade, porém, essa mesma atividade possa ser desenvolvimento com uma quantidade bem menor. Além desses dois exemplos, existem outras entradas e saídas que podem ser utilizadas em modelos de medição de produtividade conforme mostrado por Hernández-López et al., [HLCPSAL15]. Podemos observar que não existe uma forma totalmente precisa para se avaliar a produtividade dos processos de desenvolvimento de software. Isso se dá não apenas pela existência de diversas medidas possíveis como também devido aos aspectos subjetivos dessas medidas.

### 3.2.1 Modelos baseados em expectativa de produção

Para medir a produtividade no nosso modelo de estimação, utilizamos uma proposta de Kitchenham e Mendes [KM04]. Nesse trabalho os autores sugerem um modelo onde a produtividade de um processo de desenvolvimento de software é avaliada comparando o esforço estimado para a realização de um determinado projeto com o esforço efetivamente gasto. Essa relação é representada pela equação 3.1. O esforço estimado, representado pela variável *AdjustedSize*, é calculado por meio de uma regressão linear múltipla utilizando dados históricos de projetos similares. A variável *Effort* é o esforço efetivamente gasto para a realização do projeto. Se a variável *Productivity* for maior que 1 quer dizer que o projeto foi realizado com menos esforço do que o esperado levando-se em consideração os dados dos projetos semelhantes.

$$Productivity = AdjustedSize / Effort \quad (3.1)$$

O modelo descrito na equação 3.1 não determina quais medidas serão utilizadas para quantificar as variáveis *AdjustedSize* e *Effort*. Isso é esperado já que essas medidas são diferentes para cada domínio da aplicação sendo desenvolvida. Os autores fornecem um exemplo da aplicação do modelo

em um projeto de desenvolvimento web. Nesse exemplo, são utilizados o número de páginas, o número de imagens e o número de funcionalidades da aplicação como medidas para estimar o esforço.

Apesar da viabilidade dessa estratégia, os autores concluem que calcular a produtividade esperada, utilizando os fatores associados, é uma atividade complexa e que também não pode ser feita com precisão absoluta [Pet11].

Devido à importância, nesta pesquisa, do modelo de produtividade representado pela equação 3.1, forneceremos um exemplo de como ele deve ser utilizado. Na Tabela 3.1 há a quantidade de linhas produzidas e a quantidade de desenvolvedores de três projetos fictícios. Podemos estimar, utilizando os dados desses três projetos, qual seria a quantidade de desenvolvedores necessários para produzir a quantidade de linhas de código do projeto. Essa estimação é realizada por meio de uma regressão linear [DS12] tendo como variável explicativa o número de linhas de código e como variável explicada o número de desenvolvedores. Realizando essa regressão linear, podemos calcular os valores ajustados para o número de desenvolvedores.

No exemplo da Tabela 3.1, podemos observar que o projeto A envolveu cinco desenvolvedores, porém, o número esperado, tendo como base os dados dos outros projetos, seria 5,33. portanto, o projeto A conseguiu produzir 15.000 linhas de código com uma quantidade menor do que a esperada de desenvolvedores. A razão entre a quantidade esperada e a quantidade real de desenvolvedores é a produtividade do projeto, de acordo com a equação 3.1. Por outro lado, o projeto B tem uma quantidade de desenvolvedores maior do que a esperada. Com isso, a produtividade desse projeto foi menor do que 1, o que o leva a ser considerado um projeto menos produtivo do que o projeto A.

Projeto	Linhas de código	Nº Desen.	Nº Desen. ajustado	Produtividade
A	15.000	5	5.33	1,06
B	20.000	8	7.33	0,91
C	25.000	9	9.33	1,03

**Tabela 3.1:** Quantidade de linhas de código, número de desenvolvedores, número de desenvolvedores ajustado e produtividade de três projetos de software fictícios.

### 3.3 O modelo de estimação dos juros da dívida técnica

A sustentação lógica do nosso modelo de estimação dos juros é baseada na existência de dois cenários nos quais um mesmo projeto de software pode ser desenvolvido:

- **sem dívida técnica.** Nesse cenário, a produtividade de um projeto de software é a melhor possível com os recursos disponíveis, ou seja, levando-se em consideração todo o contexto no qual o projeto é desenvolvido, a produtividade obtida é a melhor que poderia ser alcançada.
- **com dívida técnica.** Esse cenário é idêntico ao cenário **sem dívida técnica**, exceto por uma diferença: existem dívidas técnicas. Todas as outras variáveis relacionadas com o contexto do projeto são exatamente as mesmas. Ou seja, as atividades a serem realizadas são as mesmas e com o mesmo nível de complexidade.

É importante notar que o cenário totalmente sem dívida técnica nunca existirá já que não é possível a existência de um software sem nenhuma dívida técnica. Temos algumas razões para afirmar a inexistência de projetos sem nenhuma dívida técnica. A primeira delas é o fato de que a própria identificação do que é ou não uma dívida técnica é subjetiva e muitas vezes intangível. A segunda razão é associada às dívidas técnicas de tecnologia. Com o passar do tempo uma tecnologia vai se tornando obsoleta e continuar a utilizá-la pode trazer esforços adicionais. Com isso, devido à contínua criação de novas tecnologias, é impossível garantir que não haja algum tipo de obsolescência.

Vamos revisitar agora o exemplo anteriormente fornecido neste capítulo incluindo as definições dos dois cenários de desenvolvimento e outros conceitos já introduzidos:

Um determinado projeto de desenvolvimento que consistia em adicionar um conjunto de novas funcionalidades a um sistema já existente foi realizado em um cenário **com dívida técnica**. Ou seja, esse sistema existente possuía um número  $D$  de dívidas técnicas. Esse projeto adicionou uma quantidade  $S$  de funcionalidades ao sistema. Para obter o resultado  $S$  foi utilizada uma equipe de desenvolvimento de software de tamanho  $E$  obtendo uma produtividade  $Y$ . Com isso, a produtividade  $Y$  do projeto pode ser calculada de acordo com a equação 3.2. Por meio da equação 3.2, representamos a degradação da produtividade causada pela existência da dívida técnica  $D$ . Quanto maior  $D$ , menor será a produtividade do projeto.

$$Y = \frac{S}{D * E} \quad (3.2)$$

Imagine que seja possível que esse mesmo projeto pudesse ser realizado novamente pela mesma equipe e em um contexto exatamente igual, porém sem que a equipe pudesse lembrar da primeira execução e usar o que aprendeu nela. Além disso, nesta segunda execução, a dívida técnica do

projeto não existe. Ou seja, o projeto dessa vez foi realizado em um cenário de **sem dívida técnica**. Logo, a produtividade do time de desenvolvimento será outra que chamaremos de  $\bar{Y}$ . A produtividade  $\bar{Y}$  pode ser calculada utilizando a Equação 3.3.

É evidente que a produtividade  $\bar{Y}$  será melhor do que a produtividade  $Y$  já que a única diferença entre os dois cenários, nesse exemplo fictício, é a existência ou não de dívida técnica. Sem a dívida técnica, o time terá mais facilidade para desenvolver as funcionalidades do projeto e com isso elas serão desenvolvidas em um menor tempo aumentando, assim, a produtividade. Observando esse exemplo fictício podemos inferir a Equação 3.4 em que  $J$  é os juros da dívida técnica que foi pago durante a execução do projeto de desenvolvimento no cenário de **produtividade afetada**. *Note que, para este exemplo fictício,  $J$  não é uma estimativa dos juros, ao invés disso, é um valor exato.*

Esse exemplo fictício obviamente não pode ser reproduzido exatamente como descrito. Um motivo é a impossibilidade de executar o mesmo projeto duas vezes com o mesmo time sem que a segunda execução seja facilitada pelas experiências obtidas pela primeira. Outro motivo é a impossibilidade de se remover totalmente a dívida técnica  $D$  do sistema existente. Contudo, esse exemplo apresenta-se útil como uma argumentação lógica para uma estratégia onde possa ser encontrado um valor aproximado para  $J$  em situações reais.

$$\bar{Y} = \frac{S}{E} \quad (3.3)$$

$$J = \bar{Y} - Y \quad (3.4)$$

### 3.3.1 Estimação dos juros por aproximação

Conforme descrito anteriormente, não podemos calcular precisamente os juros da dívida técnica utilizando a Equação 3.4. Porém, utilizaremos essa fórmula e a situação fictícia que descrevemos como uma base lógica para o cálculo de uma estimativa dos juros da dívida técnica. Para isso, precisamos de valores estimados para  $Y$  e  $\bar{Y}$ . Nossa estratégia será a de estimar o valor de  $Y$  utilizando os projetos no cenário **com dívida técnica** e o valor de  $\bar{Y}$  utilizando os projetos no cenário **sem dívida técnica** da seguinte forma:

1. Selecionamos um projeto A que tenha um nível normal de dívida técnica. A produtividade desse projeto será a variável  $Y$  da equação 3.4.



2. Seleccionamos um projeto B que seja muito semelhante ao projeto A, porém tenha um nível de dívida técnica muito baixo, ou seja, esteja no cenário **sem dívida técnica**. A produtividade desse projeto será a variável  $\bar{Y}$  da equação 3.4. O limite de dívida técnica que um projeto pode ter e ainda ser considerado pertencente a esse cenário dependerá do contexto desse projeto.
3. Calculamos um valor estimado para  $J$  usando a equação 3.4.

Com isso, estamos simulando a remoção da dívida  $D$  do projeto A e criando uma aproximação da realização do projeto A sem a existência de dívida técnica, o que nos permite a estimação do valor de  $J$ , que representa os juros da dívida técnica do projeto A.

Como veremos no nosso estudo de caso do Capítulo 4, podemos usar mais de um projeto para representar as variáveis  $Y$  e  $\bar{Y}$  da seguinte forma:

1. Definimos um grupo  $G$  de projetos que sejam todos semelhantes entre si.
2. Dividimos o grupo  $G$  em duas partições:

$P_1$  Projeto no cenário **sem dívida**

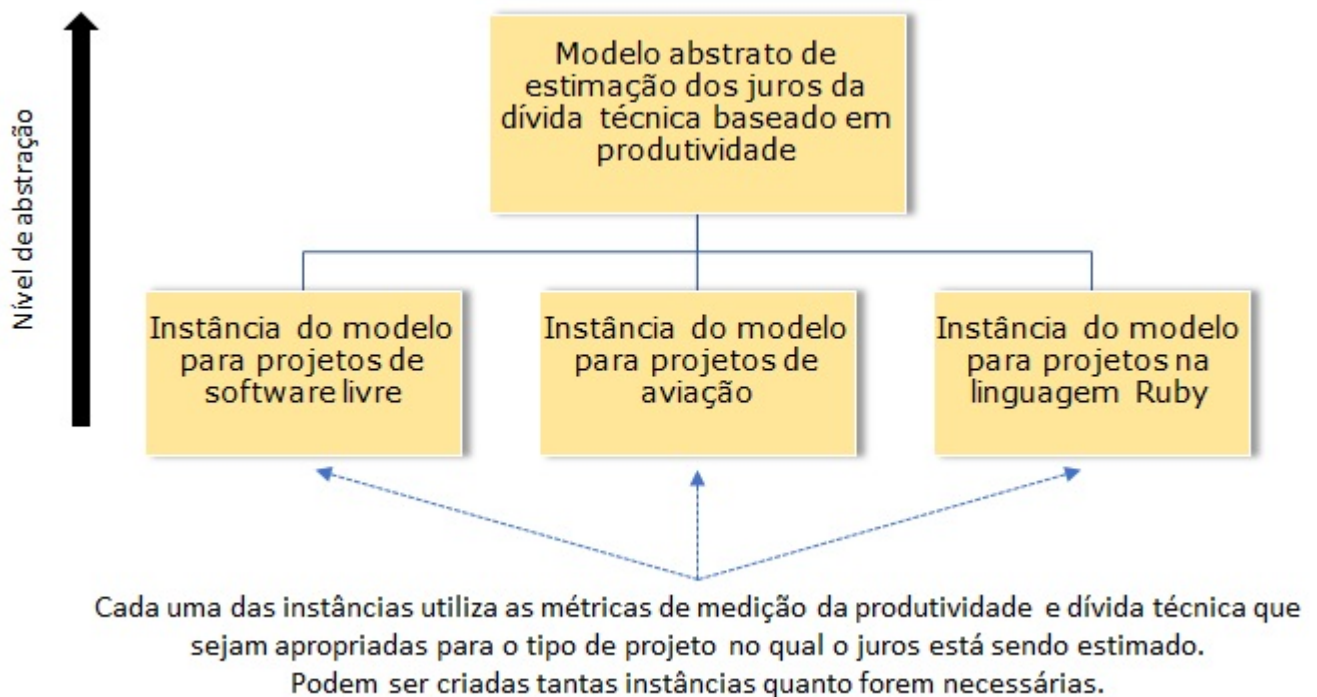
$P_2$  Projetos no cenário **com dívida**.

3. Atribuímos a produtividade média dos projetos na partição  $P_1$  à variável  $\bar{Y}$ .
4. Atribuímos a produtividade média dos projetos na partição  $P_2$  à variável  $Y$ .
5. Calculamos um valor médio para  $J$  usando a equação 3.4. Nesse caso,  $J$  representa a média de juros da dívida técnica dos projetos na partição  $P_2$

### 3.3.2 Abstração do modelo

Nosso modelo de estimação dos juros é um modelo abstrato. Não há uma definição de quais métricas serão utilizadas tanto para a estimação da dívida quanto para a estimação da produtividade. Para que esse modelo possa ser aplicado, é necessário que exista uma definição precisa a respeito de quais métricas serão utilizadas para avaliar a produtividade e qual processo será realizado para estimar os juros da dívida técnica. Entretanto essas definições dependem das características dos projetos avaliados. Por exemplo, o conjunto de dívidas técnicas em um projeto no qual o paradigma de desenvolvimento seja o orientado a objetos é diferente do conjunto de dívidas técnicas de um projeto que utilize o paradigma funcional. Por isso, essas definições, necessárias para

aplicação do modelo proposto, precisam ser feitas de acordo com o contexto. Ou seja, para aplicar o modelo, é necessário criar uma instância dele conforme ilustrado na Figura 3.1.



**Figura 3.1:** Níveis de abstração do modelo de estimativa dos juros da dívida técnica.

### 3.4 Criação das instâncias do modelo de estimativa dos juros da dívida técnica

Para instanciar o modelo de estimativa é necessário definir certas métricas que serão utilizadas para avaliar a produtividade dos projetos. Além disso, será necessário definir como agrupar os projetos semelhantes como também particionar cada um desses grupos de forma a separar os projetos nos cenários **com dívida técnica** e **sem dívida técnica**. A tabela 3.2 resume todas as definições que precisam ser feitas para a instanciação do modelo para a estimativa dos juros da dívida técnica. A seguir descreveremos cada uma dessas atividades.

**Tabela 3.2:** *Atividades necessárias para a criação de um modelo concreto de estimação dos juros da dívida técnica específico.*

	Atividade
1	Seleção das métricas que representam as entradas do processo
2	Seleção das métricas que representam as saídas do processo
3	Definição do método de agrupamento dos projetos semelhantes
4	Definição do método de particionamento dos grupos de projetos

### 3.4.1 Seleção das métricas que representam as entradas do processo

Em um modelo de avaliação de produtividade de um processo, as entradas representem aquilo que é gasto para que o resultado do processo seja alcançado. Nessa etapa, são definidas quais entradas serão utilizadas. Na avaliação da produtividade em projetos de software, normalmente são usadas como entradas métricas relacionadas ao esforço necessário para a produção do software. Esse esforço é medido tradicionalmente por meio da quantidade de pessoas que foram alocadas para o projeto e pela quantidade de tempo na qual essas pessoas atuaram. Entretanto, existe uma série de aspectos que pode afetar a medida de esforço em uma análise de produtividade e que pode ser incluída nos modelos específicos para torná-los mais precisos. A literatura nos fornece alguns desses aspectos conforme listaremos a seguir:

- O nível de experiência da equipe tem uma influência direta na avaliação de produtividade de um projeto de software. Um exemplo em que isso pôde ser verificado empiricamente pode ser encontrado no trabalho de Kitchenham et al. [KM04]. Um dos resultados dessa pesquisa mostrou uma divergência significativa entre o nível de produtividade medido pelo modelo sugerido pelos autores e a produtividade medida pela empresa para um projeto real. A produtividade medida pelo modelo foi muito baixa, porém, a empresa considerava que o projeto foi extremamente bem sucedido. Ao analisar com detalhes os dados obtidos, os pesquisadores concluíram que o projeto foi realizado por uma equipe júnior e inexperiente. Contudo, ele foi realizado em um tempo satisfatório pela empresa. Como o modelo da pesquisa não utilizava informações a respeito da experiência dos profissionais, o modelo não foi capaz de identificar que se trata, sim, de um projeto produtivo, pois foi realizado com uma equipe menos experiente e conseqüentemente mais barata. Além do tempo, o fator conhecimento também pode ser incluído em um modelo de análise de esforço. Um profissional pode trabalhar por muito tempo em uma determinada atividade sem que ele realmente adquira novos conhecimentos e

melhore a execução das suas responsabilidades. Por outro lado, um profissional com menos tempo pode se dedicar ao seu crescimento individual e alcançar resultados melhores do que o de profissionais com mais anos de experiência. Isso se torna especialmente importante no contexto da análise de produtividade quando a organização investe no aperfeiçoamento individual. Os custos desse desenvolvimento podem ser incorporados como esforço no modelo de análise de produtividade.

- O tempo gasto pela equipe de desenvolvimento não é exclusivamente gasto produzindo código. De acordo com Wagner et al. [WR18], até um terço do tempo de um desenvolvedor é usado com reuniões, apresentações, gestão de projetos e realização de cursos para o aprimoramento individual. Se no contexto no qual o software está sendo desenvolvido há uma priorização para atividades não técnicas como essas, é possível que o resultado da análise de produtividade seja prejudicado. Essa questão se torna especialmente preocupante quando o objetivo é avaliar a produtividade de projetos em contextos diferentes. Um projeto em um ambiente muito burocrático, por exemplo, no qual sejam realizadas muitas reuniões que não estejam relacionadas ao projeto, pode ser considerado como improdutivo caso o tempo gasto com essas reuniões seja contabilizado como tempo gasto no projeto.
- Alguns fatores não técnicos podem influenciar a produtividade de uma equipe. De acordo com uma revisão sistemática realizada por Wagner et al. [WR18], esses fatores são relacionados à aspectos como o quão amigável é o ambiente no qual o software é desenvolvido, a diferença de temperamentos entre os membros do time de desenvolvimento e a adequação do local de trabalho para a realização de atividades que exijam criatividade.

Apesar de essas informações aparentemente adicionarem maior precisão aos modelos de produtividade, nem sempre elas poderão ser utilizadas. O primeiro motivo é a possível inexistência de dados que tornem possível a sua medição. Por exemplo, muitos repositórios de software não possuem informações detalhadas a respeito do histórico dos seus membros. Isso inviabiliza medir o nível de experiência de um determinado contribuidor. Além disso, algumas das informações que poderiam incrementar a precisão das métricas de esforço são difíceis de serem medidas. Um exemplo é o nível adequação do local de trabalho para a realização de trabalho criativo. Para obterem-se dados para medir esses aspectos podem ser realizadas entrevistas ou utilizados questionários. Entretanto essa medição pode-se tornar cara quando o número de colaboradores e projetos é muito grande. Além disso, vale reforçar, dificilmente essas informações são encontradas em repositórios públicos com informações sobre projetos de software.

### 3.4.2 Seleção das métricas que representam as saídas do processo

Há uma dificuldade adicional na escolha das métricas de saída em um modelo de avaliação da produtividade em projetos de software. Essa dificuldade é causada pelo fato de que normalmente as reais saídas de um projeto são subjetivas. Apesar de o número de linhas de código serem utilizadas extensivamente, essa métrica pode dizer muito pouco a respeito do valor que realmente foi produzido durante o projeto. Um projeto pode ter uma quantidade alta de linhas de código e, ainda assim, não atingir seus objetivos. Com isso, uma métrica que considere os objetivos do projeto de software pode ser mais adequada para medir o que foi produzido. Uma das alternativas é a utilização dos pontos por função. Nessa técnica de medição é estabelecida, pelo usuário do software, uma pontuação para cada funcionalidade. Essa pontuação é independente da tecnologia ou linguagem que será utilizada para implementar a funcionalidade. O tamanho do software é, então, medido pela quantidade total de pontos de todas as suas funcionalidades[[JL97](#)]. Apesar de a quantidade de linhas de código e de os pontos por função serem utilizados largamente como métricas para representar o tamanho do software, aquelas sozinhas podem não ser suficientes para capturar todos os aspectos necessários para realmente calcular o tamanho de um projeto.

Cada contexto pode exigir métricas diversas para capturar os objetivos do projeto e consequentemente seu tamanho. Um exemplo fornecido por Kitchenham et al.[[KM04](#)] é de projetos de websites. A quantidade de linhas de código ou os pontos por função podem ser adequados para medir o tamanho das funcionalidades dinâmicas do website tais como comércio eletrônico e interação dos usuários com o conteúdo. Entretanto, algumas características estáticas como as imagens e o número de páginas com conteúdo estão diretamente ligadas ao esforço necessário para realizar o projeto e, ainda assim, não podem ser capturadas por essas duas métricas. Outro exemplo são os projetos de software livre. Nesses projetos, os objetivos a serem alcançados também são as funcionalidades que serão disponibilizadas aos seus usuários. Porém, no contexto desses projetos, pode ser adequado incluir outras métricas como popularidade e facilidade de colaboração para representar o tamanho do software.

De acordo com Kitchenham et al.[[KM04](#)], em um modelo de análise de produtividade, é necessário que as métricas utilizadas para representar as saídas do processo de desenvolvimento estejam relacionadas com as métricas utilizadas para representar o esforço. Isso quer dizer que, estatisticamente, deve haver uma correlação não nula entre o esforço e cada uma dessas métricas de tamanho. Ou seja, a medida que mais ou menos esforço seja realizado, deverá haver um impacto no valor das variáveis de tamanho. Essa correlação se explica pelo fato de que seria incoerente

incluir em uma análise de produtividade informações que não são afetadas pelo valor gasto para produzir as saídas. Isso acontece, pois uma medida de produtividade é, por definição, a relação entre o quanto se gasta e o quanto se produz.

### 3.4.3 Definição do método de agrupamento dos projetos semelhantes

Conforme descrito na seção 3.3, nosso modelo abstrato de estimação dos juros da dívida técnica é baseado na ideia de que os juros são as dificuldades adicionais para desenvolver o software e que essas dificuldades não seriam encontradas caso não houvesse a dívida técnica. Os juros podem ser calculados como a diferença de produtividade em um cenário com a dívida técnica e um cenário sem a dívida técnica. Conforme explicado na seção 3.3, a criação desses cenários é inviável. Contudo, propomos, ao invés do cálculo exato, uma estimação dos juros por meio de uma aproximação. Essa estimação é obtida ao compararmos a produtividade de projetos semelhantes, de modo que, uma parte desses projetos possui um nível pequeno de dívida técnica enquanto a outra parte possui um nível normal ou grande. Para se realizar essa comparação, precisamos identificar se um projeto é semelhante a outro. O modelo abstrato descrito na seção 3.3 não define como essa análise de similaridade deve ser realizada. Seria difícil descrever uma estratégia de análise de similaridade que possa ser utilizada em todas as situações. Por isso, a estratégia que será utilizada deve ser definida em cada um dos modelos concretos de estimação dos juros da dívida técnica.

Na literatura podem ser encontradas algumas abordagens para a análise de similaridade entre projetos de software:

1. Barreto et al.[BR10], calculam a similaridade entre projetos usando cinco características: objetivo do projeto, medida usada para indicar os objetivos do projeto, cliente, experiência do time de desenvolvimento e experiência do gerente de projetos. Para calcular uma medida numérica é fornecido um modelo matemático no qual a similaridade entre dois projetos é calculada pelo somatório do inverso da diferença entre cada uma das características do projeto. Cada uma das características tem um peso calculado de acordo com a relevância indicada pelos especialistas. Uma das limitações desse trabalho é a de que ele considera apenas características numéricas dos projetos ou converte as características não numéricas em numéricas. Porém, algumas características de um projeto de software podem ser medidas por meio de variáveis categóricas. As variáveis categóricas representam informações qualitativas do projeto. Um exemplo seria a variável complexidade. Ela pode possuir valores como baixa, média ou alta.

2. Uma abordagem que inclui a utilização de dados categóricos é proposta por Idri et al. [IA01]. Nela, os autores propõem uma técnica baseada em lógica fuzzy para a avaliação de similaridade entre projetos. Entretanto, essa abordagem como a anterior, não leva em consideração o domínio da aplicação. É realizada uma análise quantitativa a respeito das características do projeto como complexidade, número de funções, quantidade de arquivos e assim por diante. Sendo assim, por meio dessas abordagens não é possível distinguir se um determinado projeto se trata de um sistema complexo como um gerenciador de banco de dados ou apenas uma aplicação web. Desde que tenha as mesmas características, dois projetos tão diferentes como esses serão classificados como similares.
3. Shinji et al. propõem um sistema chamado MUDABlue [KGMI06]. Esse sistema analisa o código fonte das aplicações e sugere, tendo como base as dependências utilizadas, quais projetos são similares. Por exemplo, se um projeto tem como uma de suas dependências uma biblioteca de tratamento de imagens, é provável que esse software seja um editor de imagens ou alguma ferramenta relacionada com o tratamento de imagens. Outra estratégia utilizada pelo MUDABlue para a categorização dos projetos é aplicar técnicas de aprendizado de máquina usando como entrada o nome das variáveis utilizadas no código fonte. Os autores sugerem que os nomes das variáveis dizem muito a respeito do domínio ao qual o software pertence e que eles podem ser usados para categorização. Outra abordagem muito semelhante ao MUDABlue é proposta por MacMillan et al. [MLVPG11]. Uma diferença significativa é a de que em vez de analisar o código fonte, os autores analisam o programa compilado. Além disso, é utilizado um algoritmo de treinamento supervisionado em que as categorias são previamente definidas.
4. Outra categoria de estratégias para a análise de similaridade é aquela em que é utilizada a descrição textual ou documentação dos projetos. Por meio de uma análise textual desses documentos é determinado um conjunto de tópicos e a probabilidade de que um determinado documento seja sobre um desses tópicos. Uma das técnicas que seguem essa estratégia é o LDA (*Latent dirichlet allocation*) [BNJ02]. Por meio dela é possível categorizar automaticamente documentos com textos em qualquer linguagem. Uma das desvantagens do LDA em relação aos outros métodos é a de que ele exige a existência de uma descrição textual para conseguir realizar a categorização. Apesar disso, essa estratégia tem sido utilizada consistentemente para a categorização de software [CTNH12, TRP09, MSH08, KAAH11]

Cada uma dessas abordagens é uma candidata para ser utilizada no agrupamento dos projetos

por similaridade. A escolha da abordagem mais adequada dependerá das características dos projetos a serem agrupados.

#### 3.4.4 Definição do método de particionamento dos grupos de projetos

O último passo para a definição de um modelo específico de estimação dos juros da dívida técnica é determinar quais projetos serão uma aproximação de um projeto desenvolvido em um cenário de produtividade ótima e quais serão projetos que foram desenvolvidos em um cenário de produtividade afetada. Essa separação deve ser baseada em critérios numéricos e dependerá dos dados disponíveis a respeito dos projetos analisados. Não é possível determinar um limiar geral entre esses dois cenários por dois motivos. O primeiro motivo é o fato de que o modelo abstrato de estimação não define como o nível de dívida técnica será calculado. Isso acontece por diversas razões, entre elas estão a inexistência de uma forma padronizada de calcular a dívida técnica e as diferenças significativas entre as dívidas técnicas em distintas linguagens de programação. Outro impeditivo para a criação do limiar entre os dois cenários é a diferença que pode existir entre os níveis de dívida técnica dos projetos analisados. Por exemplo, pode ser que os projetos tenham todos um nível de dívida técnica muito baixo e com isso o nível de transição entre os dois cenários também será pequeno. De igual modo, os projetos podem ter todos um nível alto de dívida técnica. Nesse caso, até mesmo os projetos que serão utilizados como uma aproximação da produtividade ótima também terão um alto nível de dívidas técnicas.

### 3.5 O modelo de estimação dos juros em projetos de software livre

Descreveremos uma instância do modelo de estimação dos juros da dívida técnica em projeto de software livre. A seguir apresentaremos, conforme resumido na tabela 3.2, todas as definições necessárias para a criação do modelo concreto voltado para projetos de software livre. Adicionalmente, no capítulo 4 descreveremos um estudo de caso no qual utilizamos essa instância do modelo para a estimação dos juros da dívida técnica em projetos de software livre reais.

### 3.6 Entradas

Consideraremos a contribuição dos colaboradores dos projetos como a entrada do nosso modelo de avaliação da produtividade. Essa característica foi a escolhida para representar a entrada do modelo de análise de produtividade já que a colaboração é o que efetivamente faz com que o projeto



de software livre possa evoluir. O esperado é que quanto mais colaboração um projeto tiver, mais ele estará apto a atingir seus objetivos.

Existe uma particularidade nos projetos de software livre em relação ao que é gasto para que o software seja construído. Nesse tipo de projeto, normalmente, não há uma relação profissional entre os colaboradores e a empresa ou organização interessada no desenvolvimento do software. Em vez disso, essa colaboração é feita voluntariamente, seja porque o colaborador tem interesse nas funcionalidades fornecidas pelo software sendo construído seja porque ele deseja aprender mais a respeito das tecnologias utilizadas, isto é, por qualquer outro motivo.

Não há, no contexto do software livre, normalmente, uma relação que envolva um pagador e um recebedor. Logo, não podemos identificar os gastos que uma organização teve para manter a equipe de funcionários que realizou o projeto já que não existe uma organização e também não existem funcionários. Ainda assim, podemos atribuir esse dois papéis (organização e funcionário), respectivamente, para a comunidade de colaboradores e os colaboradores em si.

Podemos considerar que a comunidade de colaboradores está investindo recursos ao alocar colaboradores para contribuir com um projeto. Mesmo sabendo que essa alocação não parte de uma unidade específica, mas ao invés disso, é realizada por meio da vontade individual de cada colaborador. Com isso, podemos estimar a produtividade de um projeto ao medir o quanto de colaboração esse projeto obteve e o quanto de retorno essa colaboração gerou. Projetos que obtiveram muita colaboração e pouco retorno serão considerados improdutivos, enquanto que projetos com pouca colaboração e muito retorno serão considerados produtivos. A forma de medir qual o retorno que um projeto forneceu à comunidade será descrita na seção 3.7.

Utilizaremos três modelos diferentes para calcular o nível de colaboração de um projeto:

- **Homens/Dia.** Uma das formas comuns de medir esforço é utilizando a quantidade de homens por hora empregados em um projeto. Como no contexto do software livre dificilmente teremos acesso à quantidade de horas que um colaborador contribuiu, utilizamos a quantidade de dias.
- **Quantidade de colaboradores.** Testaremos também um modelo mais simples que não leva em consideração nenhum atributo adicional a respeito do colaborador. Iremos apenas contar a quantidade de pessoas que contribuíram para o projeto e usar isso como a entrada do modelo de produtividade.
- **Assiduidade e qualidade da colaboração.** Nesse modelo consideraremos como a entrada do processo de desenvolvimento de software um índice de colaboração que será calculado por

meio da assiduidade em que um determinado colaborador contribui para um projeto e o seu nível de prestígio dentro da comunidade de software.

Utilizamos mais de um modelo, pois, não sabemos qual deles se mostrará mais adequado de acordo com os dados que utilizaremos no estudo de caso no Capítulo 4.

Os três primeiros modelos são simples e não necessitam de maiores esclarecimentos. Já o último modelo é complexo e por isso o descreveremos em detalhes a seguir.

### 3.6.1 O modelo de assiduidade e qualidade da colaboração

Nesse modelo a colaboração será medida por meio de dois aspectos: qualidade e assiduidade. Essa divisão foi realizada com o objetivo de capturar mais detalhes a respeito do custo da colaboração na evolução dos projetos. É esperado, por exemplo, que utilizando menos tempo, programadores mais experientes darão contribuições mais significativas para projetos complexos do que programadores iniciantes. Dessa forma, o tempo gasto por programadores experientes será mais caro do que o de programadores iniciantes. Esse conceito de custo deve ser observado levando-se em consideração nossa abordagem de pensar no tempo gasto pelos colaboradores como um investimento da comunidade no projeto. Descreveremos qual característica cada um desses aspectos irá representar e como eles serão calculados. Por fim, descreveremos a variável índice de colaboração (IC), ela irá agregar esses dois aspectos em uma única métrica.

#### Qualidade da colaboração

Para estimar a qualidade da colaboração que um projeto recebeu iremos estimar o nível de proficiência do colaborador na linguagem utilizada no projeto. Acreditamos que colaboradores com maior conhecimento nas tecnologias que o projeto utiliza normalmente darão uma contribuição de maior qualidade do que colaboradores com menos conhecimento. O nível de conhecimento de cada colaborador será calculado por meio de uma técnica para classificar colaboradores de acordo com o seu nível de expertise.

Na literatura, pudemos encontrar algumas abordagens para estimar o nível de expertise de um indivíduo a respeito de um assunto:

- Hupa et al.[[HRWD10](#)] sugerem uma abordagem baseada em três dimensões, para avaliar a habilidades de um colaborador. Essas dimensões são o conhecimento, a confiança e a rede de relacionamento. Os autores então propõem um modelo que utiliza dados a respeito dessas

três dimensões. Esse modelo é utilizado para calcular uma estimativa para o desempenho de um time formado pelos colaboradores avaliados.

- Outra abordagem, dessa vez focada no contexto acadêmico, é o trabalho de Kalaiselvi et al. [KB13]. Nele os autores criaram uma ontologia para identificar a principal área de conhecimento dos membros de uma universidade e estimar o nível de conhecimento desses membros a respeito dessa área.
- Outras contribuições relevantes para esse problema são os trabalhos de Mockus et al. [MH02] e Shira et al. [SL11]. Nesses dois trabalhos, os autores criam um modelo e uma ferramenta para encontrar especialistas em repositórios de software. Além de permitir a procura por assunto, essas ferramentas também possibilitam que os usuários possam encontrar colaboradores que sejam especialistas até mesmo em um bloco específico do código de um projeto de software.
- No contexto das plataformas de desenvolvimento que também possuem funcionalidades de interação social, como é o caso do GitHub e StackOverflow, existem os trabalhos de Huang et al. [HYW<sup>+</sup>17], Munger et al. [MZ14], Pedro et al. [SPK13] e Robber et al. [RR13]. Nesses trabalhos são sugeridas abordagens que consideram as especificidades de cada uma dessas plataformas.

Nesta pesquisa utilizaremos, para estimar o nível de expertise dos colaboradores de um projeto, a abordagem *GEMiner* que foi sugerida por Mo et al. [MSHZ15]. Essa abordagem foi escolhida, dentre as outras disponíveis, pelas seguintes razões:

- **É uma abordagem focada na classificação de programadores.** Algumas das outras abordagens encontradas na literatura são gerais e podem ser utilizadas para encontrar especialistas em diferentes domínios de atuação. Entretanto, elas não foram criadas e avaliadas levando em consideração as particularidades da área de desenvolvimento de software. Com isso, pode ser que determinadas características dessa área possam fazer com que essas abordagens produzam resultados incorretos.
- **Apresenta uma análise comparativa com trabalhos anteriores.** Na pesquisa desenvolvida por Mo et al. [MSHZ15] foi realizada uma série de experimentos para avaliar a eficácia do modelo proposto. Em uma dessas avaliações, foi realizada uma comparação entre o resultado gerado pela aplicação do modelo e uma lista oficial com os programadores mais influentes da linguagem Javascript. A comparação mostrou que houve um alto número de intersecções

entre a lista oficial e o resultado gerado pelo modelo. Com isso, os autores puderam concluir que a abordagem sugerida por eles apresenta um nível satisfatório de precisão.

- **A estratégia foi criada e validada considerando as particularidades da plataforma GitHub.** Isso nos garantiu que a aplicação do GEMiner seria possível já que nosso estudo de caso também iria utilizar dados provenientes do GitHub. Esse procedimento foi importante na escolha dessa proposta pois algumas das outras exigiam dados que não estavam disponíveis no GitHub.
- **Abordagem simples.** Por ser baseada em um algoritmo muito conhecido, o PageRank [PBMW99], pudemos compreender e aplicar essa abordagem de forma rápida. Além disso, os modelos matemáticos utilizados pelos autores são intuitivos e bem documentados.
- **Uma descrição detalhada a respeito dos modelos matemáticos utilizados.** Em algumas das outras abordagens possíveis para a estimação da expertise, o texto da pesquisa não era claro a respeito dos passos necessários para aplicar o modelo. Em algumas abordagens alguns cálculos não foram descritos com um nível de detalhamento suficiente ou até mesmo alguns passos para a aplicação não foram devidamente descritos. Entretanto, isso não ocorreu com o GEMiner. Os autores descreveram com detalhes cada um dos cálculos necessários. Inclusive fornecendo as fórmulas matemáticas e exemplos de como aplicá-las. Além disso, houve um nível de detalhamento satisfatório durante a apresentação dos experimentos realizados pelos autores. Esse fato nos permitiu adaptar e implementar a estratégia de uma forma muito próxima da original, o que se torna importante pois, caso tivéssemos utilizado uma abordagem muito abstrata, não poderíamos nos respaldar nas validações realizadas pelos autores já que nossa implementação poderia ter sido significativamente diferente da implementação que foi realizada e validada pelos autores.
- **Resolve problemas encontrados em abordagens anteriores.** Os autores tiveram o cuidado de analisar os trabalhos anteriores e identificar seus problemas. Uma das preocupações foi a de não considerar um especialista apenas alguém que possua prestígio na rede de colaboradores. Essa abordagem pode acontecer porque o indivíduo possui algum atributo que o faça ser bem visto pelos outros colaboradores. Entretanto, esse atributo não tem necessariamente alguma relação com suas habilidades técnicas. Esse é o caso do perfil do ex-presidente americano Barak Obama na plataforma GitHub. Esse perfil é seguido e bem avaliado por uma grande quantidade de pessoas. Entretanto, o número de contribuições feito por ele é muito

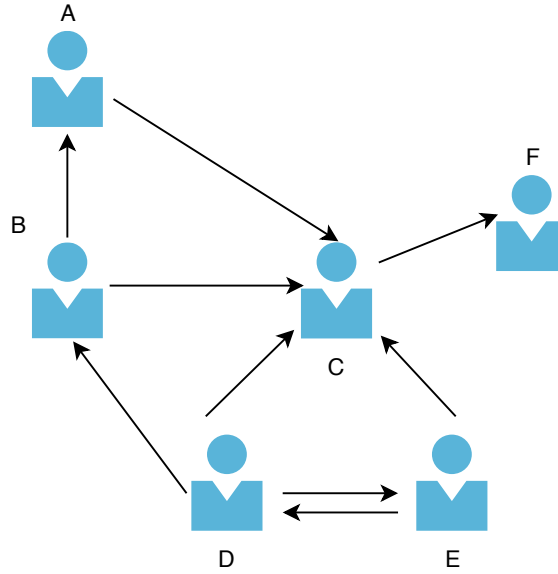
pequeno. O GEMiner consegue evitar que perfis como esse sejam incorretamente classificados como especialistas.

Conforme dito anteriormente, o GEMiner é baseado no algoritmo PageRank, popularmente conhecido como o algoritmo do Google. O objetivo desse algoritmo é criar uma classificação baseada em uma rede de relacionamentos. No contexto das pesquisas de páginas web, esse relacionamento é formado por links. Uma página  $A$  está relacionada com uma página  $B$ , se existe em  $A$  um link que aponte para  $B$ . Assim, quanto mais links apontarem para uma determinada página, maior a chance de que essa página seja relevante e deva ser incluída nos resultados da pesquisa.

Uma das funcionalidades de interação social presentes no GitHub é a possibilidade de um colaborador poder seguir outros colaboradores como também ser seguido. Podemos verificar por meio da Figura 3.2 que as relações entre os colaboradores podem ser modeladas como um grafo.

A relevância de um determinado colaborador na comunidade é medida pela quantidade de pessoas que o seguem. Se um colaborador tem muitos seguidores, isso é um indício de que ele seja um especialista. Entretanto, o PageRank não realiza apenas uma contagem das relações individuais entre os elementos do grafo. Em vez disso, todo o contexto do grafo é considerado. Por exemplo, na Figura 3.2 tanto o colaborador  $D$  quanto o colaborador  $F$  possuem apenas um seguidor. Entretanto, o colaborador  $F$  é seguido pelo colaborador  $C$  e esse colaborador é seguido por outros quatro colaboradores. Logo, apesar do número de seguidores de  $D$  e  $F$  ser igual, o colaborador  $F$  será considerado mais relevante do que o colaborador  $D$  pois ele é seguido pelo colaborador  $C$  que é o colaborador mais relevante desse conjunto.

Outra característica importante do PageRank é a de que ele leva em consideração a quantidade de relações de saída de cada elemento. Por exemplo, o colaborador  $C$  da Figura 3.2 segue apenas o colaborador  $F$ . Enquanto isso, o colaborador  $E$  segue os colaboradores  $C$  e  $D$ . No momento de calcular a relevância dos colaboradores  $C$  e  $D$ , adicionando a eles a relevância de  $E$ , o algoritmo dividirá por dois a relevância que o colaborador  $E$  possui. Por fim, para evitar problemas durante o cálculo do grafo ao encontrar ciclos como o que vemos entre  $D$  e  $E$ , foi utilizada uma adaptação sugerida por Richardson et al. [RD02]. Nela, em vez de escolher um nó inicial, realizar os cálculos necessários e depois navegar para os vizinhos até que haja uma convergência, o algoritmo aleatoriamente pode, a cada passo, ir para um vizinho ou escolher qualquer outro nó do grafo. Além de evitar ciclos infinitos como aconteceriam entre os nós  $D$  e  $E$ , essa versão do algoritmo também pode ser utilizada em grafos desconexos.



**Figura 3.2:** As relações de seguir e poder ser seguido no GitHub. Adaptado de [MSHZ15].

A equação 3.5 é a base do algoritmo PageRank. Como pode ser visto, trata-se de uma equação recursiva. Isso acontece pois para se calcular a relevância de um colaborador é necessário calcular a relevância de todos os colaboradores que o seguem.

A primeira parte da equação inicializa o *pagerank* de cada elemento ao dividir o número 1 -  $d$  pela quantidade de colaboradores em todo o grafo sendo analisado. Sendo que  $d$  é o chamado *dumping factor* e indica a probabilidade de que no próximo passo o algoritmo calcule a relevância de um nó adjacente ao atual ou de um nó qualquer aleatório do grafo. O valor sugerido para  $d$  pelos autores é de 0.85. Os vértices do grafo analisado são representados pelas letras  $u$  e  $v$ . Sendo assim, a equação representa o cálculo da relevância do vértice  $v$  e, para isso, realiza uma soma da relevância de todos os outros vértices  $u$  de tal forma que  $u$  seja  $v$ . O elemento  $L(u)$  indica quantos outros colaboradores o colaborador  $u$  também segue.

$$PR(v) = \frac{1 - d}{|V|} + d * \sum_{(u,v) \in E} \frac{PR(u)}{L(u)} \quad (3.5)$$

Além de considerar o relacionamento “seguir” e “ser seguido”, os autores consideram outros aspectos para avaliar a expertise de um colaborador. Eles nomeiam essa abordagem de *Multi-Source PageRank* já que a classificação é realizada por meio de múltiplos atributos. O outro aspecto utilizado para avaliar a expertise de um colaborador é o nível de popularidade dos projetos que ele contribuiu. Isso é feito de duas formas, a primeira é analisando quais colaboradores estão observando(*watching*) o projeto. Quanto mais colaboradores relevantes observam um determinado projeto, maior é a relevância dele. A segunda forma de avaliar a relevância de um projeto é feita

medindo a relevância dos colaboradores que contribuíram com o projeto. Essas duas avaliações são realizadas por meio das equações 3.6 e 3.7 respectivamente. Na equação 3.6, o conjunto  $E_W$  representa as relações de observar entre colaboradores e projetos. Logo, nessa equação, são somados os *pageranks* de todos os colaboradores  $u$  que observam o projeto  $r$ . Além disso,  $L_W(u)$  representa a quantidade de projetos que o colaborador  $u$  observa. Lembrando que essa divisão por  $L_W(u)$  é realizada para que um colaborador que observa muitos projetos não afete incorretamente o resultado final. Na equação 3.7 o conjunto  $r(U)$  representa todos os colaboradores que contribuíram com o projeto  $r$ . Além disso,  $L_C(u)$  representa a quantidade de projetos em que o colaborador  $u$  já contribuiu.

$$PR(r) = \sum_{(u,r) \in E_W} \frac{PR(u)}{L_W(u)} \quad (3.6)$$

$$PR(r) = PR(r) + \sum_{u \in r(U)} \frac{PR(u)}{L_C(u)} \quad (3.7)$$

Além dos já apresentados, os autores acrescentam mais dois atributos para calcular o *pagerank* de um colaborador: o *pagerank* dos colaboradores no qual ele já trabalhou em conjunto e o *pagerank* dos projetos no qual o colaborador trabalhou. Os autores defendem que, de acordo com suas observações, colaboradores que contribuem frequentemente em projetos com outros colaboradores relevantes, provavelmente sejam também relevantes. Além disso, colaboradores que contribuem frequentemente em projetos relevantes, também provavelmente sejam relevantes para a comunidade. Para incluir esses dois aspectos no cálculo do *pagerank* dos colaboradores foram utilizadas as equações 3.8 e 3.9. Na equação 3.8, o grupo  $E_C$  contém os pares de colaboradores que já contribuíram no mesmo projeto. O número  $L_C(u_2)$  é igual à quantidade de projetos em que o colaborador  $u_2$  contribuiu. Os grupos  $u_1(R)$  e  $u_2(R)$  representam, respectivamente, todos os projetos em que o colaborador  $u_1$  contribuiu e todos os projetos em que o colaborador  $u_2$  contribuiu. Logo, a equação 3.8 é utilizada para adicionar ao *pagerank* do colaborador  $u_1$  o *pagerank* de todos os colaboradores no qual o colaborador  $u_1$  tenha atuado em conjunto no mesmo projeto. Já na equação 3.9, o *pagerank* do colaborador  $u$  é somado ao *pagerank* de todos os projetos no qual o colaborador  $u$  tenha atuado.

$$PR(u_1) = PR(u_1) + \sum_{(u_1, u_2) \in E_C} PR(u_2) * \frac{|u_1(R) \cap u_2(R)|}{L_C(u_2)} \quad (3.8)$$

$$PR(u) = PR(u) + \sum_{r \in u(R)} \frac{PR(r)}{L_C(r)} \quad (3.9)$$

Após a aplicação de todas essas fórmulas matemáticas, é calculado o *pagerank* de cada colaborador. Quanto maior o *pagerank*, maior o nível de relevância do colaborador dentro da comunidade de desenvolvimento de software. Porém, conforme dito anteriormente, isso não garante que colaboradores com um alto *pagerank* sejam necessariamente especialistas em alguma tecnologia. Além disso, é preciso avaliar o volume de contribuição real que um colaborador realizou. No GEMiner isso é realizado observando a quantidade de linhas de código alteradas ou adicionadas pelo colaborador. Porém, em nossa pesquisa, utilizaremos uma medida alternativa. Em vez da quantidade de linhas de código alteradas, utilizaremos a quantidade média diária de *commits* que cada colaborador realizou. A essa medida demos o nome de assiduidade. Essa pequena alteração em relação à abordagem original do GEMiner foi realizada devido à dificuldade de calcular a quantidade de linhas alteradas ou modificadas em um conjunto grande de projetos. Mais detalhes a respeito dessa alteração e de como implementamos o GEMiner serão fornecidos no estudo de caso apresentado no Capítulo 4.

### Assiduidade dos colaboradores

Para medir a assiduidade de um colaborador vamos calcular qual a média diária de contribuições e compará-la com a média geral de todos os colaboradores. Essas contribuições serão calculadas por meio de uma contagem dos *commits* que esse colaborador realizou. De acordo com Loeliger et al [LM12], um *commit* é uma alteração nos arquivos de um projeto. Essa alteração pode ser composta pela inclusão e remoção de dados ou arquivos. Além disso, um *commit* contém informações a respeito do seu autor. Isso permite rastrear o histórico de um projeto e identificar quem foi responsável por cada uma das mudanças. Utilizaremos a frequência média de *commits* que um colaborador realiza em um projeto como base para estimar a assiduidade de um colaborador em relação a um projeto. A assiduidade de um colaborador será calculada pela distância entre a sua média de *commits* e a média geral de todos os colaboradores daquele projeto.

### Índice de colaboração

O índice de colaboração( $I_c(r)$ ) será o valor numérico final a ser utilizado como entrada para o modelo de análise de produtividade dos projetos. Esse índice será calculado para cada projeto  $r$  de acordo com a equação 5.1. A função  $A(u)$  representa a assiduidade do colaborador  $u$  enquanto



a função  $Q(u)$  representa a qualidade do colaborador  $u$ . O conjunto  $u(R)$  representa todos os colaboradores que realizaram alguma contribuição no projeto  $r$ .

$$I_c(r) = \sum_{u \in u(R)} A(u) * Q(u) \quad (3.10)$$

## 3.7 Saídas

Conforme descrito na seção 3.4.2 existe uma restrição quanto à escolha das saídas que serão utilizadas no modelo de produtividade: elas precisam estar estatisticamente correlacionadas com as entradas. A única forma de garantir isso, é verificando a significância dessa correlação. Essa verificação só pode ser realizada se utilizando os dados reais dos projetos que serão analisados. Com isso, a definição definitiva das saídas não pode ser feita antes que os dados tenham sido obtidos. Entretanto, listaremos algumas das métricas candidatas a serem utilizadas. Essas métricas foram escolhidas por intuitivamente terem relação com as entradas. Porém, essa relação só será devidamente verificada no estudo de caso realizado no Capítulo 4.

### 3.7.1 Linhas de código

A primeira saída a ser utilizada no modelo de produtividade será a quantidade de linhas de código. Essa métrica é uma das mais utilizadas, tanto no âmbito teórico quanto no prático, para representar o tamanho do software. No contexto da pesquisa em engenharia de software, ela tem sido utilizada extensivamente como uma preditora do esforço que foi ou será gasto para a criação do software. Essa métrica foi uma das escolhidas para representar o tamanho no contexto dos softwares livres por algumas razões. A primeira delas é o aspecto prático: ela pode ser calculada utilizando métodos automáticos de contagem. Essa característica é especialmente relevante no contexto desta pesquisa já que iremos analisar uma grande quantidade de projetos. Uma métrica que exigisse algum tipo de intervenção manual seria naturalmente inviável. Esse seria o caso se usássemos uma métrica como os pontos por função. Não teríamos como medi-la automaticamente. Ao invés disso, teríamos de usar alguma abordagem qualitativa e isso inviabilizaria a análise de uma grande quantidade de projetos.

Como pode imaginar-se, a contagem de linhas de código é uma métrica longe de ser perfeita para avaliar o tamanho do software. Baht et al. [BTP<sup>+</sup>12] descreve algumas das desvantagens dessa métrica:

- Elas não conseguem captar plenamente o esforço realizado pelos desenvolvimento. De acordo

com Hoffman[Hof00], apenas por volta de 35% do esforço realizado pelos desenvolvedores é convertido diretamente em linhas de código.

- Elas não estão necessariamente relacionadas com as funcionalidades oferecidas pelo software. Por exemplo, muito código pode ser desenvolvido para a realização de apenas uma funcionalidade. Logo, esse comportamento pode influenciar negativamente a utilização das linhas de código em uma avaliação de produtividade.
- Entre os desenvolvedores podem existir costumes sintáticos distintos fazendo com que haja uma divergência na quantidade de linhas de código utilizadas para escrever uma mesma parte do software. Algumas dessas divergências podem ser amenizadas pela estratégia utilizada para contar as linhas de código. Podem ser realizadas alterações no código original antes de contar a quantidade de linhas. Essas alterações obviamente não devem alterar a lógica do programa, mas podem servir para remover essas diferenças sintáticas que prejudiquem a contagem. Ainda assim, boa parte da literatura indica que a quantidade de linhas de código nunca deve ser a única métrica utilizada para avaliar a produtividade individual de algum desenvolvedor.

Apesar dos problemas apresentados em utilizar as linhas de código como uma métrica de tamanho, também podemos encontrar na literatura pesquisas que utilizaram essa métrica de forma bem sucedida[MKCC03, FBHK05, SFP12, TLB<sup>+</sup>09]. Analisando essas pesquisas, podemos encontrar a indicação de cuidados importantes que devem ser considerados ao utilizar as linhas de código como uma métrica de tamanho:

- Essa métrica não deve ser utilizada para comparar linguagens diferentes. [Ros97, Par92].
- Não existe uma padronização amplamente aceita sobre como essa métrica deve ser calculada. Apesar da existência de esforços como o padrão criado pelo instituto de software da universidade Carnegie-Mellon[Par92]. Essa falta de um padrão definitivo acontece pelas diferenças significativas entre as linguagens de programação existentes e o fato de que novas linguagens, com sintaxes diferentes, são criadas constantemente.

Uma outra alternativa seria medir o tamanho do software utilizando a quantidade de arquivos. Inclusive realizaremos a medição desse dado durante o nosso estudo de caso. Porém, estudos recentes mostram que não há diferenças significativas entre essas duas medidas. Um exemplo é a pesquisa realizada por Herraiz et al.[HRGB<sup>+</sup>06]. Nelas os autores mostram, por meio da análise empírica de projetos de software livre, que o padrão de crescimento desses projetos é o mesmo, independente

da métrica utilizada. Ou seja, medindo o tamanho dos projetos em linhas de código ou número de arquivo leva a resultados muito semelhantes. Por isso, elencaremos apenas a quantidade de linhas de código em vez de utilizarmos uma agregação das duas medidas.

### 3.7.2 *Pull Requests*

A base para a filosofia de software livre é a contribuição voluntária. Essa contribuição, no contexto dos software livre, tem sido realizada com o auxílio de repositórios de software como o GitHub, BitBucket, GitLab, SourceForge, e Launchpad. Esses repositórios normalmente utilizam um modelo de controle de versão distribuído. Nesse modelo, o software não fica armazenado em um único e exclusivo repositório central. Ao invés disso, cada colaborador possui uma versão dos arquivos para o controle de versão. Esses arquivos locais podem, inclusive, ser a base para um novo repositório que evolua o projeto de uma forma diferente da realizada no repositório original. Porém, para inserir, no repositório original, as mudanças realizadas em um repositório paralelo, é utilizado um recurso chamado de *pull request*. Nesse modelo as mudanças são primeiro avaliadas antes de serem incluídas definitivamente no projeto. Essa avaliação pode consistir na verificação automática de conformidade do novo código com regras previamente definidas como também a execução automática de testes de software. Além disso, dentro de um *pull request*, normalmente é possível discutir essas mudanças. Essa discussão pode envolver uma avaliação funcional que verifique a efetiva necessidade de a mudança ser feita como também pode envolver discussões técnicas como o impacto da mudança no desenho e arquitetura do software. Ao final dessa discussão, a mudança pode ser aprovada ou rejeitada. Quanto mais *pull request* um projeto tem, maior o nível de interesse da comunidade em contribuir com o projeto. Acreditamos que com isso o projeto está atingindo um dos objetivos do software livre: maior interesse da comunidade em colaborar. Ou seja, elencamos a quantidade de *pull requests* como uma possível medida de saída pelo qual faz sentido considerar a constância em que colaboradores externos conseguem contribuir para um projeto como um aspecto da evolução do projeto. Quanto mais pessoas interessadas em contribuir, maior o projeto.

### 3.7.3 Popularidade

Conforme expresse anteriormente, há o que se questionar na relação entre a quantidade de linhas de código de um software e o número de funcionalidades que ele disponibiliza para seus usuários e outros interessados. Pode haver uma diferença significativa entre esses dois aspectos. Logo, faz sentido incluir em nosso modelo de avaliação de produtividade, alguma métrica que seja utilizada na tentativa de capturar a quantidade ou valor das funcionalidades que um software fornece aos

seus usuários. Por isso, para nosso modelo específico, inserimos a popularidade do projeto como uma possível métrica de saída para o modelo de estimação de produtividade. Essa popularidade será avaliada utilizando as funcionalidades presentes no repositório de software sendo utilizado. No caso do GiiHub, que é o repositório que utilizaremos no nosso estudo de caso do Capítulo 4, são fornecidas duas ferramentas para que um usuário possa indicar seus interesses ou sua aprovação em relação a um projeto: estrelas e *watch*. Ao dar uma estrela para um projeto o usuário indica que acha aquele projeto relevante e que gostaria, de alguma forma, marcá-lo para tê-lo associado a sua conta. Todos os projetos marcados com estrelas podem ser consultados em uma página da conta do usuário. Ao dar um *watch* em um projeto, o usuário irá receber notificações a respeito do projeto. Essas notificações incluem dentre outras, a liberação de uma nova release, a criação de *issues* e seus comentários e a criação de *pull requests*.

### 3.8 Método de agrupamento dos projetos semelhantes

No modelo concreto de estimação dos juros da dívida técnica em projetos de software livre utilizamos o LDA (*Latent Dirichlet Allocation*) para agrupar os projetos semelhantes. Utilizaremos essa técnica por dois motivos. O primeiro é o fato de que grande parte dos software livres possuem algum documento que descreve as suas funcionalidades. Esse documento pode ser usado pelo LDA para estimar qual o assunto do texto e consequentemente à qual domínio o software pertence. O segundo motivo é a existência de experimentos na literatura que utilizaram o LDA de forma satisfatória para a categorização de projetos de software livre. Um exemplo que foi utilizado como uma das bases para a implementação realizada no Capítulo 4 é o trabalho de Ray. et al. [RPF14]. Nessa pesquisa os autores realizam uma extensa mineração de dados para analisar as relações entre as linguagens de programação e o número de defeitos nos projetos de software livre. Assim como nesta pesquisa, os autores tiveram a necessidade de apenas comparar projetos que fossem de um mesmo domínio de aplicação já que o domínio poderia influenciar o número de defeitos dos projetos. Por isso, eles aplicaram o LDA para categorizar os projetos de acordo com o domínio de aplicação e, assim, eliminar essa possibilidade de interferência nos resultados.

### 3.9 Método de particionamento dos grupos de projetos

Conforme assinalado anteriormente, só podemos definir qual o limiar entre um projeto considerado de produtividade ótima ou produtividade afetada, após termos obtidos os dados dos projetos.

Essa etapa de definição do método de particionamento dos grupos para o modelo concreto será realizada apenas no estudo de caso do capítulo Capítulo 4.

## 3.10 Conclusões

Neste capítulo propusemos um modelo para a estimação dos juros da dívida técnica em projetos de desenvolvimento de software. Esses modelos são baseados no conceito de que os juros são a diminuição causada pela existência da dívida técnica, da produtividade. Além do modelo mais abstrato, foram fornecidos detalhes de quais definições são necessárias para que esse modelo possa ser aplicado. Por fim, descrevemos a aplicação do modelo abstrato para estimação dos juros em projetos de software livre.



## Capítulo 4

# Planejamento do estudo de caso

Neste capítulo descreveremos o planejamento realizado para a execução de um estudo de caso múltiplo. Por meio dele, observaremos a adequação do modelo para a estimação dos juros em projetos reais hospedados em uma plataforma pública de versionamento de software. Descreveremos as etapas desse estudo de caso e quais ferramentas foram utilizadas para realizá-las.

### 4.1 Introdução

De acordo com Wohlin et al.[WHH03], um estudo de caso é um método de pesquisa em que são utilizados dados de situações reais. Diferentemente de um experimento, no estudo de caso o pesquisador tem menos ou nenhum controle sobre os acontecimentos. No contexto de projetos de software, um estudo de caso tem como objetivo monitorar as atividades realizadas durante o projeto. Segundo Yin, Robert K[Yin11], existem dois tipos de estudo de caso: os únicos e os múltiplos. Os estudos de casos únicos são aqueles em que os dados são obtidos de um único “caso”, que pode ser um projeto, uma empresa, um indivíduo ou qualquer outra unidade que seja apropriada para o estudo do objeto da pesquisa. Por outro lado, um estudo de caso múltiplo envolve diferentes unidades de interesse. Ou seja, são consideradas diversas empresas, projetos, indivíduos, etc. A realização de casos múltiplos é mais indicada já que ela facilita a generalização dos resultados obtidos por fornecerem múltiplas visões a respeito do objeto de pesquisa. Tendo isso em vista, para avaliarmos o modelo de estimação do comportamento dos juros da dívida técnica descrito no capítulo 3, realizaremos um estudo de caso múltiplo envolvendo 1814 projetos armazenados em um repositório de software.

O objetivo deste estudo de caso será avaliar a consistência do modelo criado para estimar a dívida técnica em projetos de software livre. Em outras palavras, vamos avaliar a aplicação de uma

instância do modelo de estimação. Essa instância foi criada observando as particularidades dos projetos de software livre e também observando as limitação nos dados que temos disponíveis da plataforma GitHub.

## 4.2 Dados do estudo de caso

Conforme argumentado por Brown, N et al.[[BCG<sup>+</sup>10](#)], há uma predominância na utilização de métodos qualitativos nas pesquisas a respeito da dívida técnica e isso pode levar a conclusões baseadas em intuições atraentes, porém não necessariamente corretas. Essas conclusões incorretas podem ser explicadas pela existência de dados obtidos por meio de declarações imprecisas. Essas declarações podem ser dadas pela dificuldade que as pessoas envolvidas com os projetos de software têm em assumir suas deficiências ou falhas. Por isso, Brown, N et al.[[BCG<sup>+</sup>10](#)] indicam a necessidade da criação de modelos baseados em abordagens quantitativas para viabilizar a criação de rigorosas técnicas de gerenciamento da dívida técnica que possam ser aplicadas em projetos de larga escala.

De acordo com Creswell[[WC16](#)], uma pesquisa quantitativa tem como foco principal a quantificação de relacionamentos ou a comparação de um ou mais grupos. Adicionalmente, conforme explicado por Wohlin et al.[[WHH03](#)], as pesquisas quantitativas são apropriadas quando existe a necessidade de testar o efeito de alguma atividade ou manipulação. Segundo Wang et al. [[WWAL13](#)], a abordagem quantitativa disponibiliza uma série de ferramentas para descobrir, com um determinado nível de confiança, a verdade a respeito de um objeto de estudo. O que diferencia, substancialmente, uma pesquisa quantitativa de outra qualitativa, é seu grau de objetividade a respeito dos fenômenos avaliados. Na abordagem quantitativa há pouco ou nenhuma margem para que haja, durante o processo de coleta de dados, uma interpretação dos indivíduos relacionados com o evento analisado. Ao invés disso, são utilizados apenas fatos que não dependem de sensações, reflexões, intuições ou qualquer outra forma subjetiva de avaliação. Isso faz com que os dados numéricos sejam predominantes em pesquisas quantitativas. Essa característica permite que, utilizando poucos recursos, um grande volume de dados possa ser coletado e analisado. Amaratunga et al. [[ABSN02](#)] lista algumas das principais características de uma pesquisa quantitativa:

- Permitem a replicação e a comparação de resultados.
- Assegura a independência entre o observador e o objeto observado.
- Proporciona maior objetividade para a determinação da confiabilidade e a validade dos resultados.



- Enfatiza a necessidade de formular hipóteses para subseqüentes verificações.

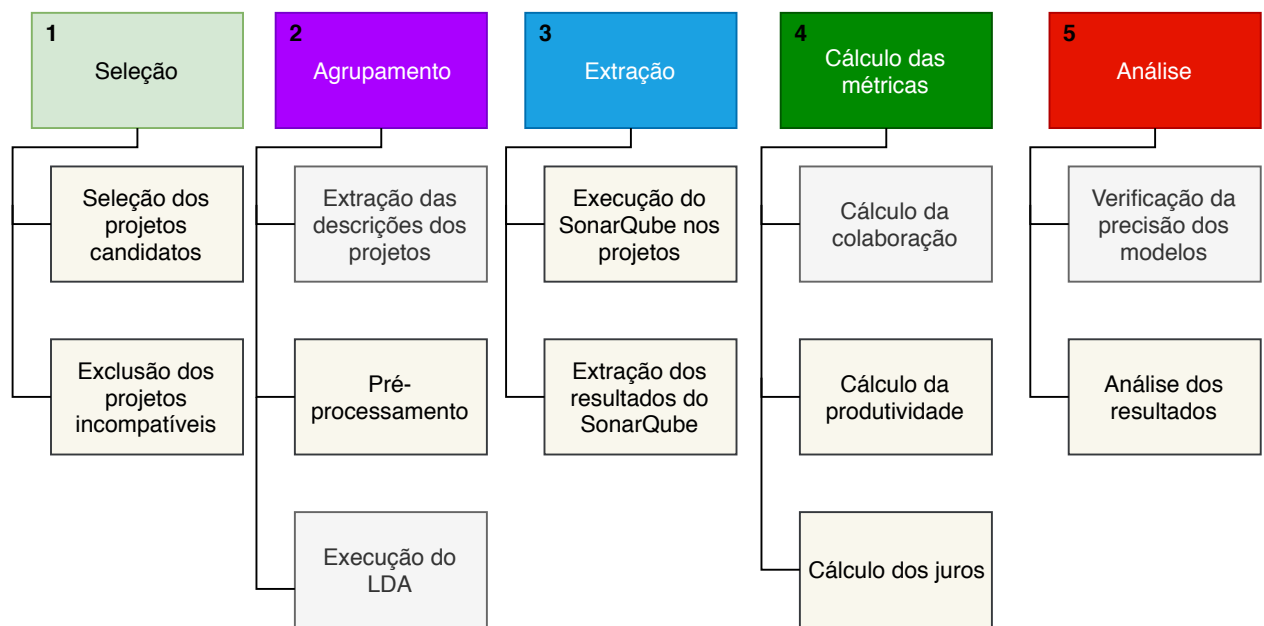
Por essas razões, obtemos os dados utilizados neste estudo de caso por meio de técnicas quantitativas oriundas da área de mineração de repositórios.

#### 4.2.1 Mineração de repositórios

Plataformas como GitHub, SourceForge e Bitbucket ganharam popularidade devido à evolução nas ferramentas de controle de versão e ao reconhecimento, por parte da comunidade de software, das vantagens de utilizarem-se ferramentas de colaboração. Além de ferramentas para armazenamento e organização do código, essas plataformas fornecem uma variedade de facilidades para a interação entre os colaboradores dos projetos. Com isso, essas ferramentas acumularam uma quantidade imensa de dados sobre os projetos hospedados e a forma como colaboradores interagem com esses projetos. Esses dados têm sido reconhecidos como altamente relevantes para as pesquisas quantitativas na área de engenharia de software. Foi chamado de mineração de repositórios de software [BL08] o conjunto de técnicas de investigação que utilizam informações provenientes de repositórios de software. Como exemplos de estudos que exploram essas técnicas, podemos citar aqueles envolvendo a predição de defeitos [Wan14], propagação de mudanças [WRS<sup>+</sup>15] e confiabilidade do software [dF15]. Neste trabalho, utilizaremos a mineração de repositórios de software para extrairmos os dados para o estudo de caso.

### 4.3 Etapas do estudo de caso

O estudo de caso será realizado em cinco etapas conforme ilustrado na Figura 4.1.



**Figura 4.1:** Resumo das etapas do estudo de caso.

A seguir forneceremos um breve resumo a respeito das etapas e atividades do estudo de caso:

1. **Seleção:** Criação de uma lista com todos os projetos que serão analisados no estudo de caso.
  - (a) *Seleção dos projetos candidatos:* Inclusão de todos os projetos que atendam a alguns critérios básicos como a linguagem de programação utilizada.
  - (b) *Exclusão dos projetos incompatíveis:* Remoção de projetos por meio de heurísticas criadas para evitar a análise de repositórios que, na verdade, não são projetos de software ou que não possam ser analisados por algum impedimento operacional.
2. **Agrupamento:** Criação de grupos de projetos que sejam de um mesmo domínio de aplicação como gerenciadores de banco de dados, sistemas operacionais, jogos e bibliotecas. O agrupamento será realizado por meio de uma técnica de processamento de linguagem natural chamada *Latent Dirichlet allocation*(LDA)[BNJ02].
  - (a) *Extração das descrições dos projetos:* É necessário localizar e extrair a descrição do projeto para que ela possa ser utilizada no LDA.
  - (b) *Pré-processamento:* São realizadas as diversas manipulações necessárias para que o LDA possa ser aplicado.
  - (c) *Execução do LDA:* O algoritmo do LDA é executado na descrição pré-processada de cada projeto.

3. **Extração:** Aplicação da ferramenta SonarQube[CP13] para extração de diversas métricas comuns dos projetos.

- (a) *Execução do SonarQube nos projetos:* A ferramenta é efetivamente executada para analisar o código-fonte de cada um dos projetos da pesquisa.
- (b) *Extração dos resultados do SonarQube:* As métricas relevantes para o estudo de caso são obtidas do resultado da aplicação do SonarQube.

4. **Cálculo das métricas:** Cálculo das métricas específicas do estudo de caso.

- (a) *Cálculo da colaboração:* Aplicação de modelos para quantificar o volume e qualidade da colaboração de cada um dos projetos analisados.
- (b) *Cálculo da produtividade:* Aplicação do modelo de produtividade descrito na sessão 3.2.
- (c) *Cálculo dos juros:* Cálculo de uma estimativa dos juros da dívida técnica para os projetos.

5. **Análise**

- (a) *Verificação da precisão dos modelos:* Realização de uma breve análise estatística dos modelos de produtividade e colaboração.
- (b) *Análise dos resultados:* Discussão e análise dos resultados obtidos.

## 4.4 Ferramenta de automatização do estudo de caso: GitResearch

Para automatizar uma parte das atividades realizadas neste estudo de caso foi construída uma ferramenta chamada GitResearch. Essa ferramenta foi desenvolvida na linguagem Java e está disponível em <https://github.com/Jandisson/git-research>. Ela foi desenvolvida por duas razões: facilitar a manipulação de uma grande quantidade de projetos em um tempo pequeno e permitir que os resultados obtidos nesta pesquisa possam ser reproduzidos mais facilmente. Apesar de ter sido desenvolvida especificamente para esta pesquisa, ela foi planejada de forma que possa ser utilizada, com as devidas alterações, em outras pesquisas que envolvam a extração e o processamento de dados de repositórios de software como o GitHub.

Um dos requisitos almejados, durante a concepção do GitResearch, foi a possibilidade de processar uma grande quantidade de dados utilizando de forma satisfatória o hardware disponível. Isso foi alcançado ao realizar esse processamento de uma forma paralela. Ou seja, a ferramenta foi planejada de forma que as atividades em cada etapa da pesquisa pudessem ser realizadas em diversas linhas de execução. Além disso, houve a preocupação em criar uma arquitetura flexível

que facilitasse a alteração das funcionalidades existentes e adição de novas funcionalidades. Para alcançar todos esses objetivos, escolhemos, como a base para o GitResearch, o framework Spring Batch[CTGB11]. Utilizando esse framework vamos executar a tarefa de extração e processamento dos dados como um processo batch. De acordo com Martin. et al. [MSD<sup>+</sup>15], um processamento batch acontece quando casos semelhantes são processados simultaneamente sem a intervenção de um usuário. Escolhemos esse modelo de processamento pois ele se adequa as nossas necessidades de desempenho e condiz com as tarefas que serão realizadas no estudo de caso.

#### 4.4.1 Arquitetura

O GitResearch é baseado na arquitetura do Spring Batch. Um resumo dessa arquitetura é apresentado na Figura 4.2. Um *Job* representa um processo batch. Cada *Job* possui um conjunto, que pode ser ou não ordenado, de *Steps* que por sua vez são as atividades que devem ser realizadas durante o processamento. Tanto um *Job* quanto um *Step* utilizam um repositório de dados chamado de *JobRepository*. Esse repositório armazena, principalmente, dados de controle a respeito de cada execução de um *Job*. Além disso, o repositório pode ser usado pelos *Steps* para armazenar quaisquer informações que sejam necessárias para realizar o processamento. Cada *Step* é formado por três objetos: *ItemReader*, *ItemProcessor*, *ItemWriter*. Esses três objetos são responsáveis respectivamente por ler, processar e armazenar cada item do processo batch. Cada item será um dos projetos a serem processados neste estudo de caso.

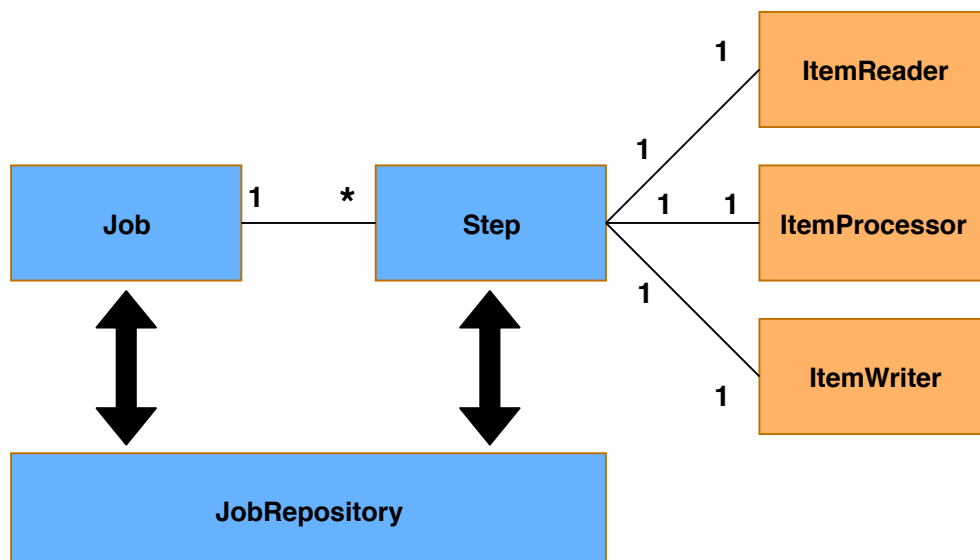


Figura 4.2: Arquitetura do framework Spring Batch. Adaptada de [Min11].

Os passos realizados para criar o GitResearch, tendo como base o SpringBatch, foram os seguintes:

1. **Configuração do JobRepository.** Pode ser usado qualquer banco de dados que tenha suporte ao JDBC[Ree00]. Em nosso estudo de caso, utilizamos um banco de dados de código livre chamado Derby[Mei10]. Ele foi escolhido por ser de fácil configuração e não requerer instalação. O banco de dados e gerenciador do banco de dados são armazenados em um único arquivo. Essa ação facilitará a reprodução do estudo de caso e, consequentemente, a validação dos resultados obtidos.
2. **Criação e configuração do Job.** A configuração de um *Job* consiste em indicar quais *Steps* serão executadas e como essa execução deve ser feita. Nesse ponto é possível determinar qual será o fluxo de *Steps*, a existência ou não paralelismos e a quantidade de recursos, como linhas de execução, que deverá ser utilizada. A Figura 4.3 apresenta o código de configuração do *Job* no GitResearch. Em nosso caso, foi necessária apenas a configuração de um *Job*.
3. **Implementação dos Steps necessários.** Essa implementação consiste na criação dos *ItemReader*, *ItemProcessor* e *ItemWriter*. Para um determinado *Step*, é possível que não seja necessário criar novos *ItemReader* ou *ItemWriter*. Ao invés disso, é possível utilizar algum objeto previamente criado e disponibilizado pelo framework. Foi isso que foi realizado no GitResearch. A maioria dos *Steps* utiliza algum *ItemReader* ou *ItemWriter* padrão do framework. Entretanto, no caso do *ItemProcessor* não há como utilizar um objeto padrão já que esse elemento é o responsável pela lógica de processamento e isso é particular para cada aplicação. Com isso, a implementação dos *Steps* já existentes no GitResearch como a implementação de novos *Steps*, irá sempre exigir a escrita de novos *ItemProcessor*. No GitResearch foi necessária a implementação de oito *Steps* conforme ilustrado na Figura 4.4. Conforme mostrado na Figura, a entrada para o processamento realizado pelo GitResearch é uma lista com todos os projetos que serão analisados. Ou seja, essa seleção dos projetos é uma atividade que não é realizada pelo GitResearch. Essa etapa será descrita no item 5.2.

```

import ...

@Configuration
@EnableBatchProcessing
public class JobConfiguration {

    @Autowired
    private JobBuilderFactory jobs;

    @Bean
    public Job extractDataJob(
        @Qualifier("downloadProjectRepository") Step download,
        @Qualifier("normalizeProjectDescriptionText") Step normalize,
        @Qualifier("prepareCorpus") Step prepareCorpus,
        @Qualifier("runLda") Step runLda,
        @Qualifier("runSonar") Step runSonar,
        @Qualifier("readSonar") Step readSonar,
        @Qualifier("calculateCollab") Step calculateCollab,
        @Qualifier("consolidateResults") Step consolidateResults

        ) {
        return this.jobs.get("extractDataJob")
            .start(download)
            .next(normalize)
            .next(prepareCorpus)
            .next(runLda)
            .start(readSonar)
            .start(calculateCollab)
            .start(consolidateResults)
            .build();
    }
}

```

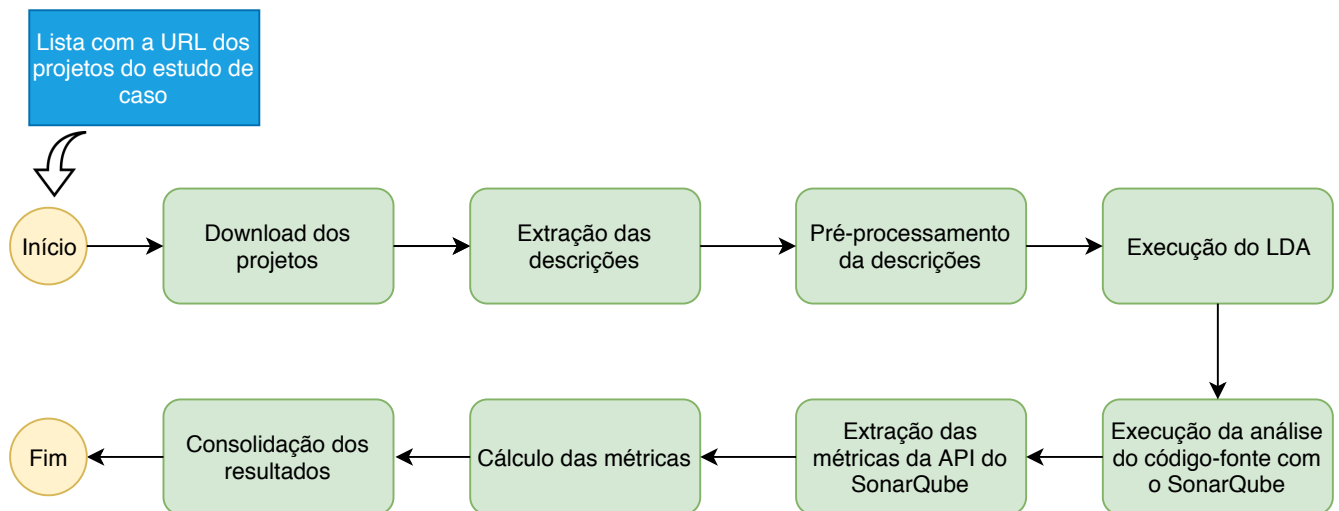
**Figura 4.3:** Código responsável por configurar o Job no GitResearch.

#### 4.4.2 Passos do processamento

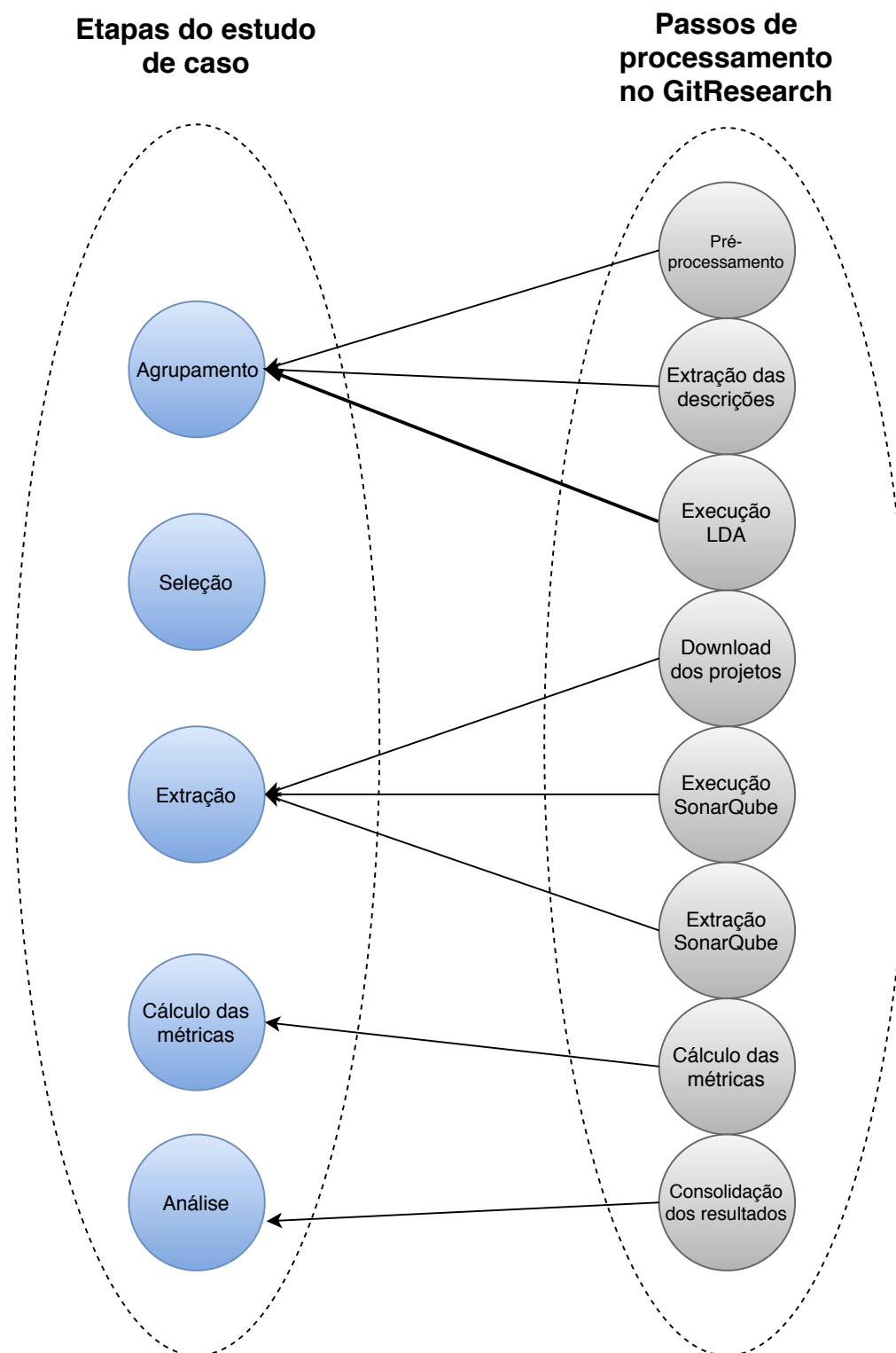
A Figura 4.4 apresenta os passos de processamento no GitResearch. Todas as etapas do estudo de caso descritas na Figura 4.1 serão automatizadas ou semiautomatizadas por meio do GitResearch. A única exceção é a etapa de seleção dos projetos candidatos. Essa etapa inclui a aplicação de um série de heurísticas criadas com o intuito de excluir repositórios que não são projetos de software.

A implementação dessas heurísticas demandaria uma quantidade significativa de tempo e poderia fazer com que o escopo da pesquisa fosse ultrapassado. Por isso, essa etapa de seleção foi realizada de uma forma semiautomática por meio de pesquisas no banco de dados de projetos. Contudo, todos os procedimentos realizados foram devidamente documentados e serão apresentados na sessão 5.2.

Comparando a Figura 4.4 e a Figura 4.1, podemos ver que há diferenças entre o de processamento do GitResearch e as etapas do estudo de caso. Essa distinção aconteceu porque houve a necessidade da criação de passos de processamento que não estavam explícitos nas etapas do estudo de caso. Um exemplo é o passo de processamento “Download dos projetos”. Outra razão da diferença é a necessidade de agrupar ou separar alguns passos de processamento no GitResearch por uma questão de desempenho. Na Figura 4.5 apresentamos um mapeamento entre as etapas do estudo de caso e os passos de processamento no GitResearch.



**Figura 4.4:** *Passos do processamento no GitResearch.*



**Figura 4.5:** Mapeamento entre as etapas do estudo de caso e as etapas de processamento no GitResearch.

## 4.5 Outras ferramentas utilizadas

Para a execução do estudo de caso foram necessárias, além do GitResearch, outras ferramentas e plataformas já existentes. Nesta sessão descreveremos essas ferramentas e como elas foram utilizadas



neste estudo de caso.

#### 4.5.1 GitHub

No contexto do *open source*, tornar público o código-fonte de um projeto de software não se trata apenas de uma característica positiva; na verdade, essa tendência é uma necessidade que caracteriza os princípios dessa filosofia de desenvolvimento de software. A comunidade interessada no software deve ter livre acesso a ele para que possa usá-lo, alterá-lo e distribuí-lo. Por conta dessas necessidades, houve uma popularização dos repositórios públicos de software. Esse tipo de plataforma fornece aos usuários meios para acessar o código de terceiros como também permite que eles mesmos disponibilizem seus projetos de software. A popularização dessas plataformas fez com que elas fossem a fonte de uma grande quantidade de dados. Esses dados são produzidos de diversas formas, seja pela extração a partir do código-fonte seja pela interação realizada entre os usuários. Em todos os casos, a facilidade de acesso e a pluralidade de dados fazem com que os repositórios de software sejam uma opção interessante para a obtenção de dados para pesquisas. Em nosso estudo de caso, obteremos dados do GitHub: um repositório de projetos de software baseado na tecnologia versionamento Git[LM12]. No Apêndice A apresentamos maiores informações a respeito do protocolo Git.

O GitHub é uma plataforma online para o armazenamento de repositórios. O que diferencia o GitHub de um servidor Git convencional é o conjunto de funcionalidades adicionais que a plataforma disponibiliza aos seus usuários. Essas funcionalidades não só são adições aos recursos de versionamento que o Git já disponibiliza como também são recursos sociais que permitem a interação entre os usuários. De acordo com Dabbish et al. [DSTH12] essas funcionalidades sociais facilitam a colaboração entre os usuários pois viabilizam que eles monitorem as atividades de uma grande quantidade de projetos além de gerar uma grande quantidade de dados. Esses dados, publicamente disponíveis, têm sido usados ativamente como uma fonte para pesquisas científicas.

#### 4.5.2 GHTorrent

O GitHub disponibiliza seus dados por meio de uma API. Nessa API é possível não apenas pesquisar informações a respeito de um repositório específico como também buscar repositórios utilizando critérios como linguagem, data de criação e descrição. Porém, devido a questões de segurança, essa API impõe severas restrições de acesso aos seus usuários. Existe uma quantidade pequena de requisições que podem ser realizadas por hora. Além disso, é necessário um esforço de desenvolvimento para que os dados obtidos possam ser armazenados e principalmente relacionados

entre si. Devido a essas dificuldades, surgiram projetos como o GHTorrent, um banco de dados criado por Gousious et al. [GS12] que espelha as informações contidas no GitHub. Esse projeto surgiu para distribuir de uma forma simples e rápida as informações disponibilizadas pela API do GitHub. Pesquisadores podem utilizar os dados no GitHub prontamente sem a necessidade de desenvolver um sistema que extraia e relacione esses dados.

O GHTorrent disponibiliza os dados por meio de arquivos de backup do banco e por meio de um banco de dados online onde os usuários podem se cadastrar e realizar consultas. Escolhemos obter os dados por meio do download de um arquivo de backup. Optamos por essa forma de acesso, pois queremos incluir uma grande quantidade de projetos em nosso estudo de caso. Por isso, teremos a necessidade de realizar a extração de dados com rapidez. Ao utilizar um backup completo do GHTorrent, pudemos importá-lo em um ambiente no qual o poder de processamento fosse compatível com nossas expectativas de desempenho. O arquivo que utilizamos pode ser obtido no seguinte endereço: <http://ghtorrent-downloads.ewi.tudelft.nl/mysql/mysql-2017-12-01.tar.gz>. Esse arquivo contém os dados obtidos até o último dia de dezembro de 2017. A Figura 4.6 contém uma lista com as principais tabelas encontrados no arquivo do GHTorrent.

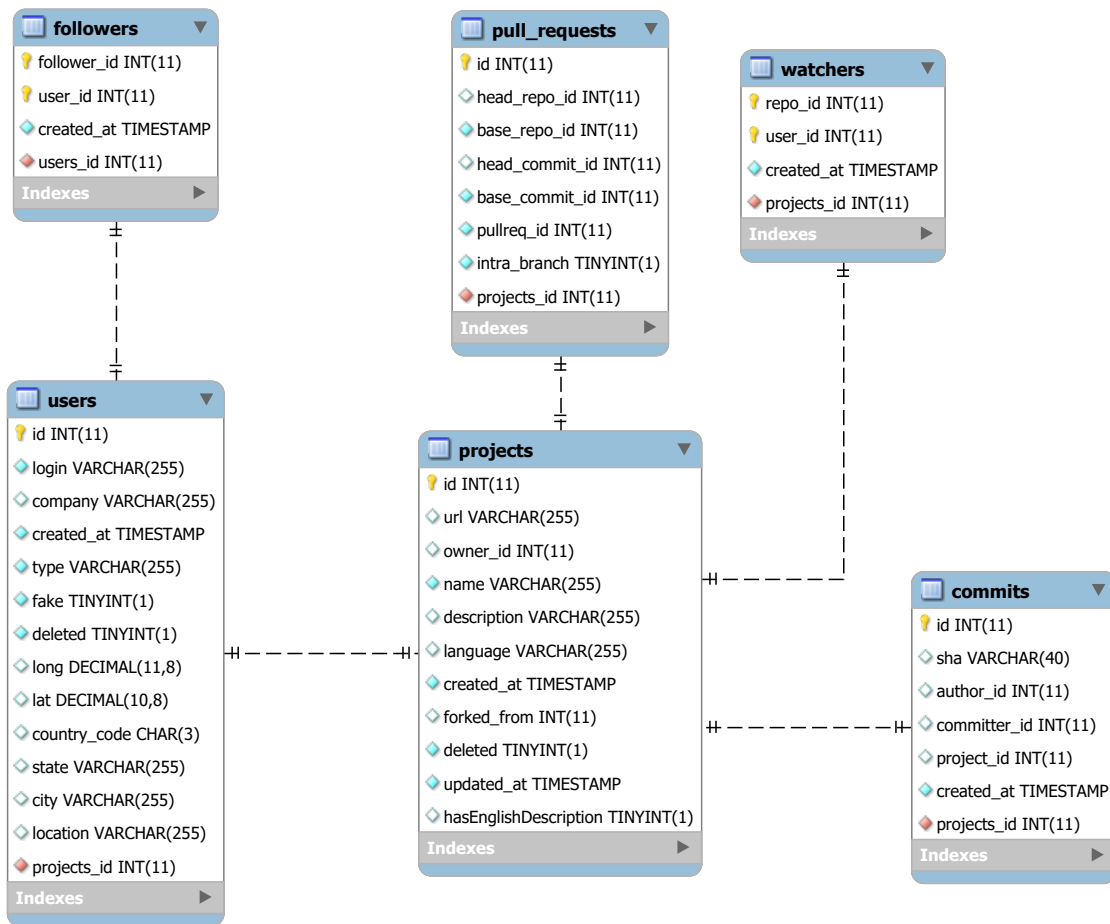


Figura 4.6: Tabelas do GHTorrent.

Em nosso estudo de caso, os dados fornecidos pelo GHTorrent serão utilizados na seguintes atividades:

- **Seleção dos projetos.** A identificação dos projetos do GitHub que foram desenvolvidos em Java. Essa seleção foi realizada utilizando a coluna “language” disponibilizada na tabela “projects” do GHTorrent.
- **Exclusão dos projetos incompatíveis.** Determinar, por meio de heurísticas, se um repositório é ou não um projeto de software. Um exemplo de heurística aplicada foi excluir projetos que possuem poucos *commits*. De acordo com a literatura, essa é uma das medidas eficientes para evitar a inclusão de repositórios que não são projetos de software. Todas heurísticas utilizadas serão descritas na sessão 5.2.
- **Cálculo da colaboração.** Determinar o volume e a qualidade da colaboração que um projeto recebeu.

- **Cálculo da produtividade.** Alguns dos dados utilizados nos modelos de produtividade serão obtidos por meio do GHTorrent.

#### 4.5.3 O SonarQube

Para extrair diversas métricas dos projetos utilizados neste estudo de caso 7.1 da ferramenta SonarQube[CP13]. Essa ferramenta possibilita verificar diversos aspectos relacionados à qualidade de um projeto de software. O SonarQube é composto, basicamente, por dois módulos:

- **Scanner:** É o responsável por acessar e analisar estaticamente o código-fonte do software.
- **Interface web:** Permite a visualização de relatórios a respeito dos dados obtidos pelo *scanner*.

Para que o *scanner* possa ser utilizado é necessário que um conjunto de configurações sejam definidas para cada projeto e versão sendo analisada. A Figura 4.7 mostra a função no GitResearch responsável por definir essas configurações. Dentre as configurações necessárias está o identificador único do projeto (*sonar.projectKey*), a versão (*projectVersion*), em qual pasta estão os códigos-fonte (*sonar.sources*), a url da aplicação para internet do SonarQube (*sonar.host.url*) e qual a linguagem utilizada no projeto (*sonar.language*).

```

import ...;

public class RunSonarProcessor {

    private void executeSonarScanner(
        Project project,
        String temporaryProjectFolder,
        int version){

        HashMap prop = new HashMap();

        prop.put("sonar.projectKey", String.format("Project%s",project.getId()));
        prop.put("sonar.projectName", String.format("Project%s",project.getId()));
        prop.put("sonar.projectVersion", String.valueOf(version));
        prop.put("sonar.projectBaseDir",temporaryProjectFolder);
        prop.put("sonar.sources",temporaryProjectFolder + File.separator + ".");
        prop.put("sonar.java.binaries", temporaryProjectFolder);
        prop.put("sonar.host.url", this.sonarUrl);
        prop.put("sonar.language", "java");
        this.scanner.execute(prop);
    }
}

```

**Figura 4.7:** Código responsável por criar a configuração para a execução do scanner do SonarQube no *GitResearch*.

A Tabela 4.1 contém as métricas que são disponibilizadas pelo SonarQube. Essas métricas ficam disponíveis no SonarQube automaticamente após a execução do *scanner* em um projeto de software.

Algumas dessas métricas são calculadas utilizando apenas o código-fonte da aplicação. Esse é o caso, por exemplo, da quantidade de arquivos, linhas de código, funções e classes. Entretanto, algumas das métricas disponibilizadas pelo SonarQube dependem de informações adicionais para serem calculadas. Esse é o caso da Métrica *VIOLATIONS*. Essa métrica contém a quantidade de violações a regras de qualidade que foram encontradas no código-fonte. Essas regras ficam armazenadas no SonarQube e podem ser alteradas pelo usuário. Neste estudo de caso utilizamos o perfil de regras padrão disponibilizadas pelo SonarQube para a análise de qualidade de projetos java. Esse perfil é chamado de *Sonar Way*[Ara12] e é baseado na metodologia de qualidade chamada *sqale*[Let12].

Métrica	Descrição
---------	-----------

CODE_SMELLS	Quantidade de trechos do código que contém uma violação a algum princípio fundamental da programação de sistemas[SSS14].
COGNITIVE_COMPLEXITY	Um índice que indica o quão difícil é entender o código-fonte do projeto[Cam17].
COMMENT_LINES	Quantidade de linhas de comentários
COMMENT_LINES_DENSITY	Quantidade de linhas de comentários/(Linhas de código + Quantidade de linhas de comentários) * 100
COMPLEXITY	Complexidade ciclomática do código-fonte[McC76].
DIRECTORIES	Número de diretórios.
DUPLICATED_LINES	Linhas duplicadas
DUPLICATE_LINES_DENSITY	Linhas duplicadas / total de linhas * 100.
DUPLICATED_BLOCKS	Número de blocos de códigos duplicados.
DUPLICATED_FILES	Número de arquivos duplicados.
FILES	Número de arquivos.
FUNCTIONS	Número de funções.

NLOC	Número de linhas que contenham pelo menos um caractere que não seja um espaço, tabulação ou parte de um comentário.
SQALE_DEBT_RATIO	Razão entre o tempo estimado para resolver a dívida técnica do projeto e o tempo estimado que foi gasto para desenvolver o projeto.
SQALE_RATING	Uma classificação de 1 até 5 relativa ao nível de dívida técnica do projeto. Projetos com menos dívida técnica recebem a nota 1.
STATEMENTS	Número de declarações no código-fonte.
VIOLATIONS	Número de violações das regras de qualidade definidas no SonarQube.

**Tabela 4.1:** *Métricas extraídas dos projetos.*

#### 4.5.4 Medição da dívida técnica

Conforme descrevemos no Capítulo 2, existem diversos tipos de dívida técnica. Alguns desses tipos são de difícil medição devido às suas características subjetivas ou contextuais. A dívida técnica de tecnologia, por exemplo, acontece quando um projeto de software está utilizando uma tecnologia obsoleta. Porém, definir se uma tecnologia é ou não obsoleta é uma atividade normalmente subjetiva e sujeita a discordâncias. Já as dívidas técnicas de arquitetura dependem de uma análise contextual para serem medidas. Esse tipo de dívida é descrito como uma violação a algum princípio ou regra pré-definida a respeito de como deve ocorrer a interação entre os componentes de um software. Contudo, parte dessas regras são específicas para o contexto no qual o software é desenvolvido. Isso acontece seja pelas necessidades do software sendo desenvolvido seja por aspectos relacionados aos desenvolvedores. No caso das dívidas técnicas arquiteturais, existem dificuldades de medição tanto por características contextuais quanto por aspectos subjetivos já que a aderência ou não de uma determinada arquitetura às expectativas de um desenvolvedor é algo subjetivo conforme boa parte dos arcabouços de avaliação de arquiteturas como é o caso do ATAM[KKC00]. Dessa forma, medir certos tipos de dívida técnica é uma tarefa difícil e em alguns casos inviável de ser feita

automaticamente. Por conta disso, tivemos que limitar os tipos de dívida técnica avaliados neste estudo de caso. Esse recorte foi feito por causa do nosso objetivo de medir quantitativamente e automaticamente o nível de dívida técnica dos projetos. Além disso, essa limitação foi realizada considerando os tipos de dívida técnica que a ferramenta SonarQube consegue medir. Com isso, o nível de dívida técnica que consideraremos em um projeto não será igual ao nível real já que serão considerados apenas alguns tipos de dívida.

A medição da dívida técnica é feita pelo SonarQube usando as regras definidas no perfil de qualidade utilizado no projeto. O nível de dívida técnica de um projeto é equivalente à soma do tempo estimado para alterar seu código-fonte de forma que todas as violações a regras de qualidade fossem eliminadas. O SonarQube calcula o nível de dívida técnica de um projeto seguindo os seguintes passos:

1. Escaneia o código-fonte do software em busca de violações às regras contidas no perfil de qualidade utilizado. Em nosso caso, utilizamos o perfil padrão chamado *Sonar Way*[Ara12].
2. A cada violação encontrada, é adicionada uma quantidade de tempo ao tempo total necessário para eliminar todas as dívidas técnicas do projeto.
3. O nível de dívida técnica de um projeto é então calculado pela razão entre o tempo total estimado para desenvolver o software e o tempo total que seria gasto para eliminar todas as dívidas técnicas. Esse cálculo é armazenado na métrica `SQALE_DEBT_RATIO` conforme mostrado na Tabela 4.1

A Tabela 4.5.4 apresenta algumas das regras de qualidade definidas no perfil padrão do SonarQube para a análise de projetos Java(*Sonar Way*) e a quantidade de minutos estimados para eliminar cada uma das ocorrências de violações de cada regra.

Forneceremos um exemplo de cálculo da dívida técnica utilizando o SonarQube. Para isso, analisaremos 2 projetos conforme a Tabela 4.5.4. O primeiro projeto tem 45.600 minutos de dívida técnica. Isso significa que após o SonarQube analisar todo o projeto, ele encontrou uma quantidade de dívidas que, somadas, levariam 45.600 minutos para serem resolvidas. Além disso, o primeiro projeto possui 80.000 linhas de código-fonte. Com isso, o nível de dívida técnica do projeto 1 é calculado como  $\frac{45.600}{80.000 * m}$  sendo  $m$  a quantidade de tempo que se estima necessária para escrever uma linha de código. O SonarQube usa como padrão 30 minutos para a variável  $m$ . No caso do projeto 1, o nível de dívida técnica foi calculado como 1,9%. Isso significa que seriam gastos para eliminar a dívida técnica desse projeto 1,9% do esforço necessário para construir o projeto inteiro.



De acordo com Jesus et al. [dJdM17], um índice abaixo de 3% é considerado baixo; logo, o projeto 1 tem um nível baixo de dívida técnica. Já o projeto 2, conforme a Tabela 4.5.4 possui a mesma quantidade de dívida técnica medida em minutos. Entretanto, medido em número de linhas de código, o projeto 2 é muito menor do que o projeto 1. Isso fez com que o nível de dívida técnica do projeto 2 fosse calculado como 11,7%, ou seja, muito maior do que o projeto 1. Com isso, mesmo tendo o mesmo volume de dívida técnica que o projeto 1, de acordo com a estratégia de medição adotada, o projeto 2 é considerado pior do que o projeto 1 em termos de dívida técnica. Isso acontece porque o SonarQube calcula o nível de dívida técnica de um projeto de uma forma proporcional ao seu tamanho.

---

Projeto	Dívida técnica em minutos	Linhas de código	Cálculo	Debt Ratio
<hr/>				
1	45600	80000	$\frac{45600}{80000*m}$	1,9 %
<hr/>				
2	45600	13000	$\frac{45600}{80000*m}$	11,7 %
<hr/>				

**Tabela 4.2:** Exemplo de cálculo da dívida técnica com o SonarQube. A variável  $m$  representa o tempo necessário para escrever uma linha de código. O valor padrão no SonarQube é de 30 minutos. Adaptado de [dJdM17].

<b>Categoria</b>	<b>Descrição</b>	<b>Minutos</b>
Mutabilidade	Bloco de código duplicado.	60
Manutenção	Variável não usada.	10
Testabilidade	Complexidade ciclomática [McC76] maior do que 10.	11
Reusabilidade	Parâmetro usado como seleção em um método público.	15
Confiabilidade	A condição de um laço nunca será verdadeira.	10
Segurança	Comandos sendo enviados para o sistema operacional sem nenhuma validação	30
Portabilidade	Uso de métodos descontinuados.	15
Manutenção	Existência de código-fonte comentado.	5

**Tabela 4.3:** *Exemplos de regras para identificação de dívidas técnicas no SonarQube.*

#### 4.5.5 Limitações na medição da dívida técnica

É possível identificar algumas limitações em relação à forma como o SonarQube realiza a medição do nível de dívida técnica de um projeto. A primeira delas é a falta de uma verificação empírica para a quantidade de minutos necessários para corrigir cada dívida. Por exemplo, de acordo com a Tabela 4.5.4, remover um bloco de código duplicado levaria 60 minutos. Porém, não é possível encontrar na documentação da ferramenta nenhuma indicação de como esse valor foi definido. Com isso o tempo médio para refatorar o código-fonte e resolver esse problema pode ser

muito maior ou muito menor do que 60 minutos. Outro ponto questionável é a lista de regras que são usadas para identificar dívidas técnicas na configuração padrão do SonarQube. Não há também na documentação da ferramenta qualquer menção a qual metodologia foi utilizada para criar essa lista. Inclusive, a capacidade de identificar dívidas técnicas por meio de algumas das regras utilizadas são claramente questionáveis.

Apesar das limitações, o SonarQube tem sido usado efetivamente para a análise da dívida técnica em projetos de software, inclusive no contexto de pesquisas científicas. Uma das evidências da eficácia dessa ferramenta foi obtida por Marek et al.[SWR12]. Nesse trabalho os autores realizaram um *survey* com especialistas para que eles analisassem e indicassem o nível de dívida técnica de alguns projetos. Os dados obtidos foram então comparados com a medição realizada pelo SonarQube. As diferenças entre os dois resultados foram muito pequenas. Isso trouxe evidências de que a dívida técnica medida pelo SonarQube é tão precisa quanto aquela medida por especialistas. Além disso, uma pesquisa realizada por Fontana et al.[FRZ16b] comparou algumas ferramentas que são capazes de calcular a dívida técnica de um projeto. Os autores chegaram à conclusão de que o SonarQube é a ferramenta mais precisa atualmente disponível. Apesar disso, conforme apontado por Fontana et al.[FRZ16a], o índice de dívida técnica calculado pelo SonarQube não é apropriado para a análise individual de projetos. Em vez disso, esse índice deve ser usado apenas para comparar projetos diferentes.

## 4.6 Conclusões

Neste capítulo apresentamos o planejamento para o estudo de caso que realizamos nesta pesquisa. Inicialmente, introduzimos as cinco etapas desse estudo de caso: seleção, agrupamento, extração, cálculo das métricas e análise dos dados. Foram fornecidos alguns detalhes a respeito das atividades dentro de cada uma dessas etapas e como elas serão executadas. Depois, apresentamos a ferramenta GitResearch. Essa ferramenta será utilizada para automatizar grande parte das atividades realizadas no estudo de caso. Por fim, apresentamos as outras plataformas e ferramentas existentes que foram utilizadas: Github, GHTorrent e SonarQube.



## Capítulo 5

# Execução do estudo de caso

Neste capítulo descreveremos como as etapas do estudo de caso foram executadas. Serão fornecidos detalhes a respeito das técnicas utilizadas e como elas foram implementadas no GitResearch. Por fim, forneceremos os resultados obtidos.

### 5.1 Introdução

Grande parte das atividades do estudo de caso pôde ser realizada automaticamente. Quando alguma atividade não puder ser automatizada, haverá uma indicação explícita disso. Essa preocupação em automatizar as atividades e documentá-las de forma detalhada foi tomada com o objetivo de permitir que os resultados obtidos no estudo de caso possam ser mais facilmente reproduzidos e reavaliados.

## 5.2 Seleção

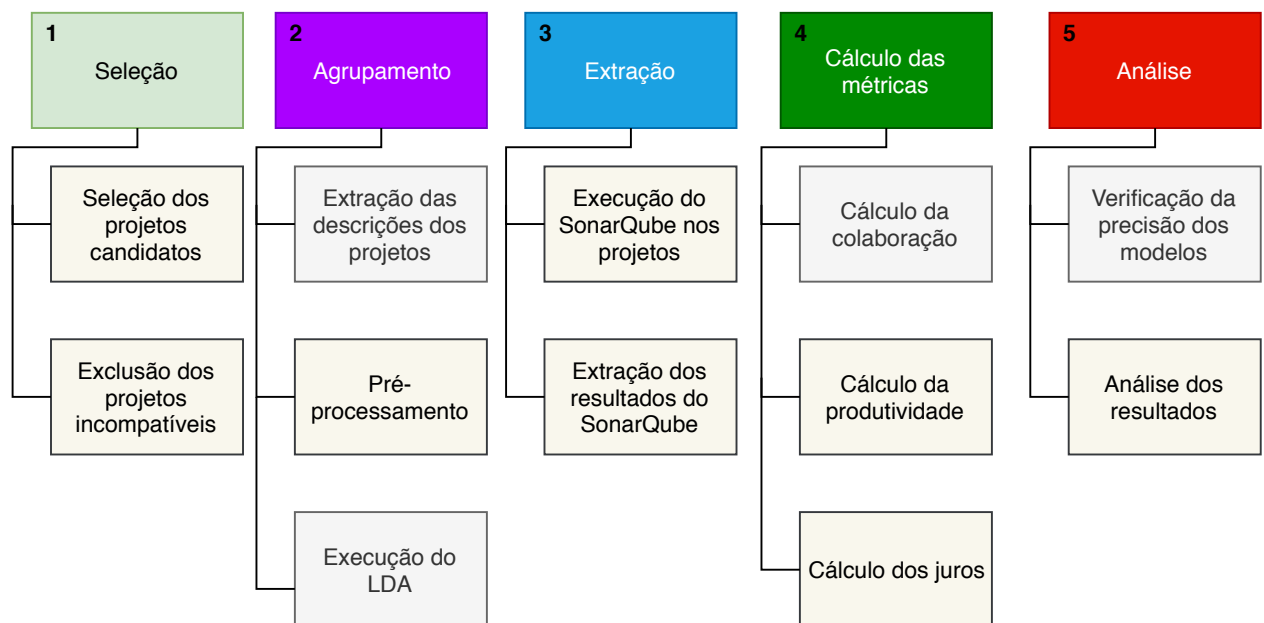


Figura 5.1: Resumo das etapas do estudo de caso.

## 5.3 Seleção dos projetos candidatos

Inicialmente, foram selecionados todos os repositórios encontrados no GitHub no momento da execução do estudo de caso. Essa seleção foi realizada manualmente no GHTorrent e trouxe como resultado 72.433.097 repositórios.

### 5.3.1 Exclusão dos projetos incompatíveis

A seleção dos projetos a serem incluídos neste estudo de caso foi realizada utilizando um conjunto de regras de exclusão. Ou seja, inicialmente selecionamos todos os projetos armazenados no GitHub e depois essas regras de exclusão foram aplicadas fazendo com que o número de projetos diminuísse. Essa estratégia foi usada porque nosso objetivo era incluir a maior quantidade de projetos possível e com isso diminuir a possibilidade de criação de algum viés caso fossem selecionados projetos específicos. Acreditamos que, com isso, a amostra de projetos selecionados é uma representação estatisticamente relevante da população de projetos existentes no GitHub. As regras de exclusão foram definidas observando três grupos de aspectos da pesquisa:

1. **Restrições metodológicas.** Esse grupo de regras inclui aquelas criadas pela necessidade de excluir alguns projetos por eles não possuírem alguma característica obrigatória para a

aplicação de algum aspecto da metodologia definida para a pesquisa. Um exemplo é a exclusão de projetos nos quais a descrição não estava na língua inglesa. Essa regra foi criada porque a análise de projetos em múltiplas línguas não é compatível com a atividade de agrupamento de projetos semelhantes. Para essa atividade utilizamos uma técnica de processamento de linguagem natural chamada LDA. Essa técnica agrupa as descrições dos projetos utilizando como base o número de ocorrência de palavras. Se, por exemplo, uma descrição contém diversas vezes as palavras *management* e *database*, o LDA irá criar um tópico com essas duas palavras e inserir nele todos os projetos que possuem também muitas ocorrências dessas duas palavras. Provavelmente, os projetos incluídos serão gerenciadores de banco de dados ou projetos relacionados. Entretanto, caso sejam incluídos projetos de gerenciadores de banco de dados no qual a descrição esteja em outro idioma, e as palavras *management* e *database* fossem escritas nesse idioma, esses projetos poderiam ser colocados em outro tópico. Ou seja, projetos de um mesmo domínio seriam agrupados em grupos diferentes apenas por causa da diferença no idioma da descrição. Por essa razão, foi criada uma regra que removeu todos os projetos que não estavam com a descrição em inglês. Foi escolhido o idioma inglês, pois aproximadamente 70% dos projetos no GitHub estavam documentados em inglês.

2. **Restrições operacionais.** Nesse grupo de regras estão aquelas que foram criadas devido a limitações operacionais durante a realização do estudo de caso. Essas restrições, na maior parte das vezes, foram encontradas nas ferramentas utilizadas em algumas etapas da pesquisa. Um exemplo é a ocorrência de falhas durante a extração das métricas do código-fonte utilizando a ferramenta SonarQube. Alguns projetos não puderam ter seu código-fonte analisado por essa ferramenta mesmo após diversas tentativas e o acionamento do suporte da ferramenta. Com isso, esses projetos tiveram de ser excluídos já que uma extração manual dessas métricas era inviável devido ao tamanho dos projetos. Ainda nesse grupo de regras de exclusão estão aquelas que foram criadas devido à incompatibilidade com o sistema operacional utilizado. Alguns arquivos tinham nomes muito extensos ou utilizavam caracteres que não eram aceitos pelo sistema operacional que foi utilizado para a execução do estudo de caso. Isso levou à exclusão dos projetos que continham os arquivos que geraram esses problemas.
3. **Inclusão apenas de repositórios de software.** O último grupo de regras é formado por aquelas que foram criadas para excluir repositórios que não sejam projetos de desenvolvimento de software. Conforme já mencionado no item 4.5.1, muitos dos repositórios criados no GitHub são usados apenas para armazenar arquivos. Para excluir esses repositórios, nós utilizamos

regras sugeridas pela literatura. Além disso, após a realização de análises preliminares da lista de projetos, também criamos nossas regras de exclusão. Com isso, um número substancial de repositórios foi removido da pesquisa.

A Tabela 5.1 contém uma lista com todas as regras de exclusão utilizadas para a seleção dos projetos. As regras estão ordenadas na tabela na ordem em que foram aplicadas. Nessa tabela fornecemos uma descrição da regra, indicamos se ela se trata de uma regra metodológica, operacional ou para verificar se o repositório é realmente um projeto de software. Além disso, informamos se a regra foi aplicada utilizando como base os dados no GHTorrent ou houve a necessidade de acessar o código-fonte do projeto. Por fim, informamos a quantidade de projetos que foram removidos por cada regra de exclusão.

#	Descrição	Tipo	Local	Projetos Excluídos
1	Exclusão de projetos abandonados, exemplos, exercícios, tutoriais e projetos android.	Software	GHTorrent	20.512.447
2	Exclusão de projetos que não utilizem a linguagem de programação Java.	Metodológica	GHTorrent	48.385.193
3	Exclusão de projetos deletados.	Software	GHTorrent	367.570
4	Exclusão de projetos que são <i>Forks</i> de outros projetos.	Metodológica	GHTorrent	1.637.704
5	Exclusão de projetos sem descrição no GHTorrent.	Metodológica	GHTorrent	595.557
6	Exclusão de projetos no qual a descrição não esteja em inglês.	Metodológica	Código-fonte	342.925
7	Exclusão de projetos que tenham poucos <i>commits</i> e poucos colaboradores.	Software	GHTorrent	588.909



8	Exclusão de projetos com nomes de arquivos incompatíveis.	Operacional	Código-fonte	126
9	Exclusão de projetos nos quais o SonarQube não foi capaz de analisar o código.	Operacional	Código-fonte	54
10	Exclusão de projetos com arquivo de descrição inexistente ou muito pequeno .	Metodológica	Código-fonte	726
11	Exclusão de projetos muito grandes .	Operacional	Código-fonte	72

**Tabela 5.1:** Regras para a exclusão de projetos do estudo de caso

É necessário detalhar a motivação de algumas das regras de exclusão criadas:

**Regra 2** Remove projetos que não foram realizados utilizando a linguagem Java. Essa regra foi definida por dois motivos. O primeiro motivo é a diferença que existe entre as dívidas técnicas de uma linguagem e outra. Por exemplo, existem dívidas específicas para linguagens orientadas a objetos que não são possível de serem encontradas em linguagens procedurais. O segundo motivo é técnico e está relacionado com as limitações da ferramenta utilizada para a extração de métricas. Ela possui uma maior compatibilidade com a linguagem Java.

**Regra 4** Evita que projetos duplicados fossem incluídos na pesquisa. No GitHub, um *Fork* é um procedimento onde um usuário realiza uma cópia, para a sua conta, de um repositório [TBLJ13]. Esse procedimento é realizado quando esse usuário deseja contribuir com esse repositório original ou quando ele tem interesse em iniciar um novo projeto tendo como base esse repositório inicial. Em ambos os casos, esses dois repositórios serão muito parecidos. Logo, resolvemos remover esses repositórios que foram gerados por meio de um *Fork*.

**Regra 6** Exclui projetos nos quais a documentação não está escrita em inglês. O motivo dessa restrição foi a necessidade de separar os projetos por domínio de aplicação. Essa separação foi feita aplicando técnicas de aprendizado de máquina na documentação dos projetos. A inclusão de múltiplas linguagens iria trazer uma complexidade substancial a esse processo. Além disso, a

técnica de classificação que será utilizada não é compatível com textos em múltiplas linguagens.

- Regra 7** Remove os projetos que tinham menos de 6 colaboradores e um número de *commits* menor do que 516. Essa exclusão foi realizada com o objetivo de remover da pesquisa os repositórios que não são projetos de software. De acordo com Bird et al.[BRB<sup>+</sup>09], o número de colaboradores e o número de *commits* são uma forma eficaz de identificar repositórios que tenham sido criados apenas para a realização de testes, que sejam exemplos de código ou que sejam projetos particulares. De acordo com os autores, se um repositório teve uma quantidade mínima de *commits* e colaboradores, há uma probabilidade maior de que seja um projeto de software real. Os números mínimos utilizados nesta pesquisa foram obtidos por meio de análises dos projetos existentes no GitHub. Foi encontrada uma média desses números em todo o conjunto de projetos do GitHub e a essa média foi adicionada uma margem de dois desvios padrão.
- Regra 11** Excluir projetos com uma quantidade muito grande de arquivos. Essa regra foi criada por dois motivos. O primeiro foi a impossibilidade de o SonarQube processar alguns desses projetos. Mesmo após diversas tentativas e o acionamento do suporte da ferramenta, não pudemos processá-los. O segundo motivo é a observação de que repositórios com muitos arquivos normalmente não são projetos de software. em vez disso, eles são criados para armazenar logs e outros tipos de arquivos que não têm relação com o desenvolvimento de software.

Algumas das regras encontradas na Tabela 5.1 foram criadas para excluir repositórios que não são projetos de software. Na literatura podemos encontrar algumas recomendações práticas de como evitar problemas na utilização de dados do GitHub em pesquisas científicas [KGB<sup>+</sup>14, BRB<sup>+</sup>09, TDH14]. Algumas das recomendações que foram consideradas na criação das regras de exclusão foram:

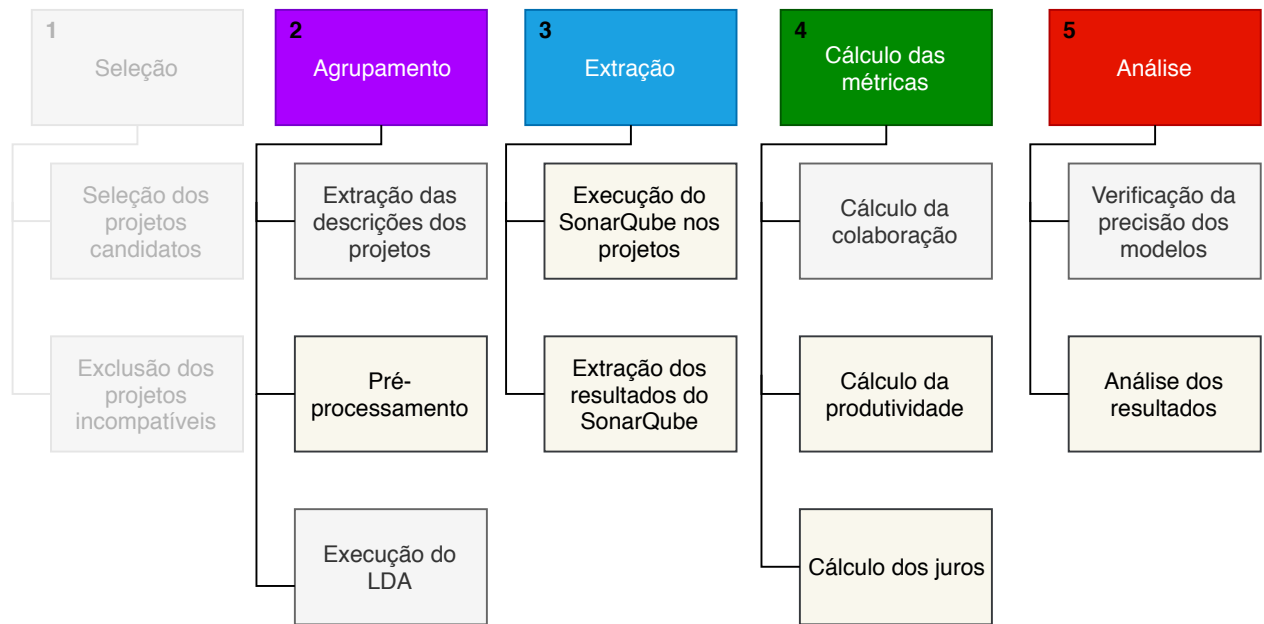
- **Nem sempre um repositório no GitHub é utilizado para armazenar um projeto de software.** Apesar de ser voltado para a hospedagem de projetos de software, o GitHub não impõe nenhum tipo de restrição ao conteúdo dos repositórios que ele armazena. Por ser uma plataforma gratuita, isso faz com que muitos usuários o utilizem para o armazenamento de arquivos diversos. É comum encontrar arquivos de sites, exercícios escolares, contratos e diversos outros itens que não têm relação com o objeto desta pesquisa. Para evitar a inclusão de repositórios que não armazenam projetos de software, utilizamos uma série de heurísticas, algumas delas sugeridas por Killiamvakou et al.[KGB<sup>+</sup>14] e outras criadas especificamente

para esta pesquisa.

- **Muitos projetos não são totalmente desenvolvidos no GitHub.** Esses desenvolvimentos fora do GitHub pode ser de duas formas: prévio e paralelo. Um projeto pode ser desenvolvido previamente em uma outra plataforma e depois ser migrado para o GitHub. Essa migração pode ser feita importando todo o histórico do projeto como também, esse histórico pode ser ignorado. Isso precisa ser considerado já que nesses casos esse histórico anterior pode ser relevante para a pesquisa sendo realizada. A outra forma de desenvolvimento fora do GitHub é quando algumas das atividades necessárias para o desenvolvimento do projeto não são realizadas no GitHub ou são realizadas parcialmente. Um exemplo seria o gerenciamento de *issues* que pode ser feito no GitHub ou em outro serviço como o FindBugs[AMP<sup>+</sup>07]. Assim, uma pesquisa poderia, equivocadamente, realizar conclusões com base em dados incompletos. O caso em que poderia haver algum impacto nos resultados desta pesquisa é o de desenvolvimento prévio. Caso um projeto fosse criado no GitHub sem que o histórico fosse importando, nossas análises de produtividade não poderiam ser feitas utilizando essa contribuição prévia. Para evitar esse problema, utilizamos, novamente, um conjunto de heurísticas baseadas nas datas de criação dos arquivos do repositório e nas datas dos primeiros *commits* realizados no GitHub. Se um repositório possuía um arquivo com uma data muito anterior ao primeiro *commit*, esse repositório provavelmente teve um desenvolvimento prévio fora do GitHub e, portanto, deveria ser excluído da pesquisa.

No banco de dados do GHTorrent há um total de 72.433.097 repositórios. Após a aplicação das onze regras de exclusão listadas na Tabela 5.1, sobrou um total de 1.814 repositórios. Dessa forma, neste estudo de caso analisaremos 1.814 repositórios de software.

## 5.4 Agrupamento dos projetos



**Figura 5.2:** *Resumo das etapas do estudo de caso.*

De acordo com Kitchenham et. al.[KM04], a comparação de produtividade entre projetos de software deve ser feita considerando o domínio de cada um deles. Portanto, não faz sentido comparar a produtividade de um projeto da área da aviação, que possui padrões extremamente rígidos de qualidade, com um projeto de uma aplicação para a internet. Por isso, os projetos utilizados no estudo de caso foram divididos em domínios de aplicação como sistemas gerenciadores de banco de dados, jogos, frameworks, linguagens de programação, etc.

Inicialmente foram consideradas algumas estratégias para estimação do domínio do projeto. Uma delas foi a proposta de Idri. et. al.[IA01]. Nela, os autores utilizam um modelo baseado em lógica Fuzzy para estimar o domínio de um projeto de software. Além disso, foram estudadas outras abordagens baseadas no código fonte da aplicação. Entre elas estão o trabalho de Yamamoto et. al.[YMKI05] e a ferramenta MudaBlue, proposta por Kawaguchi et. al.[KGM106]. Essas abordagens não foram utilizadas já que dependiam de informações a que não tínhamos acesso ou da construção do projeto. Como utilizamos uma abordagem automática, muitas vezes não era possível compilar os projetos devido a algum erro no código, incompatibilidade com o ambiente ou falta de alguma dependência.

Nosso modelo de estimação dos juros da Dívida técnica é baseado na comparação das produtividades de projetos que possuam pouca dívida técnica e projetos que possuem um nível médio ou

alto da dívida técnica. Entretanto, essa comparação será feita apenas entre projetos de um mesmo domínio de aplicação. Por exemplo, arcabouços de desenvolvimento como o Spring Batch[CTGB11], que foi usado para desenvolver a ferramenta GitResearch, só terá sua produtividade comparada com outros projetos que também sejam arcabouços de desenvolvimento ou estejam relacionados a arcabouços de desenvolvimento. Neste estudo de caso, realizaremos esse agrupamento dos projetos por domínio utilizando uma técnica de processamento de linguagem natural chamada *Latent Dirichlet Allocation* (LDA). Extrairemos de cada projeto a sua descrição e aplicaremos o LDA para identificar o seu domínio.

#### 5.4.1 Extração das descrições dos projetos

Para a execução do LDA foi necessário extrair a descrição de cada projeto. Essa descrição foi obtida do próprio repositório onde o projeto é armazenado. Esse procedimento pôde ser feito já que há uma padronização em relação ao nome do arquivo onde a descrição do projeto deve ser inserida. Esse arquivo fica localizado no diretório raiz do repositório e normalmente recebe o nome de *readme.md*. Entretanto, é possível que sejam usadas variações desse nome como *readme.txt* e *readme.html*. Quando nem o arquivo padrão nem alguma das variações foram encontradas, foi utilizado qualquer arquivo no qual o nome inicia com a palavra *readme*. Se mesmo assim, não foi encontrado nenhum arquivo, então o projeto foi excluído da pesquisa conforme a regra 10 da Tabela 5.1.

#### 5.4.2 Pré-processamento

Após a extração da descrição de cada projeto, foi necessário realizar uma série de manipulações textuais nas descrições de tal forma que elas pudessem ser utilizadas com o LDA. Essas manipulações incluem a remoção de palavras irrelevantes como preposições e artigos, remoção de marcações HTML e XML, a remoção de caracteres especiais e a redução de palavras para sua forma comum (*stemming*[J<sup>+</sup>11]). Essas modificações foram realizada no GitResearch por meio da classe *DescriptionNormalizer*. Cada uma das transformações foi escrita em uma classe individual e inseridas no grupo padrão de transformações. Em outras pesquisas, será possível criar novos grupos de transformações. A Tabela 5.2 apresenta uma lista com todas as classes de transformação que foram utilizadas no pré-processamento das descrições.

Classe	Transformação
RemoveUrlTransformation	Remove todas as URL do texto
RemoveXmlTransformation	Remove todas as marcações HTML e XML
RemoveEspecialCharactersTransformation	Remove caracteres especiais
RemoveSpacesTransformation	Remove espaços múltiplos
RemoveNumbersTransformation	Remove todos os números
LowerCaseTransformation	Transforma todo o texto em minúsculo
RemoveStopWordsTransformation	Remove palavras como "the" e "and" que são irrelevantes para a categorização dos textos
RemoveLicenseWordsTransformation	Remove texto a respeito das licenças dos softwares

**Tabela 5.2:** Transformações realizadas no texto das descrições dos projetos

### 5.4.3 Execução do LDA

O LDA considera que um documento é formado por palavras que, por sua vez, estão relacionadas a um tópico. As palavras são associadas a um tópico automaticamente durante a análise do conjunto de documentos. Se uma palavra  $w_1$  aparece em muitos documentos junto com uma palavra  $w_2$ , o LDA assume que há uma relação semântica entre essas palavras e por isso elas devem ficar em um mesmo tópico. Um exemplo seriam as palavras *player*, *game* e *joystick*. Essas palavras normalmente seriam muito encontradas nas descrições dos projetos relacionados aos jogos eletrônicos. Isso faria

com o LDA criasse um tópico com essas e outras palavras relacionadas aos jogos e associasse esse tópico a todos os documentos nos quais elas aparecem muitas vezes.

O LDA baseia-se na ideia de que cada documento analisado foi gerado por uma combinação de  $X\%$  de palavras de um tópico  $A$ ,  $Y\%$  de um tópico  $B$  e assim por diante. Sendo assim, dado um documento  $D$ , o LDA realiza o caminho inverso para identificar o quanto do tópico  $A$  foi usado para gerar o documento  $D$ , o quanto do tópico  $B$  foi usado para gerar o documento  $D$  e assim por diante.

A execução do LDA foi realizada da seguinte forma:

1. Foi definido o número de tópicos que serão utilizados. É importante notar que o LDA exige apenas a quantidade e não quais são esses tópicos. Neste estudo de caso, utilizamos o número 30. Esse número foi escolhido após a realização de experimentos no qual vários números foram testados. Com uma quantidade muito grande de tópicos percebemos que alguns deles ficaram com apenas um ou nenhum projeto. Quando um número muito pequeno de tópicos foi escolhido, percebemos que alguns dos tópicos gerados claramente misturavam mais de um assunto. Além disso, o número 30 foi escolhido por ser um número próximo do utilizado em outros trabalhos semelhantes como o de Ray et al. [RPFD14].
2. O algoritmo foi aplicado no conjunto de arquivos de descrição dos projetos. No primeiro momento ele descobre quais palavras pertencem a cada um dos 30 tópicos. Isso é feito ao identificar quais palavras normalmente aparecem juntas nos documentos.
3. A quantidade de palavras de cada tópico em cada documento irá definir o quanto aquele documento é sobre aquela categoria. O tópico com mais palavras dentro do documento é considerado o seu tópico principal.

## Resultado do LDA

A Tabela 5.3 apresenta todos os 30 tópicos e suas respectivas palavras. Conforme pode ser visto, as palavras estão em sua forma reduzida devido à aplicação do *stemming*. Um exemplo pode ser visto no Tópico 12. A primeira palavra desse tópico é a palavra “test”. Entretanto, na verdade, essa palavra representa todas as palavras que contêm o prefixo “test”, como “testing”, “tests”, “testability” e assim por diante.

É importante destacar que as palavras estão sendo exibidas na tabela 5.3 ordenadas pelo seu nível de relevância dentro do tópico. Por isso, para identificar qual domínio cada tópico representa,

a primeira palavra deve ser a mais decisiva. Existem alguns tópicos nos quais as suas palavras permitem-nos claramente identificar o domínio que ele representa. Esse é o caso do tópico 22 que agrupará os projetos relacionados aos jogos eletrônicos. Outro exemplo é o Tópico 23 que agrupará projetos relacionados ao processamento distribuído de dados. Enquanto isso, alguns tópicos não nos permitem identificar qual domínio eles representam.

Nome	Palavras
Tópico 1	applic android fix xprivacy addon restrict support ad data devic forg app play improv processor return permiss mode googl map
Tópico 2	index elasticsearch cassandra data set search json type file query solr field document fs true default test map bin support
Tópico 3	build instal java run file jar directory packag ant sourc command window download compil path test linux document git bin
Tópico 4	connect client server user authent command default host session key configur ssh option password set login request winrm overther file
Tópico 5	query api custom item id storefront checkout respons field widget java chart content overrid v1 terasoluna type gfw public payment
Tópico 6	distribut export wicket includ govern inform encrypt law file h2o security requir build impli kind cryptograph applic country import condit
Tópico 7	docker servic run imag doc user contain cluster api creat meso aw compos configur karaf url command provid build jame
Tópico 8	stream sampl data event file configur messag parser log queue tnt4j activ xml defin field property string chronicl paramet entri
Tópico 9	applic develop servic manag web support data base system server framework user compon model build platform api integr document modul



Tópico 10	java report attribut set job user operationresult resourc servic row session method id column client jasperadmin organ request list server
Tópico 11	java class method public string type return annot builder final object map static xml gener interfac org api void person
Tópico 12	test driver tabl databas java run jdbc engin configur execut gwt sql default requir assert selenium junit user connect firefox
Tópico 13	issu contribut build develop sourc document code statu support list maven download badg open bug request mail doc api wiki
Tópico 14	java core imag question demo src main aima text link student answer ui search org jar library post bridgedb afc
Tópico 15	graph java data algorithm handlebar src script templat workflow input com- ment structur output languag code taverna jwetherel compil task yesworkflow
Tópico 16	file library format imag jar support data gnu gener includ sourc java public code free distribut form common term work
Tópico 17	click sdk select modul file elixir function tab run png screenshot button line true configur menu test open view raw
Tópico 18	matrix de jsf msf4j openbaton implement jersey opengl microservic chouett redisson build matrix4f baton microserv joml transform en dddlib ob1k
Tópico 19	test simul run remot worker coordin hazelcast start client command agent machin member predict file benchmark cflint java script map
Tópico 20	file set code support option creat time number work make note provid class chang type default configur user system includ
Tópico 21	run server databas instal test configur applic file build start deploy properti tomcat mysql user mvn default web db war

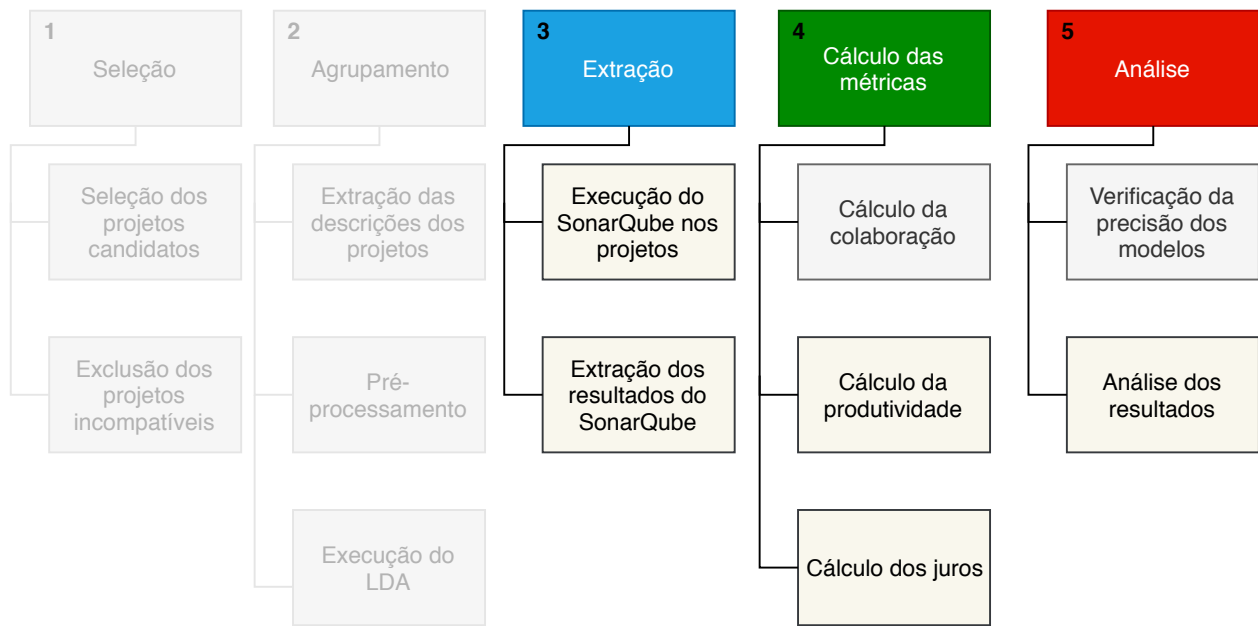
Tópico 22	game mod player minecraft team robot openmr block server main make item build play develop creat place piec gener asset
Tópico 23	build eclips plugin run test maven instal mvn gradl jar gradlew repository java file modul command id target clean org
Tópico 24	data model research analysi databas tool develop rif univers genom gener base public peptideshak comput health repository inform sourc design
Tópico 25	data hadoop spark cluster distribut index node oper read random algorithm process scala exampl deep learn model machin comput pipelin
Tópico 26	api modul schema swagger uri file gener json java document config client batch data library marklog corb javascript codegen option
Tópico 27	spring cloud googl java client code repository applic data servic maven io boot id build add core info pull sourc
Tópico 28	cach counter morphium neo4j info mongodb transact id xxx current data main iteratortest java object query public privat string wrong
Tópico 29	git master branch build tool repository commit pull yourkit clone server plugin push repo job merg upstream fork request instal
Tópico 30	android java studio app event weblog output gem api intern stanford read test statu connect result io ssl relex notif

**Tabela 5.3:** *Tópicos e suas palavras.*

É evidente que nosso agrupamento dos projetos por domínio utilizando apenas sua descrição jamais será totalmente preciso. Isso acontece tanto por imprecisões no LDA quanto por causa do conteúdo das descrições dos projetos. Em alguns casos, essa descrição não permite nem mesmo que um especialista em software consiga identificar qual o propósito do projeto e em qual domínio ele se encaixa. Ainda assim, acreditamos que esse agrupamento aproximado possa ser utilizado de forma eficaz para aumentar a precisão do nosso modelo de estimação dos juros da dívida técnica. De

qualquer forma, ao analisarmos os resultados finais do estudo de caso, iremos comparar os dados obtidos quando realizamos o agrupamento por domínio e quando não realizamos esse agrupamento.

## 5.5 Extração dos dados



**Figura 5.3:** *Resumo das etapas do estudo de caso.*

Nesta etapa do estudo de caso, iremos extrair os dados dos projetos selecionados. Serão extraídas diversas métricas comumente utilizadas para a avaliação de projetos de software tais como quantidade de arquivos, linhas de código e complexidade. Além disso, nessa etapa iremos medir o nível de dívida técnica de cada um dos projetos. Tanto as métricas do software quanto a dívida técnica serão medidas utilizando a ferramenta SonarQube[CP13]. Algumas outras informações como popularidade e colaboração serão obtidas do GHTorrent.

## 5.6 Execução do SonarQube nos projetos

Todas as métricas obtidas do código-fonte dos projetos foram extraídas em cinco pontos diferentes na evolução do software. Para realizar essa divisão utilizamos a quantidade de *commits* de cada projeto. Por exemplo, se um projeto tem 1.000 *commits*, fizemos a extração das métricas quando o projeto tinha apenas 200, depois quando tinha 400,600,800 e finalmente 1.000 *commits*. A Figura 5.4 exibe a porção de código no GitResearch responsável pela contagem dos *commits* de

um projeto. É possível notar que não basta apenas contar a quantidade de *commits* já que, como mostrado na Figura A.2, é possível que um *commit* esteja envolvido em algum *merge* e por isso possua mais de um pai. Para resolver esse problema e podermos navegar corretamente no grafo de *commits*, nós consideramos apenas o primeiro pai encontrado conforme pode ser visto na linha 21 da Figura A.2. O código responsável por executar o SonarQube em cada projeto é exibido na Figura 5.5. Mais detalhes sobre como o Git armazena as versões do software podem ser encontrados no Apêndice A.

```
1 import ...
2
3 public class RunSonarProcessor {
4
5     private int countNumberOfCommits(
6         Repository repository,
7         String defaultBranchName
8     ){
9
10         logger.info("Counting the number of commits.");
11         int numberOfCommits = 0 ;
12         RevWalk walk = new RevWalk(repository);
13         RevCommit head = walk.parseCommit(
14             repository.findRef(defaultBranchName).getObjectId()
15         );
16
17         while (head != null) {
18             numberOfCommits++;
19             RevCommit[] parents = head.getParents();
20             if (parents != null && parents.length > 0) {
21                 head = walk.parseCommit(parents[0]);
22             } else {
23                 head = null;
24             }
25         }
26
27         return numberOfCommits;
28     }
29 }
30 }
31
```

**Figura 5.4:** Código do *GitResearch* responsável por contar a quantidade de *commits* de cada projeto.

```
1 import ...
2
3 public class RunSonarProcessor {
4
5     @Override
6     public Project process(Project project) throws Exception {
7
8
9         String defaultBranchName = getDefaultBranch(gitDirectory);
10        Git git = Git.open(gitDirectory);
11        numberOfCommits = countNumberOfCommits(
12            git.getRepository(), defaultBranchName
13        );
14        frameSize = numberOfCommits / this.frameNumber // frameNumber = 5;
15        for(int i = 0 ; i < this.frameNumber ; i++)
16        {
17            try {
18                git.checkout().
19                    setCreateBranch(false).
20                    setName(defaultBranchName).
21                    setForce(true).call();
22
23                ObjectId Myhead = git.getRepository().
24                    resolve("HEAD~" +
25                        (frameSize * (this.frameNumber - i - 1)));
26                git.checkout().
27                    setForce(true).
28                    setName(Myhead.getName()).
29                    call();
30
31                this.initializeSonar();
32                executeSonarScanner(project, projectDirectory, i + 1);
33            } catch (Exception e)
34            {
35                logger.error("Fail to execute Sonar: "+e.getMessage());
36            }
37        }
38
39        return project;
40    }
41 }
42
```

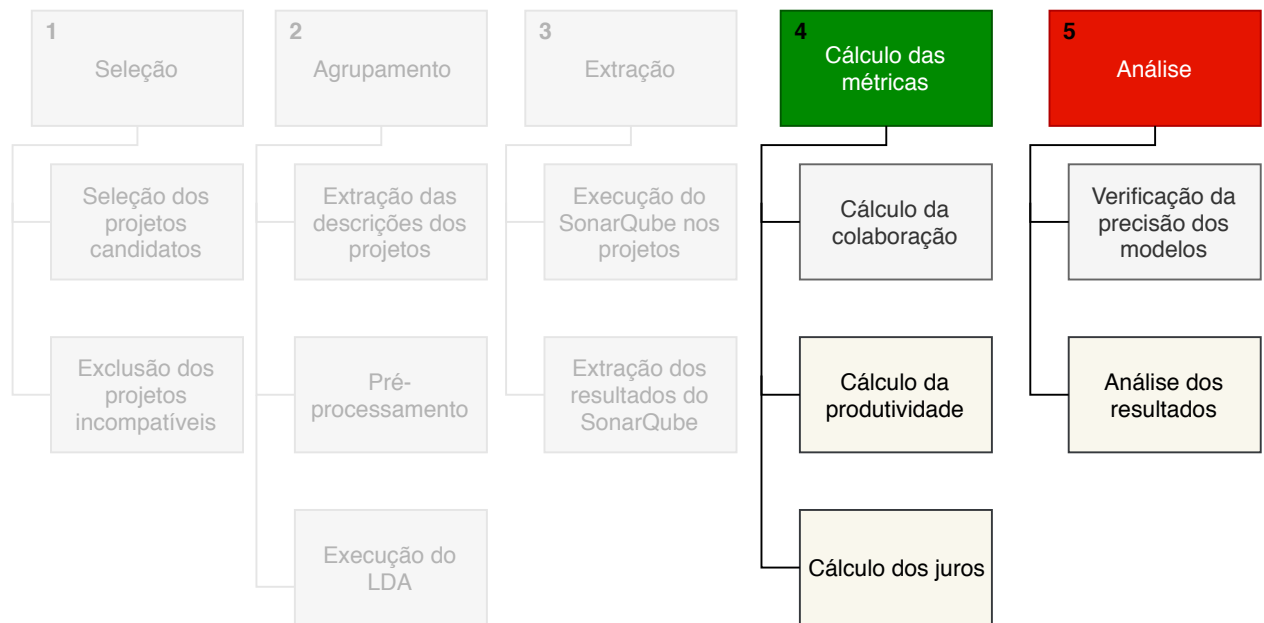
**Figura 5.5:** Código responsável por executar o scanner do SonarQube em cada projeto.

## 5.7 Extração dos resultado do SonarQube

Após a execução do SonarQube em todos os projetos do estudo de caso, tivemos que realizar um processo para extrair os dados obtidos e utilizá-los nas demais etapas do estudo de caso.

Essa extração foi realizada pelo GitResearch utilizando a API fornecida pelo SonarQube. Um detalhamento mais completo a respeito de todos os dados obtidos e como acessá-los é fornecido no Apêndice B.

## 5.8 Cálculo das métricas



**Figura 5.6:** *Resumo das etapas do estudo de caso.*

### 5.8.1 Cálculo da colaboração

Conforme descrito anteriormente, consideraremos a colaboração realizada em um projeto como a entrada em nossa estratégia de avaliação de produtividade. Se um projeto tem muita contribuição e pouca evolução, esse projeto será considerado improdutivo. Da mesma forma, se um projeto tem pouca contribuição, mas tem muita evolução, esse projeto será considerado produtivo.

Conforme descrito no item 3.6, utilizaremos três modelos diferentes para calcular a colaboração dos projetos: colaboradores/dia, quantidade de colaboradores e assiduidade e qualidade da colaboração. A seguir descreveremos detalhes de como os dados de cada um desses modelos foram obtidos.

#### Colaboradores/Dia

Como não tínhamos a disposição a quantidade de horas de contribuição de cada colaborador, tivemos que realizar uma aproximação. Essa aproximação foi realizada substituindo a quantidade

de horas pela quantidade de dias em que um colaborador atuou no projeto. A quantidade de dias foi calculada observando a diferença em dias entre a data do primeiro *commit* e a data do último *commit*.

### Quantidade de colaboradores

Nesse modelo de cálculo da colaboração utilizamos apenas a quantidade de colaboradores em cada projeto. Não foi considerado de nenhuma forma o volume de contribuição de cada colaborador.

### Assiduidade e qualidade da colaboração

Conforme o Capítulo 3, a colaboração de um projeto será avaliada por meio de um índice que será calculado conforme a equação 5.1. O valor  $A(u)$  representa a assiduidade com o qual o colaborador  $u$  contribuiu para o projeto  $r$ . Já o valor  $Q(u)$  representa a qualidade do colaborador  $u$ . o Conjunto  $u(R)$  contém todos os colaboradores que contribuíram no projeto  $r$ . A seguir descreveremos como foi calculado o  $I_c$  de cada projeto.

$$I_c(r) = \sum_{u \in u(R)} A(u) * Q(u) \quad (5.1)$$

**Qualidade de colaboração** Utilizamos a estratégia descrita no item 3.6.1 para calcular a qualidade de cada colaborador. Basicamente, para avaliar a qualidade realizamos uma análise no grafo com os relacionamentos entre colaboradores. Um colaborador será considerado de alta qualidade se ele possui muitos seguidores, contribuiu com projetos relevantes e colaborou com outros colaboradores de qualidade. O cálculo de colaboração foi implementado na ferramenta GitResearch. A Figura 5.7 mostra uma das principais funções implementadas. Nela é realizado o cálculo do *pagerank* tanto dos colaboradores quanto dos projetos. As outras partes da estratégia foram implementadas com o auxílio dos dados disponibilizados pelo GHTorrent. A complexidade dessa implementação está na imensa quantidade de relacionamentos que precisam ser avaliados. Por exemplo, a relação “seguir” e “ser seguido” de todos os colaboradores que contribuíram com os projetos analisados gerou um grafo de aproximadamente 2 milhões de nós. Com isso, foi necessária a utilização de um hardware potente para que esses relacionamentos fossem calculados em um tempo viável para a realização do estudo de caso.

```

1 ...
2     public void calculatePageRank(nodes)
3     {
4         double dumpFactor = 0.85;
5         // Setting default rank
6         nodes.forEach((k, v) -> v.setRank(1 - dumpFactor/nodes.size()));
7         // First node to visit
8         Node node = nodes.entrySet().iterator().next().getValue();
9         double nodeRank = 0;
10        int totalInteractions = 0 ;
11        while(true) {
12            double followersRank = 0;
13            for (Node follower : node.getIn()) {
14
15                followersRank += follower.getRank()/follower.getOut().size();
16            }
17            nodeRank = node.getRank()+(dumpFactor* followersRank);
18            node.setRank(nodeRank);
19            if(Math.random() < dumpFactor && user.getOut().size() > 0)
20            {
21                node = walk(node);
22            }else{
23                node = randomWalk(nodes);
24            }
25            totalInteractions++;
26            if(totalInteractions > 70_000_000)
27            {
28                System.out.println("Max interactions");
29                break;
30            }
31        }
32    }
33
34    private static Node randomWalk(Map<Integer,Node> nodes)
35    {
36        Random random = new Random();
37        List<Integer> keys = new ArrayList<Integer>(nodes.keySet());
38        Integer randomKey = keys.get( random.nextInt(keys.size()) );
39        Node node = nodes.get(randomKey);
40        return node;
41    }
42
43    private static Node walk(Node node)
44    {
45        Random random = new Random();
46        return node.getOut().get(random.nextInt(node.getOut().size()));
47    }
48
49
50 }

```

Figura 5.7: Código responsável por calcular o pagerank.



**Assiduidade** Analisando o banco de dados de commits disponibilizado pelo projeto GHTorrent até o mês de dezembro de 2017 pudemos calcular que a média de commits que um colaborador faz por dia em um mesmo projeto. O resultado desse cálculo foi: 1,16. Com isso, a assiduidade de um colaborador será calculada utilizando a equação 5.2. Nessa equação  $D_r$  representa a quantidade de dias que um projeto possui desde o primeiro *commit* até o último. Já a variável  $N(u_r)$  representa a quantidade de *commits* que o colaborador  $u$  realizou no projeto  $r$ . Se um colaborador tem uma média diária de *commits* maior do que 1,16, sua assiduidade no projeto será maior do que 1. Caso contrário, sua assiduidade será menor do que 1. Quanto mais *commits* um colaborador fez em um projeto, maior será a sua assiduidade.

$$A(u_r) = \frac{N(u_r)}{1,16 * D_r} \quad (5.2)$$

### 5.8.2 Cálculo da produtividade

A produtividade de cada projeto foi estimada, conforme a sessão 3.2, observando a relação entre a colaboração estimada e a colaboração real. Como utilizamos três modelos diferentes para avaliar a colaboração, cada projeto também terá três valores para a sua produtividade estimada.

O cálculo da produtividade de cada projeto foi realizado seguindo os seguintes etapas para cada modelo de colaboração:

1. Foi calculada a colaboração real do projeto de acordo com o modelo de colaboração.
2. Foi realizada uma regressão linear múltipla tendo como variável dependente a colaboração real do projeto e como variáveis independentes a quantidade de linhas de código, quantidades de *watchers* e a quantidade de *pull requests*.
3. Utilizando os coeficientes obtidos pela regressão linear, foi calculado o valor ajustado para a medida de colaboração de cada projeto. Esse valor ajustado corresponde ao valor esperado de contribuição para que tivessem sido alcançados os resultados do projeto. Um projeto produtivo é aquele com um valor ajustado de colaboração maior do que o valor real de colaboração.
4. Foi calculada a produtividade estimada de cada projeto utilizando a equação 5.3.

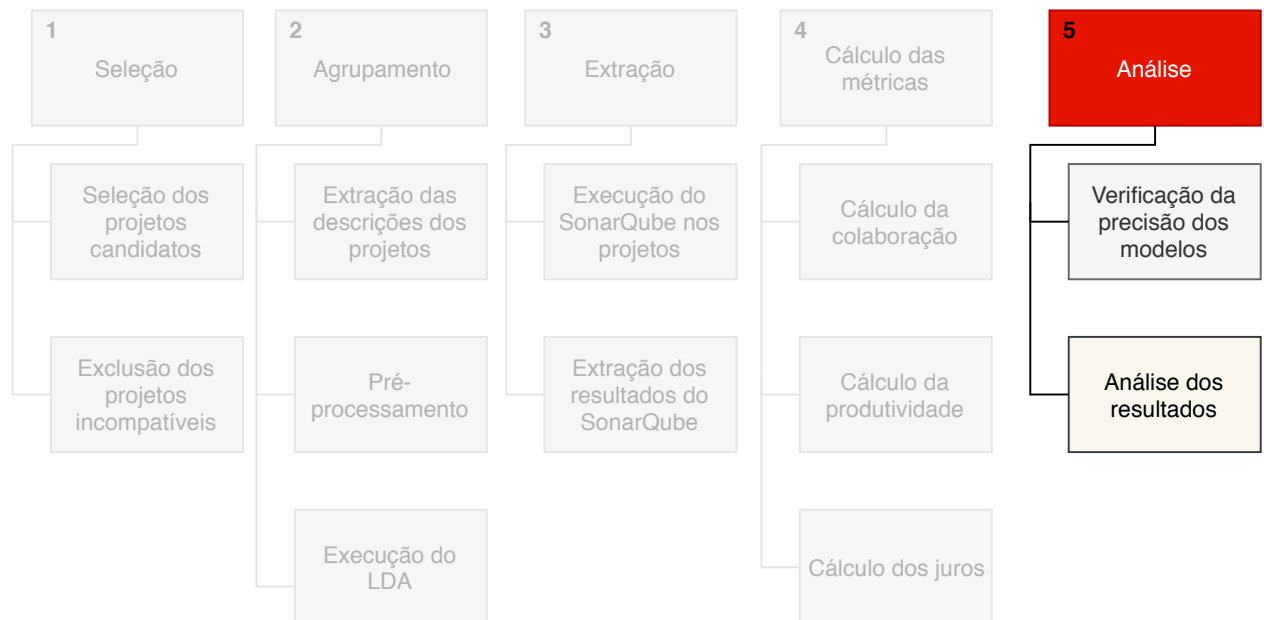
$$Productivity = AdjustedSize/Effort \quad (5.3)$$

## 5.9 Cálculo dos juros

Os juros foram calculados por tópico seguindo uma adaptação do procedimento descrito na sessão 3.3.1:

1. Os projetos de cada tópico foram separados em duas partições, representando os cenários descritos no Capítulo 3:
  - **Sem dívida técnica:** Projetos que estivessem entre os 5% com menos dívida técnica. A quantidade de dívida técnica de cada projeto foi calculada como a média das cinco medições do campo `SQALE_DEBT_INDEX`. Conforme apresentado na Tabela 4.1, esse campo armazena a proporção entre dívida técnica e tamanho de um projeto.
  - **Com dívida técnica:** Todos os outros projetos.
2. Foi calculada a produtividade média dos projetos em cada partição.
3. Os juros foram calculados como a diferença entre a produtividade média das duas partições.

## 5.10 Análise



**Figura 5.8:** Resumo das etapas do estudo de caso.

Para avaliarmos os dados obtidos durante o estudo de caso realizaremos uma análise exploratória. Serão apresentadas diversas estatísticas e visualizações com o intuito de fornecer um pa-

norama a respeito das informações encontradas. Todas as métricas foram obtidas em cinco pontos diferentes da evolução dos projetos. Entretanto, quando não explicitado o contrário, todas as tabelas e gráficos são relativos aos valores mais recentes, isto é, foram criadas utilizando os dados da última leitura realizada.

### 5.10.1 Análise dos resultados

A tabela 5.10.1 apresenta um resumo com as principais medidas descritivas das métricas extraídas dos projetos. Existem alguns aspectos interessantes na Tabela 5.10.1. Um deles é a existência de métricas nas quais o valor mínimo encontrado foi zero. Ao analisarmos esses projetos com valor zero nessas métricas, pudemos observar que isso ocorreu devido ao fato de esses projetos terem sido descontinuados recentemente. Com isso, o código fonte na última leitura que realizamos foi apagado ou drasticamente diminuído.

Outra aspecto relevante da Tabela 5.10.1 é o comportamento da métrica **sqale debt ratio**. Conforme a Tabela 4.1, essa métrica armazena a proporção entre o tamanho do software e a sua dívida técnica. Como podemos ver, essa métrica tem um desvio padrão próximo a 1. Isso indica que não há uma grande variação da proporção da dívida técnica entre os projetos. Entretanto, o valor máximo é de 12,4. Isso é um indício da existência de *outliers*. De acordo com Hawkins et al. [Haw80], um *outlier* é um valor que se afasta demasiadamente dos demais de uma série ou é um valor medido incorretamente. Para verificarmos se não houve alguma falha na medição, realizamos uma análise dos 30 projetos com os maiores valores nessa métrica. Em todos os casos, o valor medido anteriormente foi confirmado. Analisando o código-fonte desses projetos, chegamos às seguintes razões para o elevado nível de dívida técnica:

- A existência de códigos de teste com um nível de qualidade muito inferior ao restante do software.
- A existência de arquivos e códigos descontinuados(*deprecated*).
- Uma acentuada despreocupação dos colaboradores em seguir as boas práticas do desenvolvimento de software.

	Des. Padrão	Mín.	1º Quart.	Mediana	Média	3º. Quart.	Máx.
<i>CODE_SMELLS</i>	10736,52	0,0	637,2	1781,5	4897,7	4613,2	176454
<i>COGNITIVE_COMPLEXITY</i>	24376,92	0	1378	4176	12004	12174	440187
<i>COMMENT_LINES</i>	41883,15	5	1624	5083	17419	15624	690566
<i>COMMENT_LINES_DENSITY</i>	8,274049	0,10	7,60	12,10	13,58	18,20	64,10
<i>COMPLEXITY</i>	27665,5	0	2507	6244	15453	16386	413387
<i>DIRECTORIES</i>	275,1348	1	34	79	169,2	183,8	3743,0
<i>DUPLICATED_LINES</i>	44410,89	0	779	3155	15926	11737	577213
<i>DUPLICATE_LINES_DENSITY</i>	8,683636	0	2,400	5	7,367	8,90	97
<i>DUPLICATED_BLOCKS</i>	3415,468	0	41	169	974,7	647,8	79718
<i>DUPLICATED_FILES</i>	363,5063	0	17	57	166,5	159	6078
<i>FILES</i>	1523,965	1	208	458,5	963,1	1056,2	20849
<i>FUNCTIONS</i>	14230,68	2	1468	3453	8226	8561	168295
<i>NLOC</i>	155979,5	30	15973	37429	91572	98373	1996351
<i>SQALE_DEBT_RATIO</i>	0,9809708	0,10	1,10	1,50	1,73	2,10	12,40
<i>SQALE_RATING</i>	0,1121445	1	1	1	1,01	1	3
<i>STATEMENTS</i>	71565,78	0	6401	15784	40319	43096	912227
<i>VIOLATIONS</i>	11374,37	0	708	1935	5319	5057	176844

**Tabela 5.4:** *Sumário das medidas descritivas das métricas obtidas dos projetos.*

### 5.10.2 Distribuição dos projetos por tópicos

Os projetos foram distribuídos em 30 tópicos após a aplicação do LDA. A Figura 5.9 apresenta a quantidade de projetos em cada um dos tópicos. Podemos observar que não houve uma distribuição uniforme dos projetos em cada tópico. Alguns tópicos como o 13 tiveram uma quantidade maior de projetos. Enquanto isso, alguns tópicos como o 28 e 10 tiveram uma quantidade significativamente menor de projetos. Existem algumas razões para essa variação:

- A existência de alguns assuntos que genuinamente possuem mais projetos relacionados no GitHub. Esse é o caso, por exemplo, do tópico 9 que é o segundo maior tópico obtido. Na Tabela 5.3 podemos ver as palavras presentes nesse tópico e com isso, inferir que os projetos presentes nele são relacionados a aplicações para a internet. Isso explica a quantidade maior de projetos já que esse é um domínio popular.
- As deficiências na utilização do LDA para a categorização de projetos de software. No caso

do tópico 13, uma das possíveis razões para o seu alto número de projetos é a quantidade de palavras muito comuns que ele possui. De acordo com a Tabela 5.3, as duas primeiras palavras desse tópico são *issue* e *contribution*. Essas palavras são demasiadamente comuns na descrição de projetos de software livre. Isso fez com que o tópico 13 fosse o tópico com o maior número de projetos.

Para facilitar a visualização do comportamento dos dados realizamos um agrupamento dos tópicos por domínio conforme mostrado na Tabela 5.10.2. Esse agrupamento foi feito observando as palavras de cada um dos tópicos e analisando alguns dos projetos de cada tópico. Foram identificados 7 domínios: Aplicação, Gerenciamento de Dados, Ferramenta, Arcabouço, Middleware, Biblioteca e Outro. Todos os projetos que não puderam ser classificados foram colocados no domínio Outro. A Figura 5.10 apresenta a distribuição dos projetos dentro dos 7 domínios. É possível notar que houve uma distribuição mais uniforme dos projetos quando é realizado o agrupamento dos tópicos em domínios.

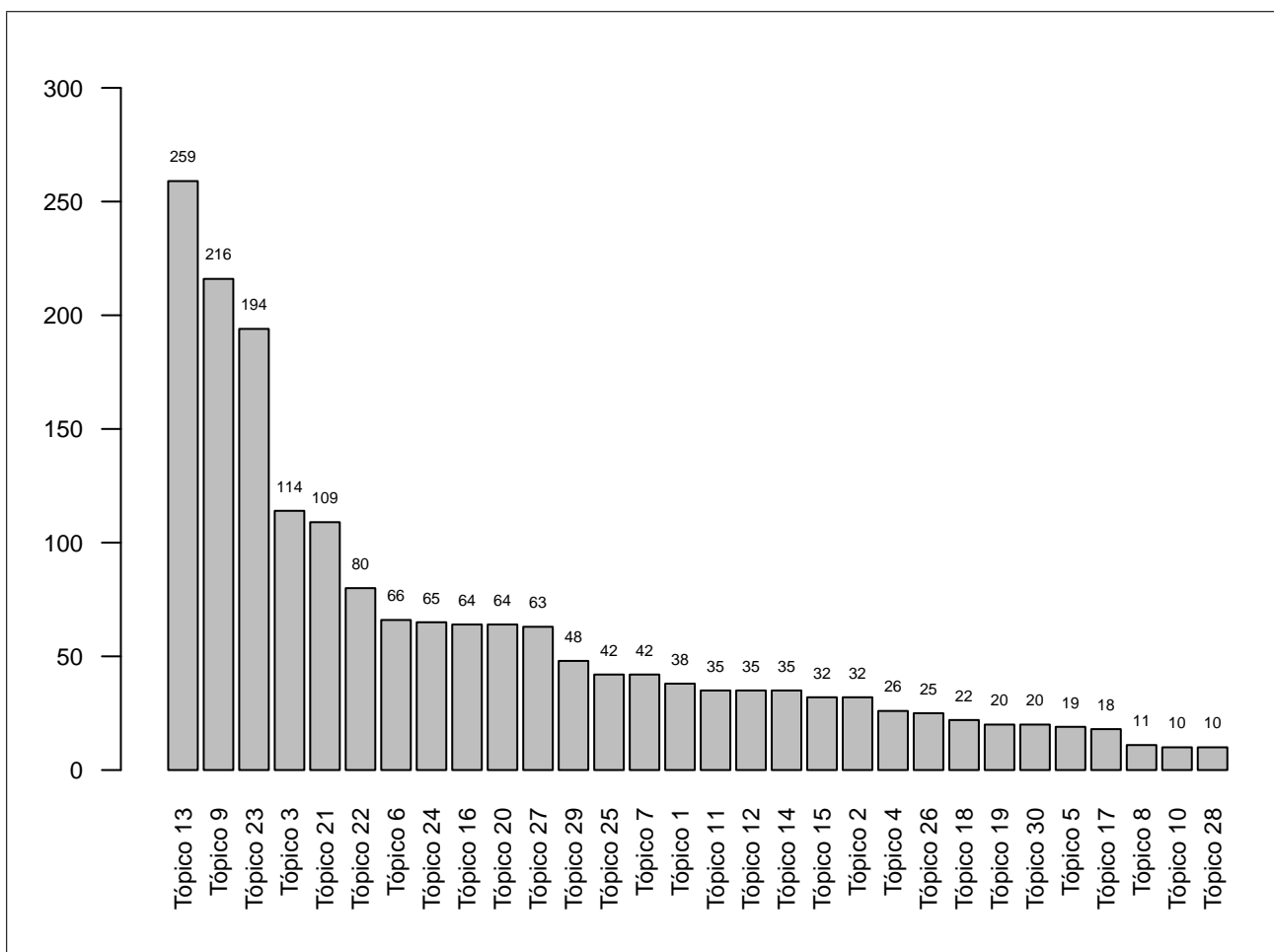
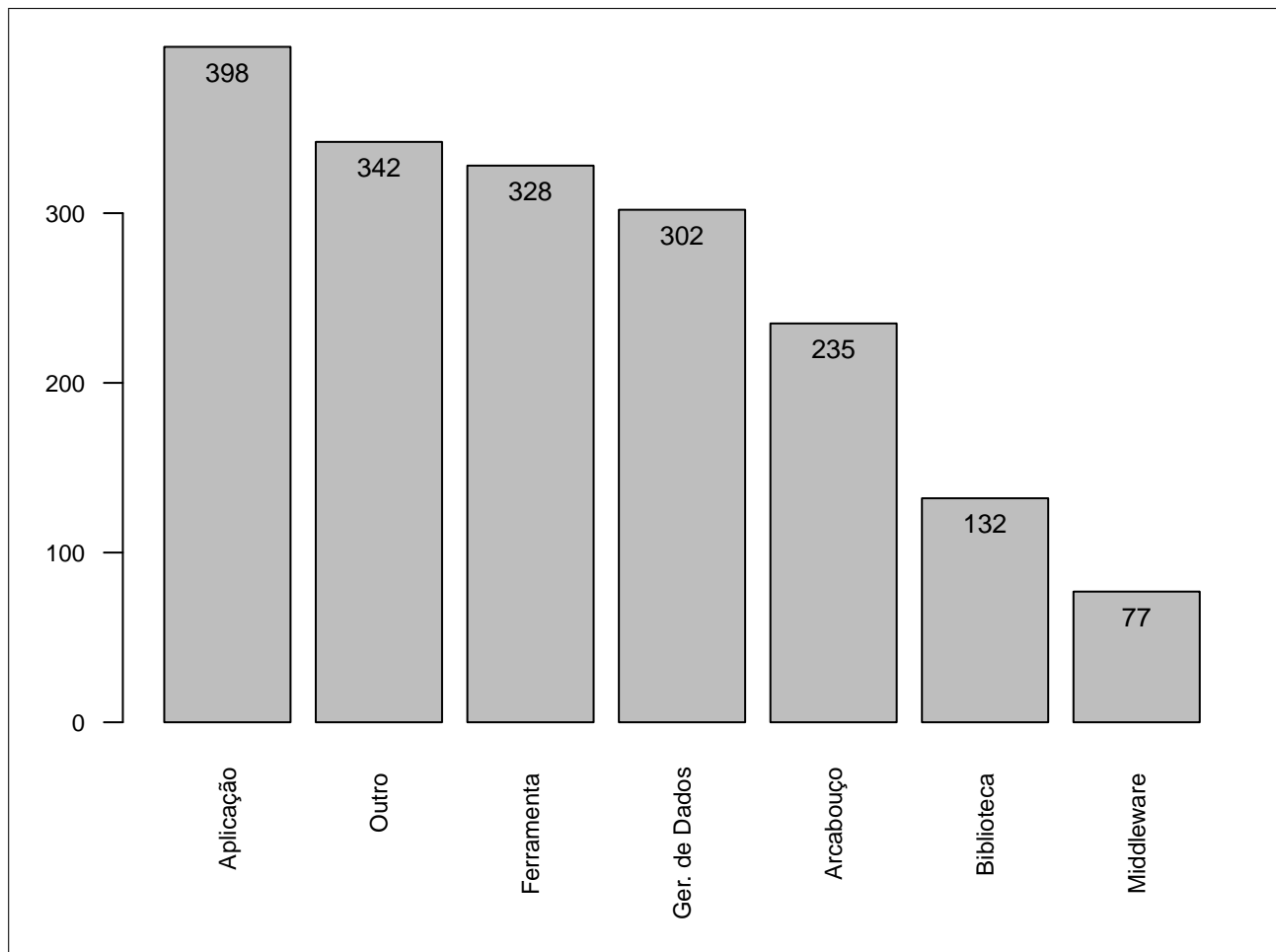


Figura 5.9: Quantidade de projetos por tópico do LDA.

Domínio	Tópicos	Descrição	Exemplos
Aplicação	1, 4, 9, 10, 17, 22, 28	Programas voltados para o usuário final.	Morphium, XPrivacy, Mule, SilenceIM
Gerenciamento de dados	2, 5, 12, 21, 24, 25	Aplicações para processamento e gerenciamento de dados.	Asterixdb, Cassandra, Hive, Hibernate-ogm
Ferramenta	3, 23, 30	Ferramentas de desenvolvimento.	Cloudify, Kotlin-eclipse, Bitcoinj, Pentaho-kettle
Arcabouço	6, 18, 19, 20, 27	Arcabouços para o desenvolvimento de software.	Spring-cloud-commons, Guava, arquillian-cube
Middleware	7, 14	Aplicações voltadas para a infraestrutura.	Docker-maven-plugin, s3proxy, aws-mock
Biblioteca	8, 15, 16, 26	Bibliotecas de códigos.	Tnt4j, Swagger-codegen, java-client-api
Outro	11, 13, 29	Não puderam ser classificados.	Abstools, react-native, RxJava, vraptor4

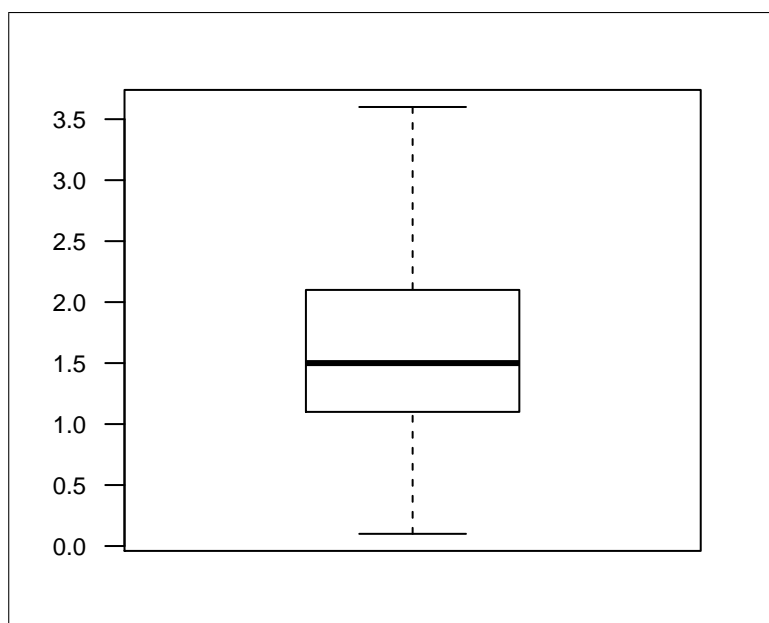
**Tabela 5.5:** *Tópicos agrupados em domínios.*



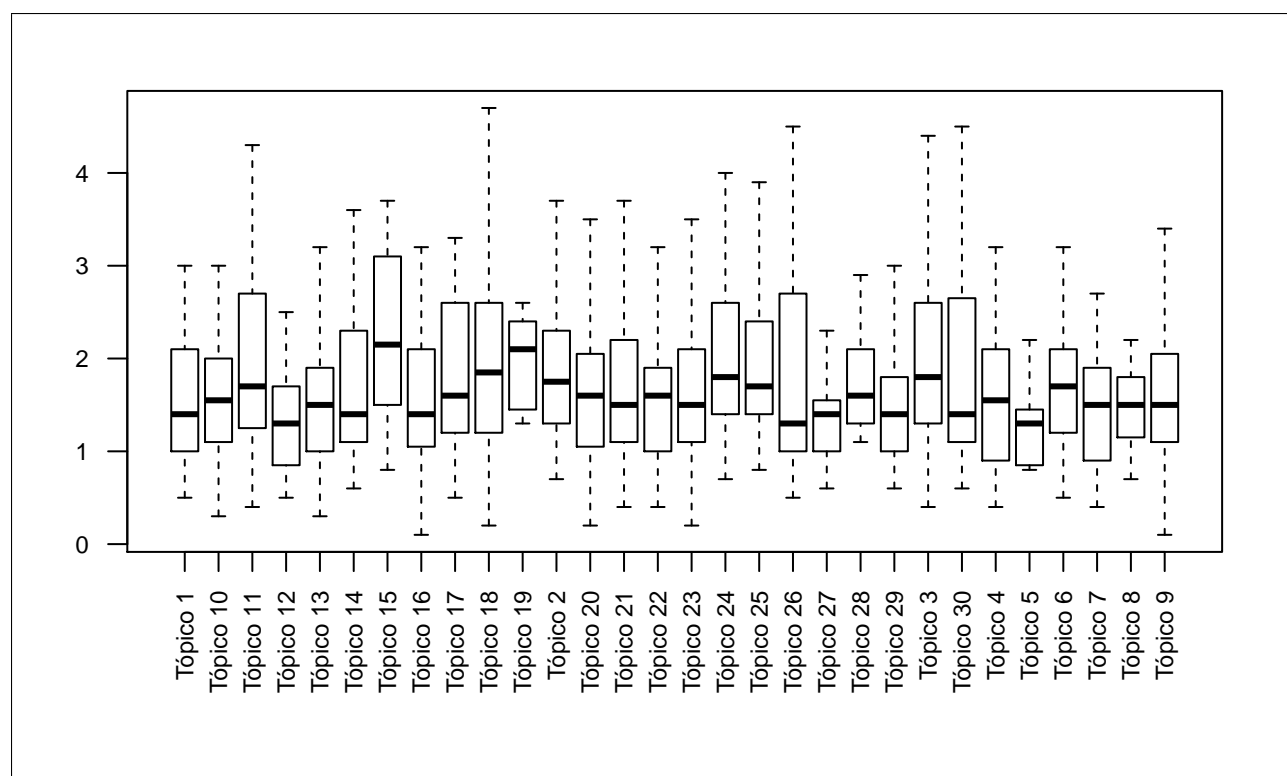
**Figura 5.10:** *Quantidade de projetos por domínio.*

### 5.10.3 Dívida técnica

A Figura 5.11 apresenta um *boxplot* a respeito da distribuição da dívida técnica em todos os projetos do estudo de caso. Conforme pode ser visto, a mediana se aproxima de 1,5. Isso vai de encontro a resultados de pesquisas anteriores em que o valor da mediana era próximo de três[dJdM17]. As Figura 5.12 e 5.13 apresentam *boxplots* com a distribuição do valor da dívida técnica dos projetos agrupados por tópicos e domínios, respectivamente.

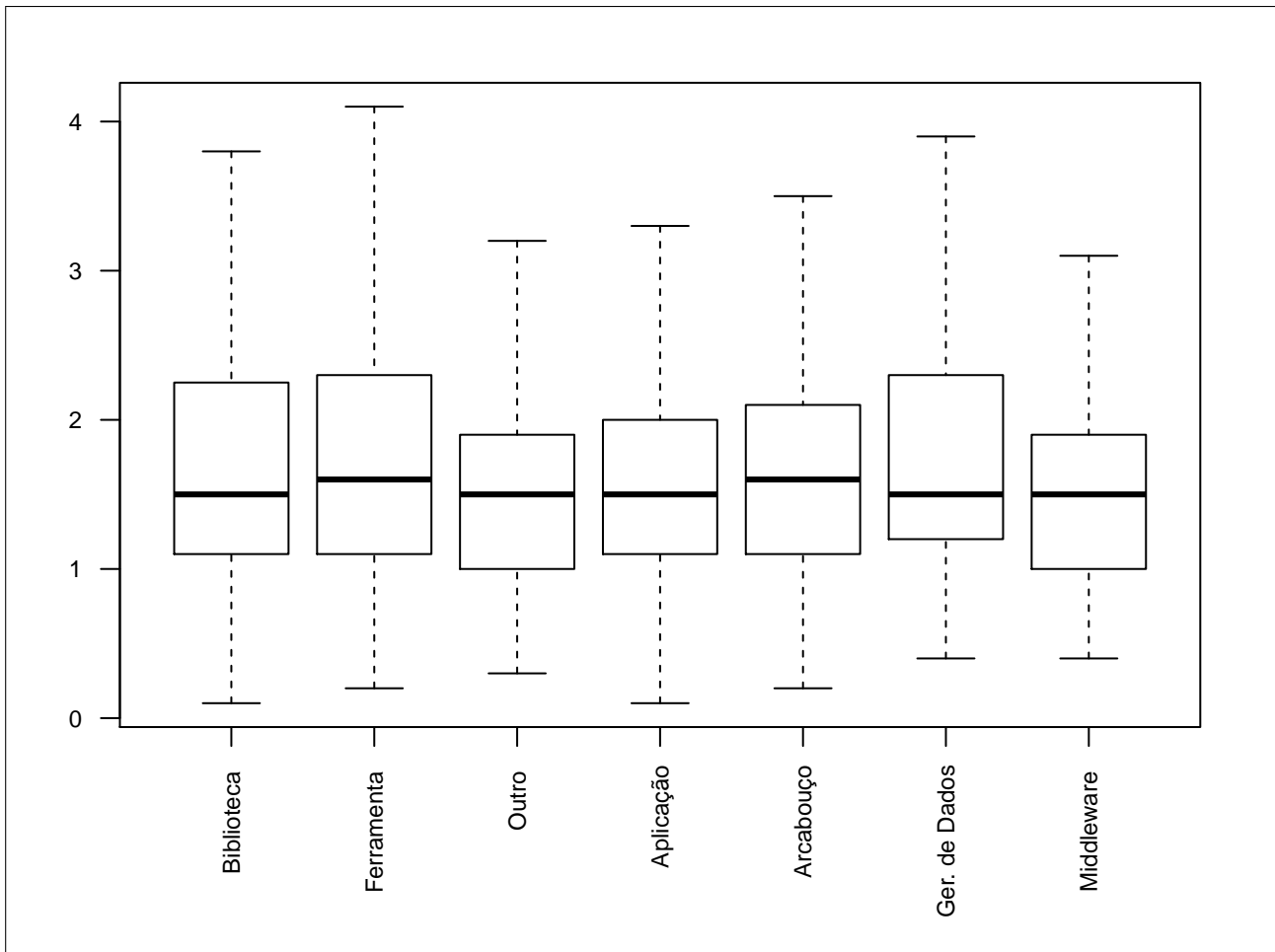


**Figura 5.11:** *Dívida técnica.*



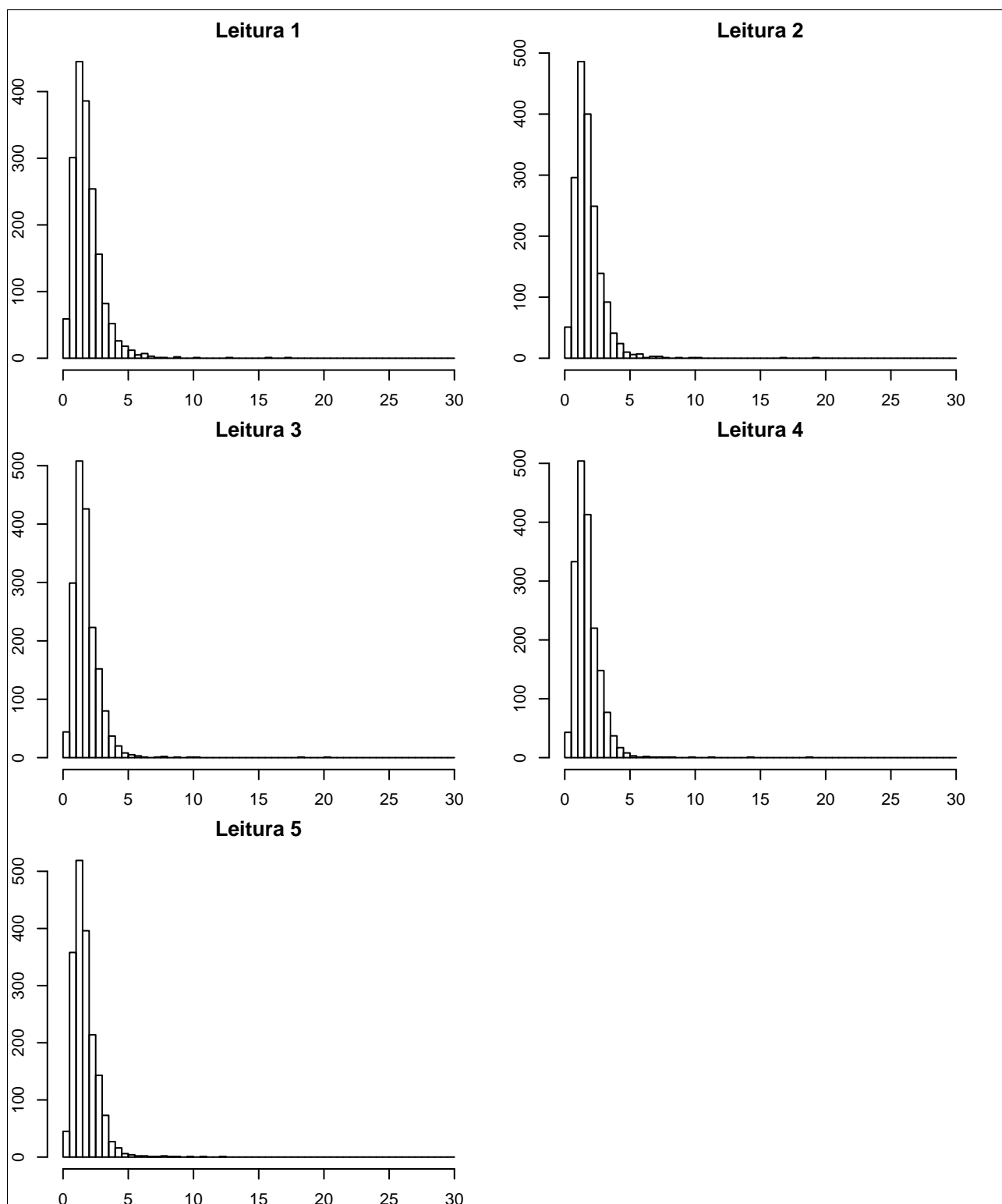
**Figura 5.12:** *Dívida técnica por tópico.*





**Figura 5.13:** Dívida técnica por domínio.

Na Figura 5.14 é apresentado um histograma, com a quantidade de projetos por intervalo de dívida técnica, para cada leitura realizada.



**Figura 5.14:** Dívida técnica por domínio.

Por termos feito cinco leituras em períodos diferentes da evolução dos projetos, podemos analisar a evolução da dívida técnica nos mesmos. A Figura 5.15 apresenta a evolução da dívida técnica nos projetos agrupados por domínio. É possível notar que há predominantemente uma tendência de queda. Ou seja, à medida que os projetos evoluem, o nível da dívida técnica cai. Entretanto, essa

variação temporal é pequena. Um exemplo são os projetos do domínio **aplicação**. Inicialmente a média da dívida técnica desses projetos foi de aproximadamente 1,9. Entretanto, com o passar do tempo, essa média caiu para 1,65.

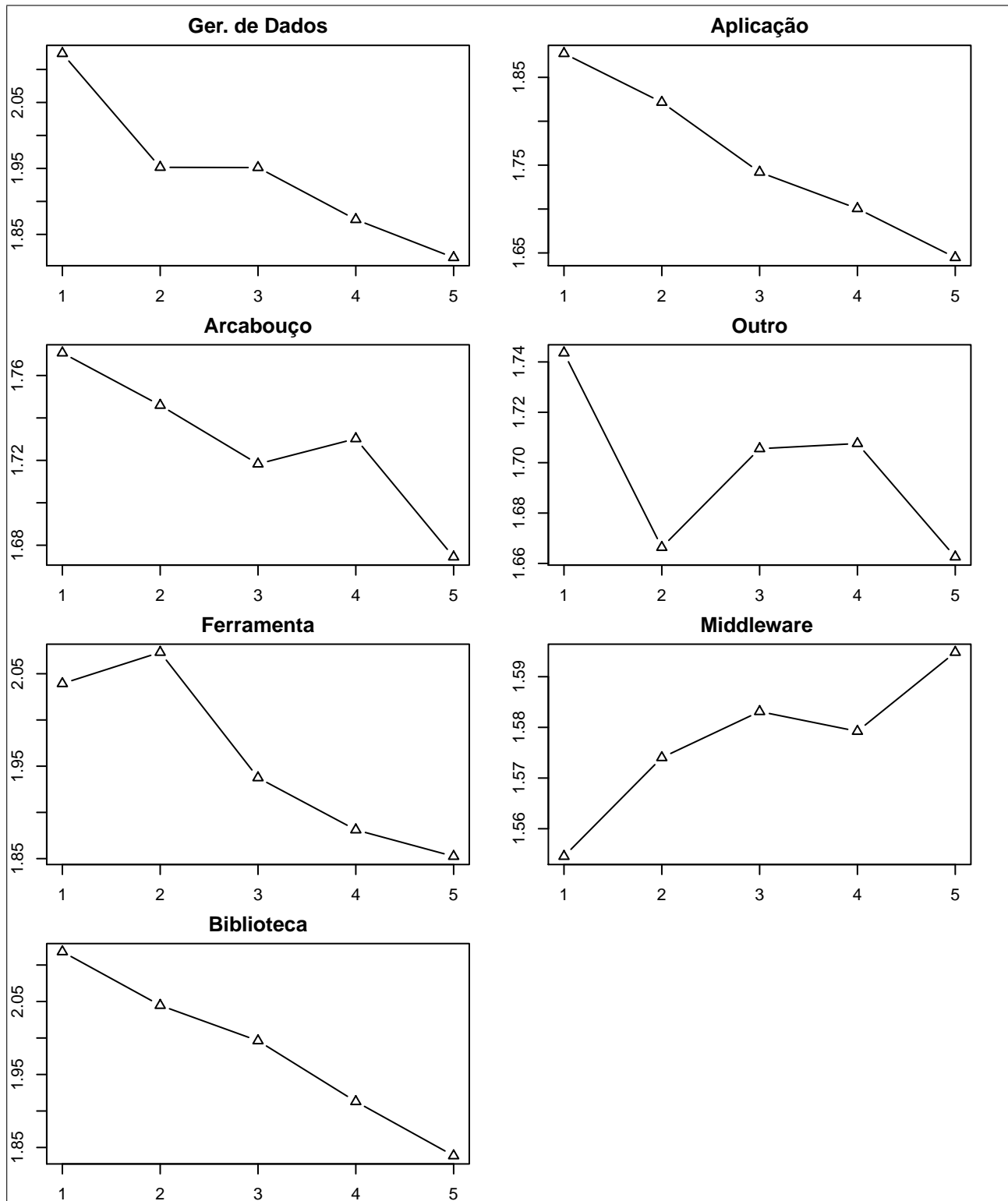
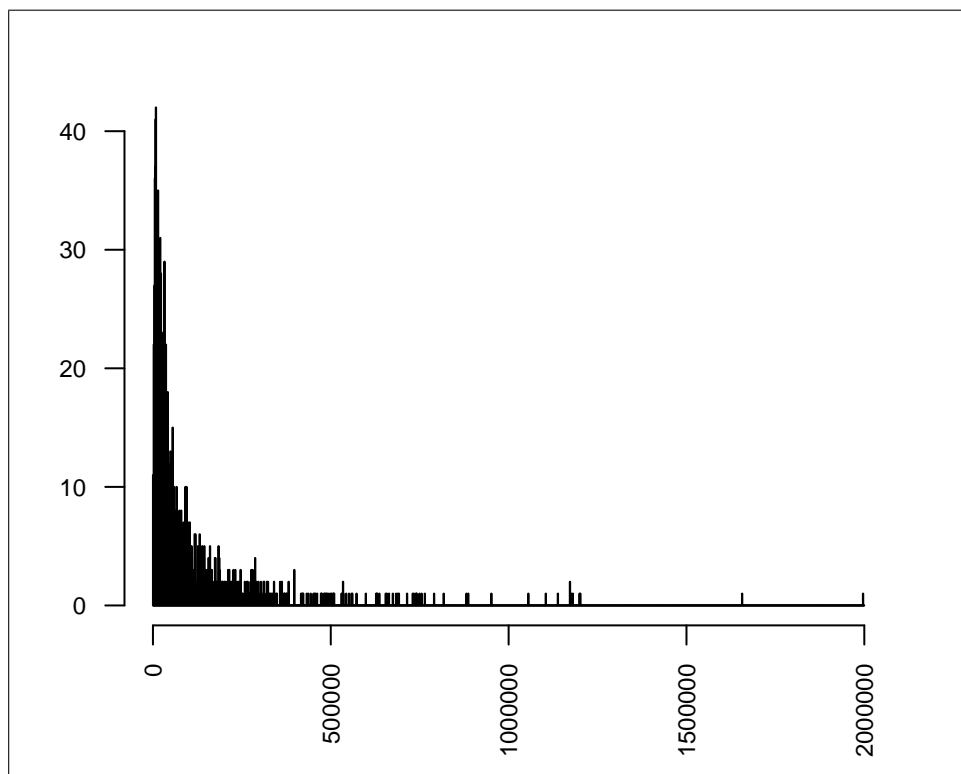


Figura 5.15: Evolução da dívida técnica por domínio.

#### 5.10.4 Tamanho dos projetos

A Figura 5.16 apresenta um histograma com o número de projetos por faixa de tamanho. É possível verificar que grande parte dos projetos tem menos do que quinhentas mil linhas de código-fonte. Porém, existem alguns projetos acentuadamente maiores e que ultrapassam as cem mil linhas. As Figuras 5.16 e 5.18 apresentam *boxplots* com a distribuição da quantidade de linhas de código agrupadas por tópicos e domínios respectivamente. Já a Figura 5.19 apresenta a evolução da quantidade de linhas de código entre as leituras realizadas. Como esperado, há uma tendência de crescimento já que a medida que o software evoluiu, mais linhas de código são inseridas.



**Figura 5.16:** *Frequência de projetos por intervalo de número de linhas de código.*

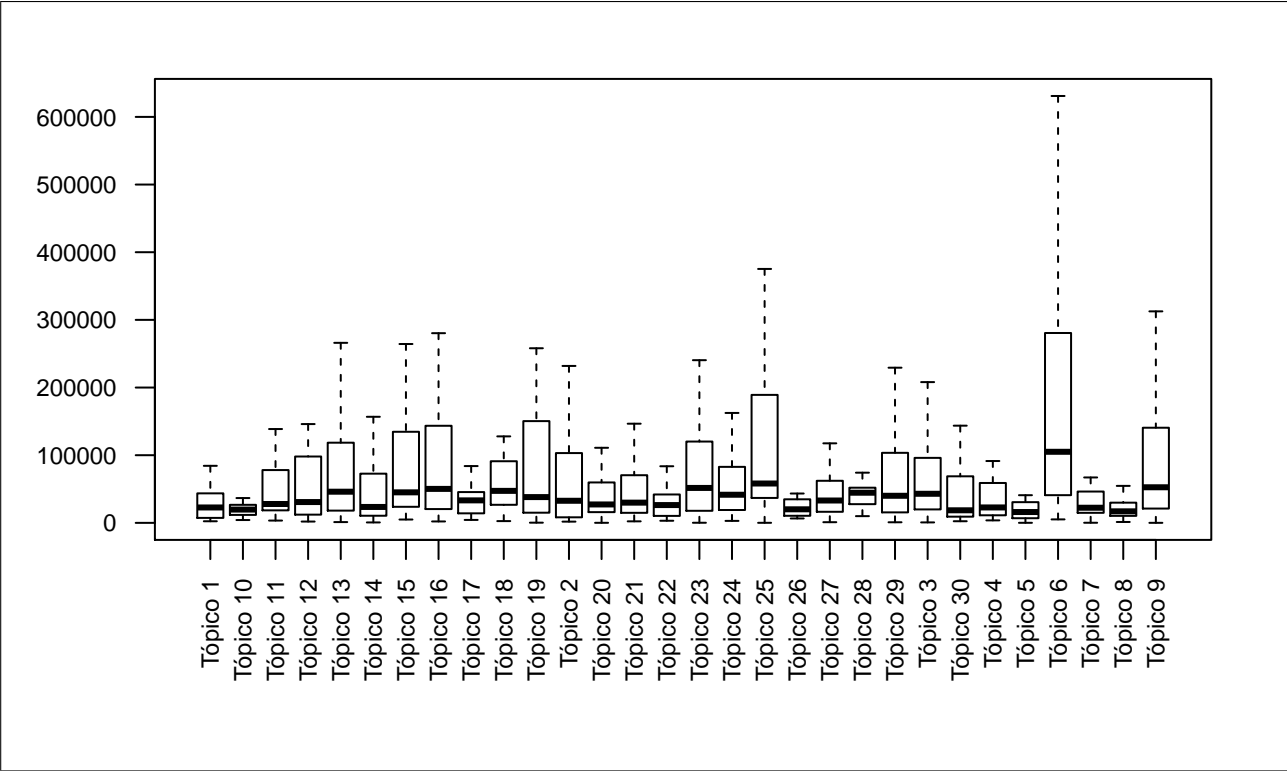


Figura 5.17: Dívida técnica por domínio.

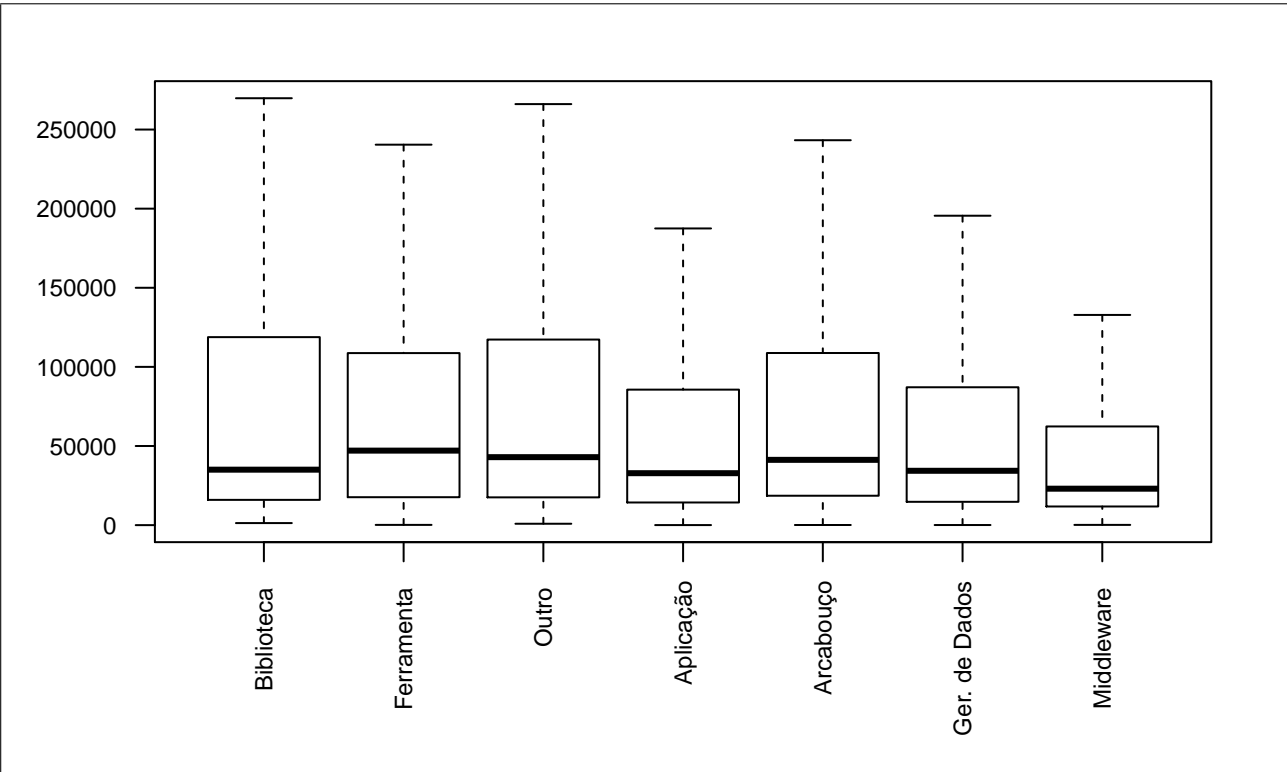


Figura 5.18: Dívida técnica por domínio.

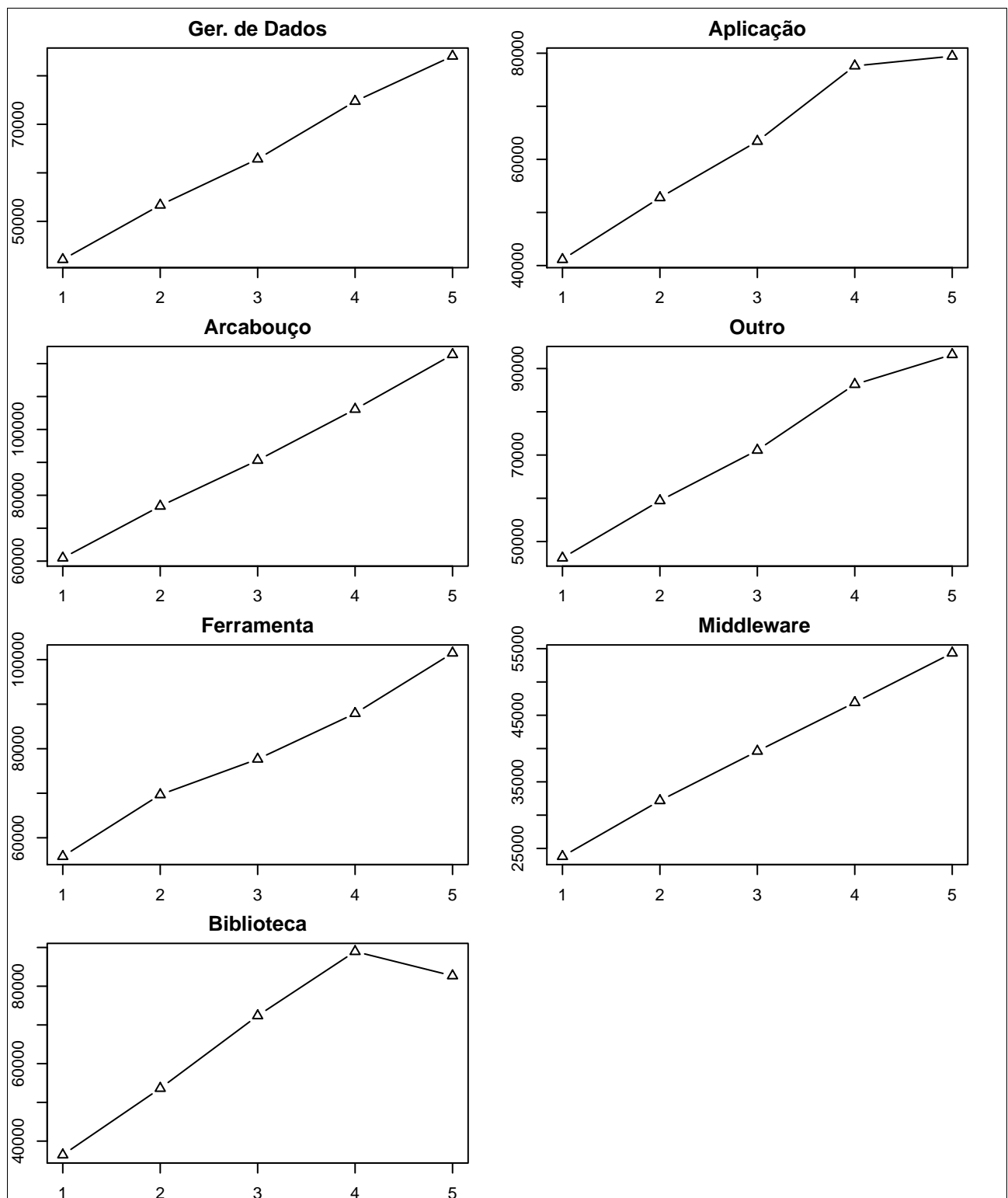


Figura 5.19: Dívida técnica por domínio.

### 5.10.5 Correlações entre a dívida técnica e as métricas de tamanho

Nas Figuras 5.20, 5.21 e 5.22 foram exibidas as correlações entre a dívida técnica e as variáveis linhas de código, *watchers* e *pull requests*, respectivamente. Conforme pode ser notado, apenas há indício de correlação com a variável linhas de código. Ainda assim, essa correlação, medida de forma

geral, sem separação por domínios, é de apenas 0,1164773 com  $p$ -value de 0,0000006545.

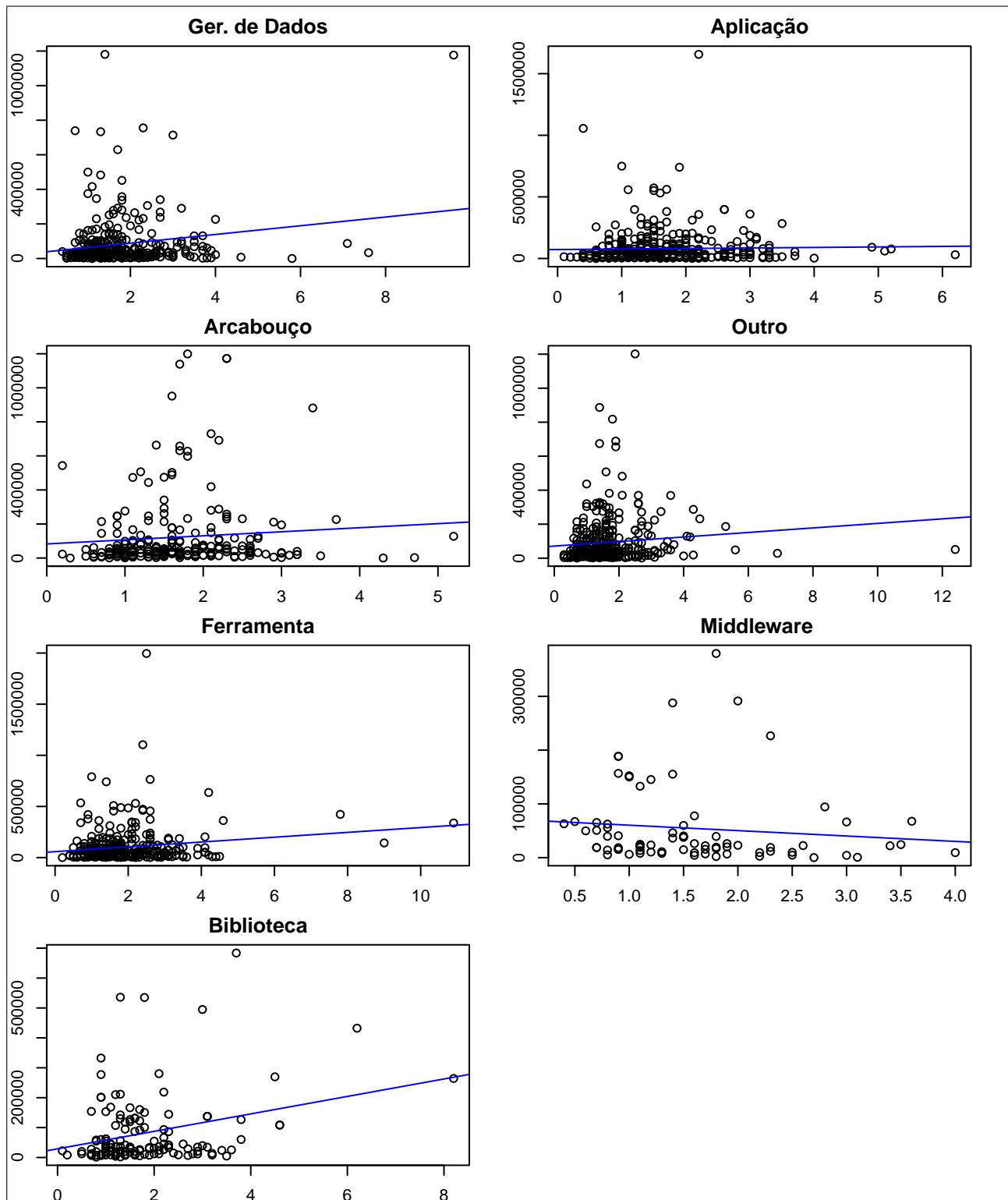


Figura 5.20: Correlação entre a dívida técnica e a quantidade de linhas de código.

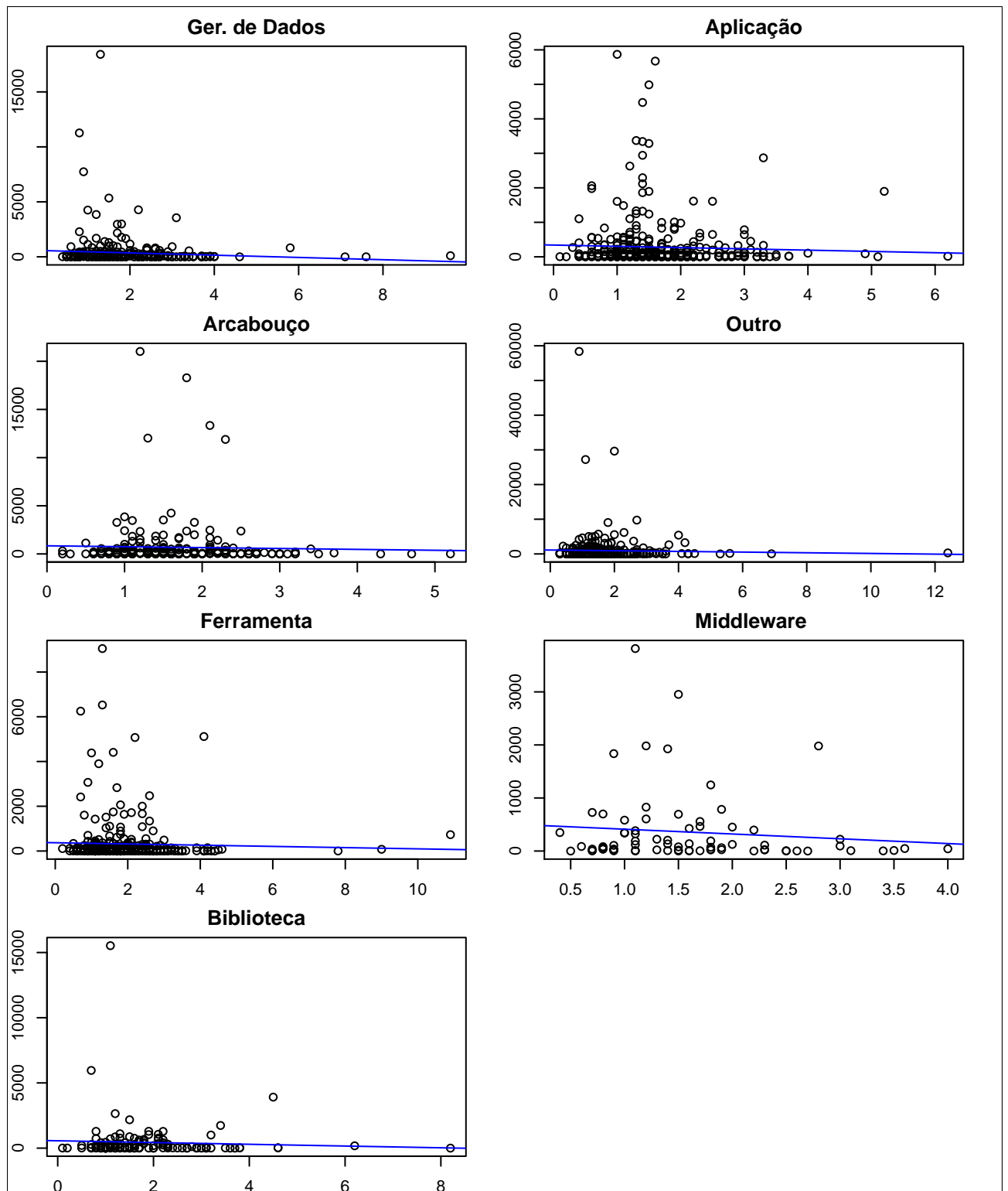


Figura 5.21: Correlação entre a dívida técnica e a quantidade de watchers.



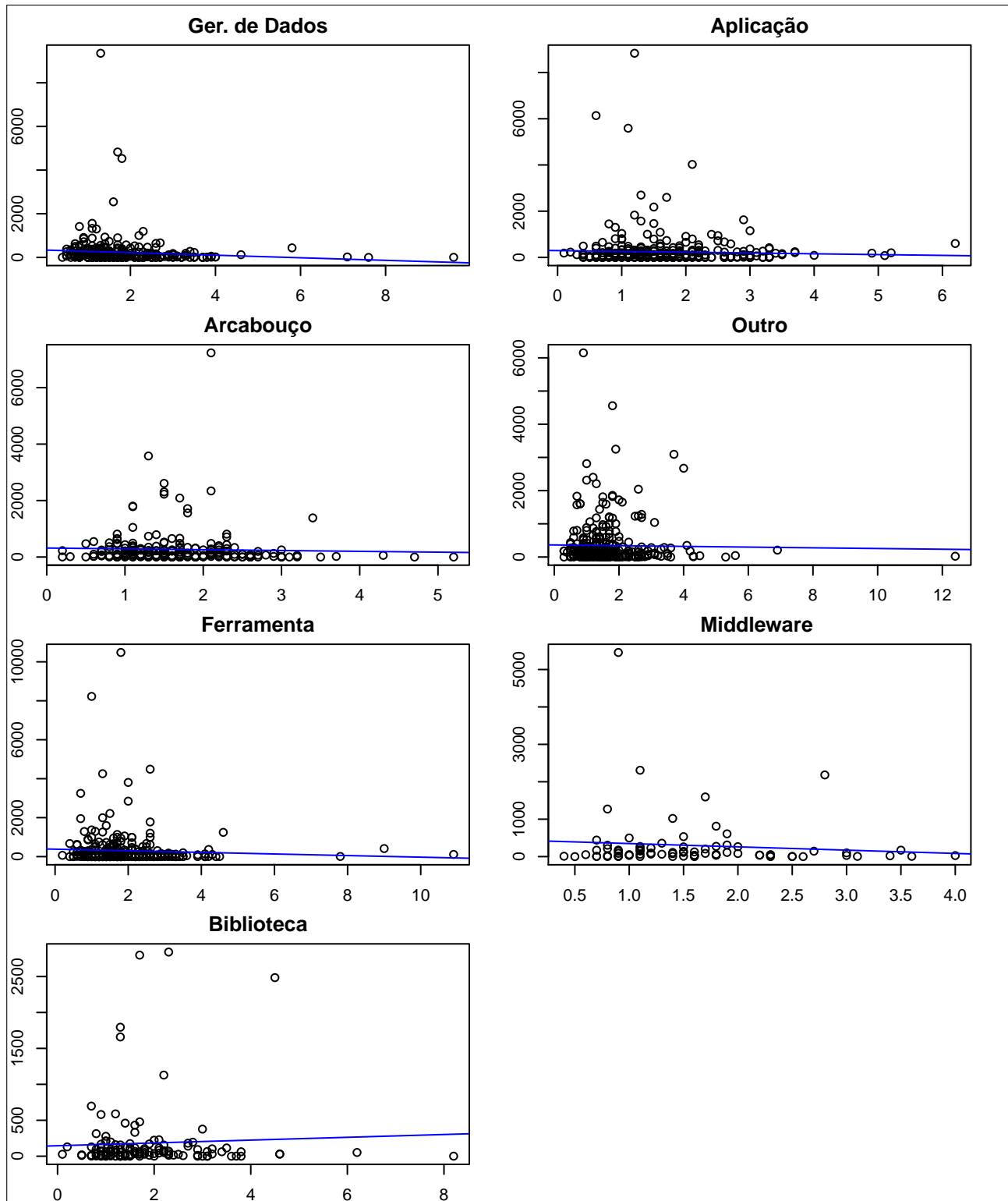


Figura 5.22: Correlação entre a dívida técnica e a quantidade de Pull requests.

### 5.10.6 Colaboração

Utilizamos três modelos diferentes para calcular a colaboração que cada um dos projetos analisados recebeu. A Tabela 5.6 apresenta algumas medidas descritivas a respeito dos dados obtidos para os três modelos. Já as tabelas 5.7, 5.8 e 5.10 apresentam os projetos com maior colaboração em

cada modelo de avaliação. Podemos perceber, ao analisar essas três tabelas, que há alguns projetos que figuram entre os que receberam maior colaboração, em mais de um modelo de avaliação. Esse é o caso do projeto *ElasticSearch* e *React-Native*.

Modelo	Min	1º Quart.	Mediana	Média	3º Quart.	Max
Colaboradores	1	16	29	52,7	56	1996
Colaboradores/Dias	108	16933	38959	94327	89801	3210249
IC(índice de colaboração)	5E-10	8,547E-07	2,8049E-06	1,08699E-05	8,7386E-06	0,000759596

**Tabela 5.6:** Medidas descritivas dos modelos de colaboração

### Colaboradores/Dia

ID	URL	Colaboradores/dias
558	<a href="https://github.com/elastic/elasticsearch">https://github.com/elastic/elasticsearch</a>	3210249
1773	<a href="https://github.com/osmandapp/Osmand">https://github.com/osmandapp/Osmand</a>	2239425
1656	<a href="https://github.com/apache/camel">https://github.com/apache/camel</a>	2149950
523	<a href="https://github.com/facebook/react-native">https://github.com/facebook/react-native</a>	2067856
1713	<a href="https://github.com/openmrs/openmrs-core">https://github.com/openmrs/openmrs-core</a>	1806210
712	<a href="https://github.com/swagger-api/swagger-codegen">https://github.com/swagger-api/swagger-codegen</a>	1503362
1838	<a href="https://github.com/netty/netty">https://github.com/netty/netty</a>	1489200
1159	<a href="https://github.com/pentaho/pentaho-kettle">https://github.com/pentaho/pentaho-kettle</a>	1462792
1829	<a href="https://github.com/gradle/gradle">https://github.com/gradle/gradle</a>	1456320
1834	<a href="https://github.com/grails/grails-core">https://github.com/grails/grails-core</a>	1349344

**Tabela 5.7:** Os 10 projetos com uma maior quantidade de colaboradores/dias.

### Quantidade de colaboradores

ID	URL	Colaboradores
523	<a href="https://github.com/facebook/react-native">https://github.com/facebook/react-native</a>	1996
558	<a href="https://github.com/elastic/elasticsearch">https://github.com/elastic/elasticsearch</a>	1239
712	<a href="https://github.com/swagger-api/swagger-codegen">https://github.com/swagger-api/swagger-codegen</a>	1022
936	<a href="https://github.com/google/closure-compiler">https://github.com/google/closure-compiler</a>	858
5	<a href="https://github.com/OpenGenus/cosmos">https://github.com/OpenGenus/cosmos</a>	857
1325	<a href="https://github.com/amplab/tachyon">https://github.com/amplab/tachyon</a>	819
1773	<a href="https://github.com/osmandapp/Osmand">https://github.com/osmandapp/Osmand</a>	807
191	<a href="https://github.com/openhab/openhab2-addons">https://github.com/openhab/openhab2-addons</a>	600
1656	<a href="https://github.com/apache/camel">https://github.com/apache/camel</a>	550
1679	<a href="https://github.com/apache/kafka">https://github.com/apache/kafka</a>	541

**Tabela 5.8:** Os 10 projetos com uma maior quantidade de colaboradores

### Assiduidade e qualidade da colaboração

A Tabela 5.9 apresenta os 10 colaboradores com o maior *pagerank*, dentre os que contribuíram com algum dos projetos analisado.

Login	Company	Pagerank
bitdeli-chef	Bitdeli	0,002061834
JakeWharton	Square	0,001474745
mathiasbynens	Opera Software	0,000648965
gaearon	Facebook	0,000566109
wycats	Tilde	0,00049272
gitter-badger	Gitter	0,000491401
mitsuhiko		0,000449111
orthographic-pedant		0,000417185
developertown		0,000410813
tenderlove	GitHub	0,000399189

**Tabela 5.9:** Os dez colaboradores com maior *pagerank*.

Conforme descrito anteriormente, o índice de colaboração do projeto(IC) foi medido utilizando

dois aspectos de cada um dos caboladores dos projetos: qualidade e assiduidade.

ID	URL	IC
51	<a href="https://github.com/rock3r/squanchy">https://github.com/rock3r/squanchy</a>	0,000759595630534000
523	<a href="https://github.com/facebook/react-native">https://github.com/facebook/react-native</a>	0,000523447463392000
5	<a href="https://github.com/OpenGenus/cosmos">https://github.com/OpenGenus/cosmos</a>	0,000484793043276000
1839	<a href="https://github.com/rstudio/rstudio">https://github.com/rstudio/rstudio</a>	0,000312215726382000
1829	<a href="https://github.com/gradle/gradle">https://github.com/gradle/gradle</a>	0,000260843356728000
401	<a href="https://github.com/actorapp/actor-platform">https://github.com/actorapp/actor-platform</a>	0,000198124386547000
694	<a href="https://github.com/real-logic/Aeron">https://github.com/real-logic/Aeron</a>	0,000183223347527000
117	<a href="https://github.com/treasure-data/digdag">https://github.com/treasure-data/digdag</a>	0,000180137796967000
1441	<a href="https://github.com/neo4j/neo4j">https://github.com/neo4j/neo4j</a>	0,000176683446184000
997	<a href="https://github.com/crate/crate">https://github.com/crate/crate</a>	0,000172710067404000

**Tabela 5.10:** Os 10 projetos com o maior índice de colaboração(IC).

### 5.10.7 Produtividade

A Tabela 5.11 apresenta os coeficientes de cada um dos modelos de regressão e o índice de determinação  $R^2$ [DS12].

Modelo	Intercepção	NLOC_5	WATCHERS	PULL_REQUESTS	R2
Colaboradores	20,4981	0,0001	0,0198	0,0472	0,5515
Colaboradores/Dia	27579,6746	0,2641	24,9512	111,2109	0,4347
IC(índice de colaboração)	5,65E-06	-3,99E-12	5,88E-09	9,78E-09	0,2400

**Tabela 5.11:** Coeficientes angular e coeficiente de determinação dos modelos de regressão usados para o cálculo da produtividades do projetos.

Como uma tentativa para melhorar os modelos obtidos, foi utilizado o método de seleção de modelos AIC(*Akaike information criterion*)[SIK86] para verificar se algumas das variáveis independentes poderiam ser suprimidas. Entretanto, em nenhum dos três casos isso ocorreu.

As Tabelas 5.12, 5.13 e 5.14 apresentam os projetos mais produtivos de acordo com cada modelo de colaboração utilizado.

ID	URL	Colab.	Colab. Ajust.	Produtividade
392	<a href="https://github.com/takayanagi2087/dataforms">https://github.com/takayanagi2087/dataforms</a>	1	22,88	22,88
728	<a href="https://github.com/peter-mount/opendata">https://github.com/peter-mount/opendata</a>	2	24,93	12,46
1425	<a href="https://github.com/cderoove/damp.ekeko.snippets">https://github.com/cderoove/damp.ekeko.snippets</a>	6	72,29	12,04
187	<a href="https://github.com/metastash/metastash">https://github.com/metastash/metastash</a>	23	206,38	8,97
586	<a href="https://github.com/jflex-de/jflex">https://github.com/jflex-de/jflex</a>	9	71,68	7,96
633	<a href="https://github.com/Subterranean-Security/Crimson">https://github.com/Subterranean-Security/Crimson</a>	3	23,82	7,94
628	<a href="https://github.com/google/FreeBuilder">https://github.com/google/FreeBuilder</a>	6	46,69	7,78
1091	<a href="https://github.com/SurvivalGamesDevTeam/TheSurvivalGames">https://github.com/SurvivalGamesDevTeam/TheSurvivalGames</a>	3	22,95	7,65
107	<a href="https://github.com/sroy9/equation-parsing">https://github.com/sroy9/equation-parsing</a>	3	20,95	6,98
155	<a href="https://github.com/NumberFour/n4js">https://github.com/NumberFour/n4js</a>	19	131,77	6,93

**Tabela 5.12:** Os 10 projetos mais produtivos de acordo com o modelo de colaboração de quantidade.

ID	URL	IC	IC Ajust.	Produtividade
563	<a href="https://github.com/clc/eyes-free">https://github.com/clc/eyes-free</a>	4,80E-10	5,21E-06	10867,44
549	<a href="https://github.com/esnet/oscar">https://github.com/esnet/oscar</a>	5,43E-10	5,40E-06	9946,88
376	<a href="https://github.com/WorldGrower/WorldGrower">https://github.com/WorldGrower/WorldGrower</a>	7,87E-10	5,33E-06	6771,79
392	<a href="https://github.com/takayanagi2087/dataforms">https://github.com/takayanagi2087/dataforms</a>	8,33E-10	5,60E-06	6718,67
497	<a href="https://github.com/ekiwi/jade-mirror">https://github.com/ekiwi/jade-mirror</a>	1,25E-09	5,17E-06	4136,80
124	<a href="https://github.com/software-jessies-org/scm">https://github.com/software-jessies-org/scm</a>	1,54E-09	5,64E-06	3651,52
891	<a href="https://github.com/walkingthumbs/smack">https://github.com/walkingthumbs/smack</a>	2,09E-09	5,41E-06	2587,62
688	<a href="https://github.com/scottbell/biosim">https://github.com/scottbell/biosim</a>	2,30E-09	4,06E-06	1762,86
770	<a href="https://github.com/kuali-mirror/kpme">https://github.com/kuali-mirror/kpme</a>	3,58E-09	5,08E-06	1418,17
217	<a href="https://github.com/byu-vv-lab/civl">https://github.com/byu-vv-lab/civl</a>	4,74E-09	5,41E-06	1140,24

**Tabela 5.13:** Os 10 projetos mais produtivos de acordo com o modelo de colaboração de assiduidade e qualidade (IC).

ID	URL	C/D	C/D Ajust.	Produtividade
501	<a href="https://github.com/Iteration-3/Code">https://github.com/Iteration-3/Code</a>	108	31830,15	294,72
32	<a href="https://github.com/TheNotoriousOOP/Iteration3">https://github.com/TheNotoriousOOP/Iteration3</a>	196	38057,48	194,17
52	<a href="https://github.com/WPI-CS3733-C17-Gamma/project-pather">https://github.com/WPI-CS3733-C17-Gamma/project-pather</a>	280	49622,29	177,22
466	<a href="https://github.com/tygron-virtual-humans/tygron-connect">https://github.com/tygron-virtual-humans/tygron-connect</a>	399	53578,22	134,28
372	<a href="https://github.com/leonnorth/Electricity">https://github.com/leonnorth/Electricity</a>	224	29311,97	130,86
304	<a href="https://github.com/The-Team-Awesome/Zompocalypse">https://github.com/The-Team-Awesome/Zompocalypse</a>	240	29340,49	122,25
20	<a href="https://github.com/ProgrammingLife2017/DynamiteAndButterflies">https://github.com/ProgrammingLife2017/DynamiteAndButterflies</a>	378	41650,63	110,19
146	<a href="https://github.com/Betta-Testers/Imbrius-Kabasuji">https://github.com/Betta-Testers/Imbrius-Kabasuji</a>	315	33100,09	105,08
331	<a href="https://github.com/hungnguyen94/BTrouble">https://github.com/hungnguyen94/BTrouble</a>	354	37111,68	104,84
309	<a href="https://github.com/EmperorJack/Lunarcy-Repo">https://github.com/EmperorJack/Lunarcy-Repo</a>	297	29441,63	99,13

**Tabela 5.14:** Os 10 projetos mais produtivos de acordo com o modelo de colaboração de colaboradores/dia (C/D).

Existem alguns aspectos a respeito do cálculo de produtividade que chamam a atenção. O primeiro deles é o fato de que nenhum dos projetos mais produtivos aparece entre os projetos que receberam mais colaboração. Isso é um indício de que projetos menores e com menos visibilidade conseguem ser mais produtivos do que projetos maiores e populares. Outro aspecto que chama a atenção é a elevada produtividade de alguns projetos quando ela é analisada usando o modelo de assiduidade e qualidade. Na Tabela 5.13 podemos observar que o projeto de ID 563 é o projeto mais produtivo. Esse projeto, utiliza 10867,44 vezes menos colaboração do que a esperada para produzir os resultados obtidos pelo projeto. Claramente esse valor demasiadamente alto é uma evidência da ineficácia desse modelo. Isso se torna mais evidente quando comparamos esse resultado com o obtido nos outros modelos como o de quantidade de colaboradores. Nesse modelo, o mais produtivo é o projeto com o ID 392. Entretanto, esse projeto utiliza 22,88 vezes menos colaboradores do que o esperado.

## 5.11 Análise dos juro

As tabelas 5.15 e 5.16 apresentam os resultados da estimação dos juro da dívida técnica agrupados por domínio e por tópico, respectivamente. É possível notar que, quando agrupados por domínio, os projetos sem dívida técnica apresentam até 38% de produtividade média maior do que os projetos com dívida técnica. Já quando o agrupamento é feito pelos tópicos do LDA, esse número chega a 59%.

Um resultado importante da aplicação do modelo de estimação dos juro é o fato de que

em alguns casos a produtividade dos projetos com dívida técnica é maior do que a dos projetos sem dívida técnica. Isso, acontece menos nos modelos de colaboração baseados em quantidade e colaboradores/dia. Porém, acontece, na maioria dos casos, quando o modelo de assiduidade e colaboração é utilizado. Isso é um indício forte de que esse modelo se mostra inadequado para avaliar a produtividade dos projetos.

Domínio	Cenário	Modelo 1	Juros	Modelo 2	Juros	Modelo 3	Juros
Biblioteca	Sem dívida	1,54	-3%	6,52	1%	2,43	-10%
	Com dívida	1,59		6,47		2,66	
Ferramenta	Sem dívida	1,84	16%	3,45	-104%	4,27	27%
	Com dívida	1,55		7,02		3,13	
Outro	Sem dívida	1,96	38%	4,97	-14%	3,06	30%
	Com dívida	1,21		5,69		2,13	
Aplicação	Sem dívida	1,81	11%	5,17	-39%	3,93	11%
	Com dívida	1,60		7,21		3,49	
Arcabouço	Sem dívida	2,14	30%	8,08	22%	4,89	44%
	Com dívida	1,50		6,28		2,76	
Ger. de Dados	Sem dívida	2,11	28%	8,23	4%	5,91	53%
	Com dívida	1,53		7,89		2,81	
Middleware	Sem dívida	1,27	-34%	3,16	-65%	1,28	-158%
	Com dívida	1,70		5,23		3,31	

**Tabela 5.15:** Estimação dos juros da dívida técnica por domínio utilizando os três modelos de produtividade: (1) Quantidade de colaboradores (2) Assiduidade e qualidade da colaboração (3) Colaboradores/Dia

Domínio	Tópico	Cenário	Modelo 1	Juros	Modelo 2	Juros	Modelo 3	Juros
Aplicação	Tópico 1	Sem dívida	1,31	-21%	1,50	-270%	7,98	59%
		Com dívida	1,59		5,54		3,26	
Aplicação	Tópico 10	Sem dívida	2,34	40%	8,01	-14%	4,60	61%
		Com dívida	1,40		9,10		1,79	
Outro	Tópico 11	Sem dívida	1,51	4%	1,13	-508%	1,65	-22%
		Com dívida	1,45		6,87		2,01	
Ger. de Dados	Tópico 12	Sem dívida	2,02	34%	8,10	0%	4,33	53%
		Com dívida	1,32		8,09		2,05	
Outro	Tópico 13	Sem dívida	2,04	45%	5,53	0%	3,04	33%
		Com dívida	1,13		5,53		2,05	
Middleware	Tópico 14	Sem dívida	1,81	3%	1,93	-234%	1,23	-157%
		Com dívida	1,75		6,45		3,16	

Domínio	Tópico	Cenário	Modelo 1	Juros	Modelo 2	Juros	Modelo 3	Juros
Biblioteca	Tópico 15	Sem dívida	2,91	44%	18,83	75%	4,02	22%
		Com dívida	1,62		4,76		3,16	
Biblioteca	Tópico 16	Sem dívida	1,50	0%	9,09	27%	2,28	-10%
		Com dívida	1,51		6,60		2,50	
Aplicação	Tópico 17	Sem dívida	3,10	43%	3,33	-141%	4,65	-4%
		Com dívida	1,78		8,02		4,82	
Arcabouço	Tópico 18	Sem dívida	2,41	22%	18,06	78%	7,55	28%
		Com dívida	1,88		3,96		5,45	
Arcabouço	Tópico 19	Sem dívida	1,91	3%	0,28	-2262%	1,94	-46%
		Com dívida	1,85		6,64		2,83	
Ger. de Dados	Tópico 2	Sem dívida	2,58	38%	4,09	-43%	3,47	28%
		Com dívida	1,59		5,84		2,51	
Arcabouço	Tópico 20	Sem dívida	1,78	1%	2,61	-274%	2,52	-43%
		Com dívida	1,76		9,78		3,60	
Ger. de Dados	Tópico 21	Sem dívida	2,01	19%	12,21	29%	5,61	40%
		Com dívida	1,63		8,69		3,34	
Aplicação	Tópico 22	Sem dívida	1,81	18%	1,54	-154%	8,59	51%
		Com dívida	1,48		3,92		4,23	
Ferramenta	Tópico 23	Sem dívida	1,38	-11%	2,68	-110%	4,30	32%
		Com dívida	1,53		5,64		2,92	
Ger. de Dados	Tópico 24	Sem dívida	2,12	26%	2,69	-276%	6,22	60%
		Com dívida	1,57		10,12		2,47	
Ger. de Dados	Tópico 25	Sem dívida	2,42	49%	0,69	-649%	3,80	31%
		Com dívida	1,24		5,14		2,63	
Biblioteca	Tópico 26	Sem dívida	1,51	-11%	1,77	-270%	2,54	7%
		Com dívida	1,68		6,57		2,37	
Arcabouço	Tópico 27	Sem dívida	1,77	37%	1,41	-89%	2,15	15%
		Com dívida	1,12		2,67		1,83	
Aplicação	Tópico 28	Sem dívida	1,38	-82%	2,06	-388%	1,96	-76%
		Com dívida	2,51		10,05		3,46	
Outro	Tópico 29	Sem dívida	1,73	14%	0,91	-558%	5,31	51%
		Com dívida	1,49		5,97		2,61	
Ferramenta	Tópico 3	Sem dívida	1,83	13%	4,37	-116%	2,84	-23%
		Com dívida	1,58		9,44		3,49	



Domínio	Tópico	Cenário	Modelo 1	Juros	Modelo 2	Juros	Modelo 3	Juros
Ferramenta	Tópico 30	Sem dívida	1,99	9%	0,28	-2454%	2,84	-30%
		Com dívida	1,81		7,18		3,70	
Aplicação	Tópico 4	Sem dívida	0,66	-119%	3,57	-24%	0,69	-317%
		Com dívida	1,45		4,44		2,89	
Ger. de Dados	Tópico 5	Sem dívida	3,57	59%	8,96	34%	14,05	79%
		Com dívida	1,45		5,93		2,96	
Arcabouço	Tópico 6	Sem dívida	2,17	36%	11,01	34%	5,08	58%
		Com dívida	1,40		7,30		2,11	
Middleware	Tópico 7	Sem dívida	1,17	-41%	3,40	-25%	1,27	-176%
		Com dívida	1,65		4,25		3,49	
Biblioteca	Tópico 8	Sem dívida	2,10	29%	10,01	23%	2,23	-18%
		Com dívida	1,49		7,69		2,62	
Aplicação	Tópico 9	Sem dívida	2,12	24%	8,01	-10%	4,51	31%
		Com dívida	1,61		8,78		3,13	

**Tabela 5.16:** *Estimação dos juros da dívida técnica por tópico utilizando os três modelos de produtividade: (1) Quantidade de colaboradores (2) Assiduidade e qualidade da colaboração (3) Colaboradores/Dia*



## Capítulo 6

# Conclusão

Neste capítulo forneceremos um resumo a respeito do trabalho realizado. Discutiremos as principais contribuições e os resultados obtidos. Adicionalmente, indicaremos as ameaças à validade dos resultados e como essas ameaças foram tratadas. Por fim, daremos algumas indicações de quais são as pesquisas futuras que podem ser realizadas de forma a complementar este trabalho.

### 6.1 Resumo

Os juros da dívida técnica são a contraparte negativa de se realizar atividades de desenvolvimento de software de forma irregular. A importância desse conceito, dentro do estudo da dívida técnica, é imensa já que os juros são o que realmente afetam o projeto do software no futuro. Logo, seu gerenciamento é uma atividade crítica para evitar que a dívida técnica deixe de ser um artifício estratégico e torne-se uma causa para o fracasso de um projeto.

Para que os juros sejam gerenciados é imprescindível que eles sejam, de alguma forma, medidos. Entretanto, existem poucas propostas na literatura de como realizar isso. Neste contexto, propomos, nesta pesquisa, um modelo quantitativo para estimar os juros da dívida técnica de um projeto. Nesse modelo, os juros são estimados pela comparação da produtividade do projeto com a produtividade de outro projeto semelhante, porém, com um nível muito baixo de dívida técnica.

Para avaliar o modelo proposto, foi realizado um estudo de caso múltiplo envolvendo 1814 projetos de software livre. Esse estudo de caso foi realizado em cinco etapas: seleção dos projetos, agrupamento dos projetos por domínio de aplicação, extração dos dados, cálculo de métricas e análise dos resultados. Todas essas etapas foram extensivamente documentadas com o objetivo de facilitar a reprodução dos resultados obtidos. Além disso, foi construída uma ferramenta que realiza automaticamente grande parte das atividades necessárias.

De acordo com os resultados obtidos, o nível da produtividade média dos projetos com baixo nível de dívida técnica pode ser até 59% maior do que os outros projetos. Apesar desse resultado positivo, pudemos encontrar algumas incoerências nos dados obtidos. Uma delas é o fato de que em alguns domínios de aplicação os projetos com mais dívida técnica foram mais produtivos. Outro problema ocorreu com o modelo de produtividade baseado em popularidade dos colaboradores. Ele se mostrou ineficaz para estimar a produtividade dos projetos.

## 6.2 Resultados

Os principais resultados desta pesquisa foram:

- **Em média, um projeto com pouca dívida técnica pode ser até 59% mais produtivo.** Entretanto, houve casos em que a produtividade dos projetos com mais dívida técnica foi maior. Isso ocorreu nos domínios Biblioteca e Middleware por exemplo. Nesses domínios, mesmo aplicando o melhor modelo de produtividade, ela foi 3% maior nos projetos com mais dívida técnica. Apesar disso, essa incoerência nos resultados, ocorreu em um número pequeno de casos. Com isso, esse resultado traz uma evidência para a hipótese de que a dívida técnica pode afetar negativamente a produtividade de um projeto.

- **A popularidade dos colaboradores parece ter pouco efeito em sua produtividade.** O modelo de avaliação da produtividade, em que utilizamos a popularidade dos colaboradores como um dos meios de quantificar o nível de colaboração de um projeto, mostrou-se extremamente inconsistente. Houve situações onde um grupo de projetos, classificados com baixo índice de dívida técnica, foi, em média, mais de duas mil vezes menos produtivo.

Uma das razões para essa inconsistência pode ser a incompatibilidade entre as medidas utilizadas como entrada e saída. Enquanto analisamos o nível de colaboração de um projeto usando uma medida de qualidade, como é o caso da popularidade dos colaboradores, ainda medimos a saída como a quantidade de linhas de código. Era esperado que projetos com colaboradores mais habilidosos fizessem com que a produtividade do projeto fosse maior. Entretanto, quando medimos a evolução do projeto usando as linhas de código, não estamos capturando a qualidade da contribuição desses colaboradores. É provável que fosse necessário utilizar uma métrica mais qualitativa de evolução.

- **Projetos mais produtivos tem menos colaboradores.** Pudemos observar que os projetos mais produtivos são aqueles que tem poucos colaboradores e atraem pouca atenção da comuni-

dade. Um exemplo é o projeto opendata (<https://github.com/peter-mount/opendata>). Esse projeto fornece à seus usuários dados em tempo real sobre a rede de trens da capital inglesa. Mesmo não tendo apenas dois colaboradores e apenas nove estrelas, esse projeto conseguiu ser aproximadamente 12 vezes mais produtivo do que o esperado, tendo como base os dados dos outros 1813 projetos envolvidos no estudo de caso.

- **Baixa correlação entre a produtividade e o nível de dívida técnica do projeto.** Nesta pesquisa argumentamos que avaliar a variação de produtividade dos projetos seria uma boa abordagem para estimar os juros da dívida técnica. Na literatura pudemos encontrar outras estratégias que utilizam outras métricas como manutenibilidade e número de defeitos. Algumas dessas pesquisas tiveram resultados menos inconsistentes para o modelo de estimação proposto por ela. Ou seja, os valores calculados fizeram sentido em uma quantidade maior de casos. Entretanto, nenhuma delas utiliza, em sua avaliação, um conjunto substancial de projetos. Os estudos de casos e experimentos realizados nessas pesquisas utilizam, no máximo, quatro projetos. Por isso, é possível que os resultados obtidos por essa pesquisa não possam ser reproduzidos quando as propostas forem avaliadas utilizando um número maior de projetos.

## 6.3 Principais contribuições

Podemos resumir as contribuições desta pesquisa da seguinte forma:

- **Modelo de estimação dos juros.** O modelo, em sua versão de mais alto nível, descreve como estimar os juros por meio da diminuição de produtividade em decorrência da existência da dívida técnica. Adicionalmente, descrevemos uma instância desse modelo para ser utilizada em projetos de software livre. São descritas as entradas e saídas do modelos de produtividade bem como as outras informações necessárias para a aplicação do modelo abstrato. Esta é a principal contribuição desta pesquisa. Acreditamos que com por meio dela, contribuimos para a melhoria das estratégias de gerenciamento da dívida técnica.
- **Validação com o estudo de caso.** A utilização de uma grande quantidade de dados para analisar um modelo de estimação dos juros da dívida técnica é, até o nosso conhecimento, inédita. Todos os trabalhos semelhantes utilizam uma quantidade pequenos de projetos.

Nesta pesquisa documentamos extensivamente a realização desse estudo de caso envolvendo 1814 projetos de software livre. Esse tipo de software foi escolhido, entre outras razões, por

poderemos ser acessados livremente. Isso facilitará a reprodução dos resultados. Além disso, a utilização de dados ,livremente disponíveis, permitirá que futuras pesquisas possam ser realizadas para aprofundar os resultados obtidos nesta pesquisa. Seja por meio de métodos qualitativos ou seja pelo aprimoramento do modelo de estimação sugerido.

- **Banco de dados de projetos e produtividade.** Durante a realização do estudo de caso múltiplo, foram produzidas diversas informações a respeito dos projetos envolvidos. No Apêndice B descrevemos os dados produzidos e usados por esta pesquisa. Adicionalmente, informamos como esses dados podem ser livremente acessados tanto para verificação dos resultados desta pesquisa quanto para serem utilizados em novas pesquisas.
- **Ferramenta.** Grande parte das atividades realizadas no estudo de caso foram automatizadas por uma ferramenta que criamos chamada GitResearch. Essa ferramenta foi desenvolvida particularmente para ser usada nesta pesquisa. Entretanto, ela foi planejada de uma maneira que facilitasse a sua adaptação de forma a ser usada em outras pesquisas. A ferramenta GitResearch pode ser encontrada no seguinte endereço: <https://github.com/Jandisson/git-research>.

## 6.4 Trabalhos futuros

Um dos principais pontos onde enxergamos a necessidade de melhorias nesta pesquisa é a imprecisão dos modelos de estimação da produtividade utilizados. Apesar dos resultados obtidos, não encontramos um modelo de regressão linear que apresentasse um coeficiente de determinação considerado alto. Ou seja, a relação entre as variáveis de entrada (colaboração) e saída (tamanho), não pôde ser estimada, com um nível de precisão alto, pelos modelos utilizados. Uma possível solução óbvia para este problema seria a busca por modelos mais precisos. Entretanto, é possível que isso não possa ser alcançado utilizando os dados que tivemos disponíveis nesta pesquisa. De qualquer forma, a busca por modelos mais precisos é certamente um tópico a ser pesquisado em futuros trabalhos relacionados.

Outra possível extensão desta pesquisa é a inclusão de métodos qualitativos para verificar os resultados obtidos, formando assim, uma triangulação[Fie12]. Isso seria particularmente útil para investigar os projetos que se destacam em alguma das análises que realizamos. Um exemplo seria a investigação dos projetos que, mesmo com altos índices de dívida técnica, continuam sendo produtivos. Essa investigação poderia ser utilizada para aprimorar o modelo de estimação sugerido.

A respeito do estudo de caso realizado, acreditamos que ele possa ser reproduzido utilizando outros tipos de projeto de software. Uma alternativa é a utilização de projetos corporativos como os presentes nos bancos de dados Tukutuku[MDMFG08] e ISBSG[FDGLDG14]. Apesar de serem substancialmente menores, esses bancos de dados contém dados de projetos corporativos relevantes. A utilização de um banco de dados padronizado também permitirá comparar mais facilmente os resultados obtidos.

Por fim, foi possível identificar alguns padrões interessantes nos dados obtidos no estudo de caso. Um exemplo é a relação entre os *pull requests* e a dívida técnica. É possível notar que alguns projetos tem uma quantidade de *forks* muito maior do que a quantidade de *pull requests*. Ou seja, muitas pessoas fizeram uma cópia do projeto com a interação de realizar alterações mas, não o fizeram. É possível que haja uma ligação entre essa desistência desses usuários em contribuir e o nível de dívida técnica dos projetos.





## Apêndice A

# Controle de versões utilizando o Git

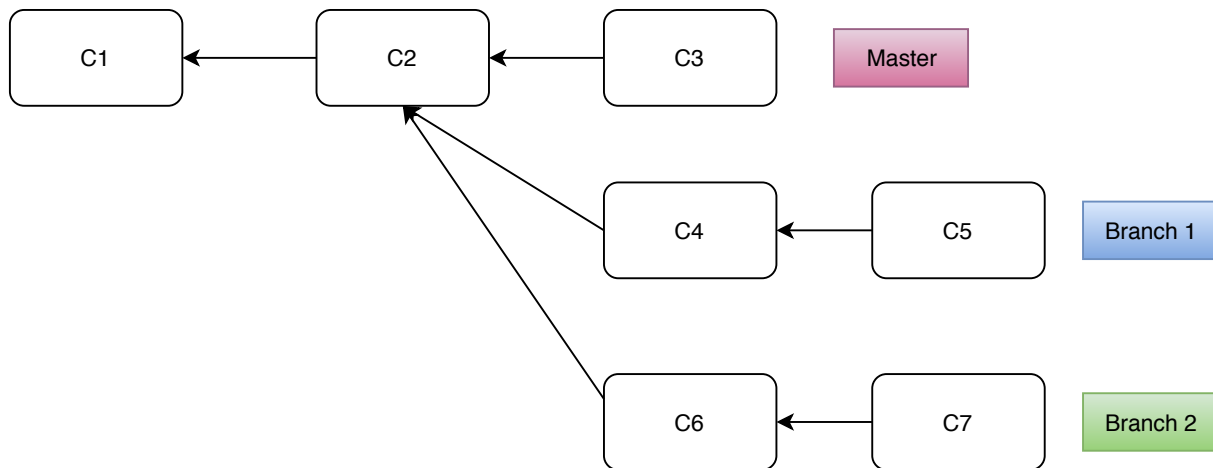
Um sistema de controle de versões - ou configurações - é um sistema que fornece uma série de funcionalidades para controlar a evolução de um conjunto de arquivos. Entre essas funcionalidades estão ter acesso às versões anteriores de arquivos, controlar quem realizou uma determinada alteração e comparar versões com o intuito de analisar as diferenças. Além disso, conforme Otte. [Ott09], esses sistemas têm sido utilizados como uma ferramenta de backup, pois permitem voltar a uma versão anterior caso algo esteja errado com a versão atual. O Git é um sistema moderno de controle de versão desenvolvido pelo também criador do Linux, Linus Torvalds. Conforme Loeliger et al. [LM12], ele pode ser visto como uma evolução de sistemas mais antigos como o CVS [Ves06] e o Subversion [PCSF08].

O principal diferencial do Git em relação aos outros sistemas de versionamento é a sua característica distribuída. O Git foi projetado para funcionar muito bem em contextos onde exista uma grande quantidade de pessoas interagindo com o mesmo projeto e, ainda assim, haja a necessidade que essa interação ocorra de uma forma organizada e rastreável. Essa característica distribuída é alcançada por meio de alguns recursos:

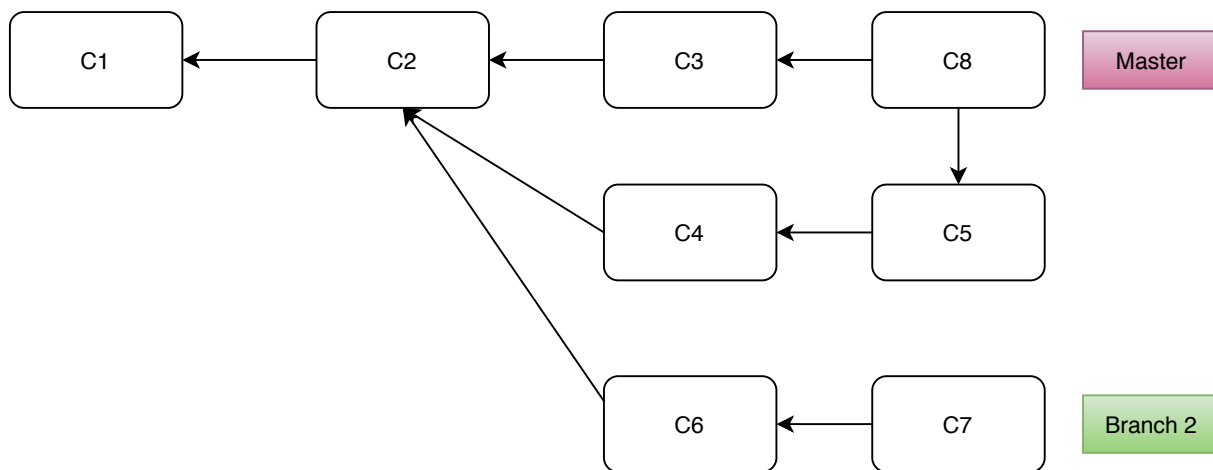
- **Facilidade para a realização de cópias de um repositório.** Qualquer pessoa no mundo pode realizar uma cópia local de um repositório de arquivos público gerenciado por uma instância do sistema Git. Para isso, basta instalar uma versão do Git no computador local e utilizar o comando *clone* seguido pela URL do repositório. **A cópia obtida contém todo o histórico do projeto como também todos os arquivos necessários para que o versionamento possa ser realizado.** Isso faz com que não exista obrigatoriamente um único repositório central de um determinado projeto. Cada cópia é um repositório independente.
- **É extremamente eficiente comparado às alternativas anteriores.** Uma das razões para

essa eficiência está na estratégia utilizado para realizar o controle das versões dos arquivos. No Git existe uma pasta chamada *.git* na pasta onde estão os arquivos sendo gerenciados. Essa pasta contém todos os dados referentes ao histórico dos arquivos como também todas as informações necessárias para realizar o controle de versão. Dessa forma, o Git não precisa acessar à rede para buscar alguma informação necessária para o controle de versão. Todos os dados estão no próprio sistema de arquivos usado para armazenar os arquivos gerenciados. Outra razão da eficiência do Git é a inexistência de um processo que necessariamente precisa estar em execução para que o controle de versão funcione. Isso era necessário nos sistemas anteriores como é o caso do Subversion. Nele havia um *daemon* responsável por realizar o versionamento de arquivos. No Git isso não ocorre. Em vez disso, o Git fornece um conjunto de programas que ao serem executados conseguem realizar as alterações necessárias nos arquivos de controle de versionamento.

O funcionamento do Git é baseado em um grafo em que cada nó representa uma versão dos arquivos. Um exemplo dessa organização pode ser visto na Figura A.1. Nela, um repositório foi iniciado pelo *commit* C1 e depois houve uma alteração por meio do *commit* C2. Nesse ponto, foram criadas duas novas *branches*. Uma *branch* é um fluxo independente de versões. Normalmente, a *branch* principal de um repositório Git é chamada de master. No exemplo apresentado, os *commit* C4 e C6 foram criados a partir do *commit* C2 da *branch* principal. Porém, tanto eles quanto o *commit* C3 são totalmente independentes e podem apresentar conteúdos diferentes. Ainda assim, essas linhas independentes de evolução, podem novamente ser combinadas por meio do que é chamado de *merge*. Na Figura A.2 temos o resultado do *merge* realizado entre as *branches* master e a *branch* 1. A versão obtida após o *commit* C8 contém tanto as alterações que foram realizadas nos *commits* C4 e C5 quanto as alterações realizadas no *commit* C3. Entretanto, essa operação não traz nenhum impacto à *branch* 2. A criação de *commits*, *branches*, *merges* e todas as outras ações necessárias para o versionamento dos arquivos em um repositório Git são realizados por meio de comandos que esse sistema disponibiliza. Para extrairmos as informações dos projetos analisados nesta pesquisa, utilizaremos alguns desses comandos. Na Apêndice A.1 há uma lista com os principais deles e quais as suas funções.



**Figura A.1:** Exemplo da estrutura de armazenamento de versões do Git.



**Figura A.2:** Exemplo de merge entre duas branches.

## A.1 Comandos Git

A Tabela A.1 apresenta uma lista com os principais comandos do git.

Comando	Descrição	Exemplo
clone	Realiza uma cópia local de um repositório remoto	clone https://github.com/torvalds/linux.git
add	Inclui um ou mais arquivos no gerenciamento de versão	add file.txt
commit	Efetiva no histórico as mudanças realizadas	commit -m "History message"
push	Envia as alterações locais para um repositório remoto	git push -u origin branch
pull	Atualiza os arquivos locais com base em um repositório remoto	git pull
merge	Realiza o merge entre duas <i>branches</i>	merge branch1
branch	Cria uma nova branch	branch branch3
checkout	Muda o diretório de trabalho atual para uma determinada branch	checkout branch3

**Tabela A.1:** *Comandos básicos do GIT.*

## Apêndice B

### Banco de dados



# Referências Bibliográficas

- [AACA15] Areti Ampatzoglou, Apostolos Ampatzoglou, Alexander Chatzigeorgiou e Paris Avgeriou. The financial aspect of managing technical debt: A systematic literature review. *Information and Software Technology*, 64:52–73, 2015. [5](#), [8](#), [9](#)
- [AB13] Esra Alzaghouli e Rami Bahsoon. Cloudmtd: Using real options to manage technical debt in cloud-based service selection. Em *Managing Technical Debt (MTD), 2013 4th International Workshop on*, páginas 55–62. IEEE, 2013. [32](#)
- [ABSN02] Dilanthi Amaratunga, David Baldry, Marjan Sarshar e Rita Newton. Quantitative and qualitative research in the built environment: application of mixed research approach. *Work study*, 51(1):17–31, 2002. [66](#)
- [Ach14] Sujoy Acharya. *Mastering Unit Testing Using Mockito and JUnit*. Packt Publishing Ltd, 2014. [16](#)
- [AMP<sup>+</sup>07] Nathaniel Ayewah, J David Morgenthaler, John Penix, William Pugh e YuQian Zhou. Using findbugs on production software. 2007. [93](#)
- [AMS<sup>+</sup>18] Areti Ampatzoglou, Alexandros Michailidis, Christos Sarikyriakidis, Apostolos Ampatzoglou, Alexander Chatzigeorgiou e Paris Avgeriou. A framework for managing interest in technical debt: an industrial validation. Em *Proceedings of the 2018 International Conference on Technical Debt*, páginas 115–124. ACM, 2018. [8](#), [9](#)
- [AQ10] Rafa E Al-Qutaish. Quality models in software engineering literature: an analytical and comparative study. *Journal of American Science*, 6(3):166–175, 2010. [18](#)
- [AR15] Zahra Shakeri Hossein Abad e Guenther Ruhe. Using real options to manage technical debt in requirements engineering. Em *2015 IEEE 23rd International Requirements Engineering Conference (RE)*, páginas 230–235. IEEE, 2015. [32](#)
- [Ara12] Charalampos Arapidis. *Sonar Code Quality Testing Essentials*. Packt Publishing Ltd, 2012. [79](#), [82](#)
- [BCG<sup>+</sup>10] Nanette Brown, Yuanfang Cai, Yuepu Guo, Rick Kazman, Miryung Kim, Philippe Kruchten, Erin Lim, Alan MacCormack, Robert Nord, Ipek Ozkaya et al. Managing technical debt in software-reliant systems. Em *Proceedings of the FSE/SDP workshop on Future of software engineering research*, páginas 47–52. ACM, 2010. [3](#), [4](#), [20](#), [24](#), [66](#)
- [BK99] Michel Benaroch e Robert J Kauffman. A case for using real options pricing analysis to evaluate information technology project investments. *Information Systems Research*, 10(1):70–86, 1999. [32](#)
- [BL08] Jie BAI e Chun-ping LI. Mining software repository: a survey. *Application Research of Computers*, 1:006, 2008. [67](#)

- [BNJ02] David M Blei, Andrew Y Ng e Michael I Jordan. Latent dirichlet allocation. Em *Advances in neural information processing systems*, páginas 601–608, 2002. [49](#), [68](#)
- [BR10] Andrea Oliveira Soares Barreto e Ana Regina Rocha. Analyzing the similarity among software projects to improve software project monitoring processes. Em *Quality of Information and Communications Technology (QUATIC), 2010 Seventh International Conference on the*, páginas 441–446. IEEE, 2010. [48](#)
- [BRB<sup>+</sup>09] Christian Bird, Peter C Rigby, Earl T Barr, David J Hamilton, Daniel M German e Prem Devanbu. The promises and perils of mining git. Em *2009 6th IEEE International Working Conference on Mining Software Repositories*, páginas 1–10. IEEE, 2009. [92](#)
- [BROT17] Woubshet Nema Behutiye, Pilar Rodríguez, Markku Oivo e Ayşe Tosun. Analyzing the concept of technical debt in the context of agile software development: A systematic literature review. *Information and Software Technology*, 82:139–158, 2017. [5](#)
- [BTP<sup>+</sup>12] Kaushal Bhatt, Vinit Tarey, Pushpraj Patel, Kaushal Bhatt Mits e Datana Ujjain. Analysis of source lines of code (sloc) metric. *International Journal of Emerging Technology and Advanced Engineering*, 2(5):150–154, 2012. [59](#)
- [CAAA15] Alexander Chatzigeorgiou, Apostolos Ampatzoglou, Areti Ampatzoglou e Theodoros Amanatidis. Estimating the breaking point for technical debt. Em *Managing Technical Debt (MTD), 2015 IEEE 7th International Workshop on*, páginas 53–56. IEEE, 2015. [23](#), [29](#)
- [Cam17] G Ann Campbell. Cognitive complexity-a new way of measuring understandability. Relatório técnico, Technical Report. SonarSource SA, Switzerland., 2017. [80](#)
- [Chr96] Neil Chriss. *Black Scholes and Beyond: Option Pricing Models*. McGraw-Hill, 1996. [32](#)
- [CL02] Yoonsik Cheon e Gary T Leavens. A simple and practical approach to unit testing: The jml and junit way. Em *European Conference on Object-Oriented Programming*, páginas 231–255. Springer, 2002. [14](#)
- [CP13] G Campbell e Patroklos P Papapetrou. *SonarQube in Action*. Manning Publications Co., 2013. [25](#), [29](#), [69](#), [78](#), [101](#)
- [CSS12] Bill Curtis, Jay Sappidi e Alexandra Szynekarski. Estimating the size, cost, and types of technical debt. Em *Proceedings of the Third International Workshop on Managing Technical Debt*, páginas 49–53. IEEE Press, 2012. [21](#)
- [CTGB11] Arnaud Cogoluegnes, Thierry Templier, Gary Gregory e Olivier Bazoud. *Spring Batch in Action*. Manning Publications Co., 2011. [70](#), [95](#)
- [CTNH12] Tse-Hsun Chen, Stephen W Thomas, Meiyappan Nagappan e Ahmed E Hassan. Explaining software defects using topic models. Em *2012 9th IEEE Working Conference on Mining Software Repositories (MSR)*, páginas 189–198. IEEE, 2012. [49](#)
- [Cun93] Ward Cunningham. The wycash portfolio management system. *ACM SIGPLAN OOPS Messenger*, 4(2):29–30, 1993. [1](#), [16](#), [20](#)
- [Dav13] Noopur Davis. Driving quality improvement and reducing technical debt with the definition of done. Em *2013 Agile Conference (AGILE)*, páginas 164–168. IEEE, 2013. [27](#)



- [dF15] Paulo André Faria de Freitas. Software repository mining analytics to estimate software component reliability. 2015. 67
- [dJdM17] Jandisson Soares de Jesus e Ana Cristina Vieira de Melo. Technical debt and the software project characteristics. a repository-based exploratory analysis. Em *2017 IEEE 19th Conference on Business Informatics (CBI)*, volume 1, páginas 444–453. IEEE, 2017. xi, 83, 113
- [dOBdAFT15] Márcio de Oliveira Barros, Fábio de Almeida Farzat e Guilherme Horta Travassos. Learning from optimization: A case study with apache ant. *Information and Software Technology*, 57:684–704, 2015. 28
- [DS12] Morris H DeGroot e Mark J Schervish. *Probability and statistics*. Pearson Education, 2012. 40, 126
- [DSTH12] Laura Dabbish, Colleen Stuart, Jason Tsay e Jim Herbsleb. Social coding in github: transparency and collaboration in an open software repository. Em *Proceedings of the ACM 2012 conference on computer supported cooperative work*, páginas 1277–1286. ACM, 2012. 75
- [EN16] Ramez Elmasri e Sham Navathe. *Fundamentals of database systems*. Pearson London, 2016. 14
- [FBHK05] Andrew Funk, Victor Basili, Lorin Hochstein e Jeremy Kepner. Application of a development time productivity metric to parallel software development. Em *Proceedings of the second international workshop on Software engineering for high performance computing system applications*, páginas 8–12. ACM, 2005. 60
- [FDGLDG14] Marta Fernández-Diego e Fernando González-Ladrón-De-Guevara. Potential and limitations of the isbgs dataset in enhancing software engineering research: A mapping review. *Information and Software Technology*, 56(6):527–544, 2014. 137
- [Fie12] Nigel G Fielding. Triangulation and mixed methods designs: Data integration with new research technologies. *Journal of mixed methods research*, 6(2):124–136, 2012. 136
- [FKNO14] Davide Falessi, Philippe Kruchten, Robert L Nord e Ipek Ozkaya. Technical debt at the crossroads of research and practice: report on the fifth international workshop on managing technical debt. *ACM SIGSOFT Software Engineering Notes*, 39(2):31–33, 2014. 6, 20
- [Fow09] Martin Fowler. *Refactoring: improving the design of existing code*. Pearson Education India, 2009. 19
- [Fow18] Martin Fowler. *Refactoring: improving the design of existing code*. Addison-Wesley Professional, 2018. 20
- [FR15] Davide Falessi e Andreas Reichel. Towards an open-source tool for measuring and visualizing the interest of technical debt. Em *Managing Technical Debt (MTD), 2015 IEEE 7th International Workshop on*, páginas 1–8. IEEE, 2015. 7, 9
- [FRZ16a] Francesca Arcelli Fontana, Riccardo Roveda e Marco Zanoni. Technical debt indexes provided by tools: a preliminary discussion. Em *2016 IEEE 8th International Workshop on Managing Technical Debt (MTD)*, páginas 28–31. IEEE, 2016. 85
- [FRZ16b] Francesca Arcelli Fontana, Riccardo Roveda e Marco Zanoni. Tool support for evaluating architectural debt of an existing system: An experience report. Em *Proceedings of the 31st Annual ACM Symposium on Applied Computing*, páginas 1347–1349. ACM, 2016. 85

- [FSGVY15] Carlos Fernández-Sánchez, Juan Garbajosa, Carlos Vidal e Agustin Yague. An analysis of techniques and methods for technical debt management: a reflection from the architecture perspective. Em *Software Architecture and Metrics (SAM), 2015 IEEE/ACM 2nd International Workshop on*, páginas 22–28. IEEE, 2015. [36](#)
- [FSGY15] Carlos Fernández-Sánchez, Juan Garbajosa e Agustin Yague. A framework to aid in decision making for technical debt management. Em *Managing Technical Debt (MTD), 2015 IEEE 7th International Workshop on*, páginas 69–76. IEEE, 2015. [32](#)
- [GK07] Max Goldman e Shmuel Katz. Maven: Modular aspect verification. Em *International Conference on Tools and Algorithms for the Construction and Analysis of Systems*, páginas 308–322. Springer, 2007. [28](#)
- [GS11] Yuepu Guo e Carolyn Seaman. A portfolio approach to technical debt management. Em *Proceedings of the 2nd Workshop on Managing Technical Debt*, páginas 31–34. ACM, 2011. [27](#), [31](#), [36](#)
- [GS12] Georgios Gousios e Diomidis Spinellis. Ghtorrent: Github’s data from a firehose. Em *2012 9th IEEE Working Conference on Mining Software Repositories (MSR)*, páginas 12–21. IEEE, 2012. [76](#)
- [GSS16] Yuepu Guo, Rodrigo Oliveira Spínola e Carolyn Seaman. Exploring the costs of technical debt management—a case study. *Empirical Software Engineering*, 21(1):159–182, 2016. [34](#)
- [Haw80] Douglas M Hawkins. *Identification of outliers*, volume 11. Springer, 1980. [109](#)
- [HLCPSAL15] Adrián Hernández-López, Ricardo Colomo-Palacios, Pedro Soto-Acosta e Cristina Casado Lumberas. Productivity measurement in software engineering: a study of the inputs and the outputs. *International Journal of Information Technologies and Systems Approach (IJITSA)*, 8(1):46–68, 2015. [39](#)
- [HLR<sup>+</sup>13] Johannes Holvitie, Mikko-Jussi Laakso, Teemu Rajala, Erkki Kaila e Ville Leppanen. The role of dependency propagation in the accumulation of technical debt for software implementations. Em Akoss Kiss, editor, *13th Symposium on Programming Languages and Software Tools*, páginas 61–75. University of Szeged, 2013. [30](#)
- [Hof00] Doug Hoffman. The darker side of metrics. Em *Pacific Northwest Software Quality Conference*, volume 17, página 2000, 2000. [60](#)
- [HRGB<sup>+</sup>06] Israel Herraiz, Gregorio Robles, Jesús M González-Barahona, Andrea Capiluppi e Juan F Ramil. Comparison between slocs and number of files as size metrics for software evolution analysis. Em *Conference on Software Maintenance and Reengineering (CSMR’06)*, páginas 8–pp. IEEE, 2006. [60](#)
- [HRWD10] Albert Hupa, Krzysztof Rzdca, Adam Wierzbicki e Anwitaman Datta. Interdisciplinary matchmaking: Choosing collaborators by skill, acquaintance and trust. Em *Computational social network analysis*, páginas 319–347. Springer, 2010. [52](#)
- [HYW<sup>+</sup>17] Chaoran Huang, Lina Yao, Xianzhi Wang, Boualem Benatallah e Quan Z Sheng. Expert as a service: Software expert recommendation via knowledge domain embeddings in stack overflow. Em *2017 IEEE International Conference on Web Services (ICWS)*, páginas 317–324. IEEE, 2017. [53](#)

- [IA01] Ali Idri e Alain Abran. A fuzzy logic based set of measures for software project similarity: validation and possible improvements. Em *Software Metrics Symposium, 2001. METRICS 2001. Proceedings. Seventh International*, páginas 85–96. IEEE, 2001. 49, 94
- [J<sup>+</sup>11] Anjali Ganesh Jivani et al. A comparative study of stemming algorithms. *Int. J. Comp. Tech. Appl*, 2(6):1930–1938, 2011. 95
- [JL97] R Jeffery e G Low. Function points and their use. *Australian Computer Journal*, 29(4):148–156, 1997. 47
- [KAAH11] Matthew B Kelly, Jason S Alexander, Bram Adams e Ahmed E Hassan. Recovering a balanced overview of topics in a software domain. Em *2011 IEEE 11th International Working Conference on Source Code Analysis and Manipulation*, páginas 135–144. IEEE, 2011. 49
- [Kac12] Tomek Kaczanowski. *Practical Unit Testing with TestNG and Mockito*. Tomasz Kaczanowski, 2012. 16
- [KB13] K Kalaiselvi e PS Balamurugan. An ontological approach to identify expert knowledge in academic institution. Em *2013 International Conference on Current Trends in Engineering and Technology (ICCTET)*, páginas 120–122. IEEE, 2013. 53
- [KGB<sup>+</sup>14] Eirini Kalliamvakou, Georgios Gousios, Kelly Blincoe, Leif Singer, Daniel M German e Daniela Damian. The promises and perils of mining github. Em *Proceedings of the 11th working conference on mining software repositories*, páginas 92–101. ACM, 2014. 92
- [KGMI06] Shinji Kawaguchi, Pankaj K Garg, Makoto Matsushita e Katsuro Inoue. Mudablue: An automatic categorization system for open source repositories. *Journal of Systems and Software*, 79(7):939–953, 2006. 49, 94
- [Kit04] Barbara Kitchenham. Procedures for performing systematic reviews. *Keele, UK, Keele University*, 33(2004):1–26, 2004. 5
- [KKC00] Rick Kazman, Mark Klein e Paul Clements. Atam: Method for architecture evaluation. Relatório técnico, Carnegie-Mellon Univ Pittsburgh PA Software Engineering Inst, 2000. 81
- [KM04] Barbara Kitchenham e Emilia Mendes. Software productivity measurement using multiple size measures. *IEEE Transactions on Software Engineering*, 30(12):1023–1035, 2004. 39, 45, 47, 94
- [KNOF13] Philippe Kruchten, Robert L Nord, Ipek Ozkaya e Davide Falessi. Technical debt: towards a crisper definition report on the 4th international workshop on managing technical debt. *ACM SIGSOFT Software Engineering Notes*, 38(5):51–54, 2013. ix, 6, 7, 18, 19, 27
- [KTWW11] Tim Klinger, Peri Tarr, Patrick Wagstrom e Clay Williams. An enterprise perspective on technical debt. Em *Proceedings of the 2nd Workshop on managing technical debt*, páginas 35–38. ACM, 2011. 24
- [LAL15] Zengyang Li, Paris Avgeriou e Peng Liang. A systematic mapping study on technical debt and its management. *Journal of Systems and Software*, 101:193–220, 2015. 5, 21, 31

- [Leh80] Meir M Lehman. Programs, life cycles, and laws of software evolution. *Proceedings of the IEEE*, 68(9):1060–1076, 1980. [17](#)
- [Leh96] Manny M Lehman. Laws of software evolution revisited. Em *European Workshop on Software Process Technology*, páginas 108–124. Springer, 1996. [17](#)
- [Let12] Jean-Louis Letouzey. The sqale method for evaluating technical debt. Em *Proceedings of the Third International Workshop on Managing Technical Debt*, páginas 31–36. IEEE Press, 2012. [79](#)
- [Lin12] Markus Lindgren. Bridging the software quality gap, 2012. [20](#)
- [LK94] David L Lanning e Taghi M Khoshgoftaar. Modeling the relationship between source code complexity and maintenance difficulty. *Computer*, (9):35–40, 1994. [20](#)
- [LM12] Jon Loeliger e Matthew McCullough. *Version Control with Git: Powerful tools and techniques for collaborative software development*. "O'Reilly Media, Inc.", 2012. [58](#), [75](#), [139](#)
- [LTS12] Erin Lim, Nitin Taksande e Carolyn Seaman. A balancing act: What software practitioners have to say about technical debt. *IEEE software*, 29(6):22–27, 2012. [20](#)
- [MB17] Antonio Martini e Jan Bosch. The magnificent seven: towards a systematic estimation of technical debt interest. Em *Proceedings of the XP2017 Scientific Workshops*, página 7. ACM, 2017. [8](#)
- [MBC14] Antonio Martini, Jan Bosch e Michel Chaudron. Architecture technical debt: Understanding causes and a qualitative model. Em *Software Engineering and Advanced Applications (SEAA), 2014 40th EUROMICRO Conference on*, páginas 85–92. IEEE, 2014. [27](#)
- [McC76] Thomas J McCabe. A complexity measure. *Software Engineering, IEEE Transactions on*, (4):308–320, 1976. [80](#), [84](#)
- [MDMFG08] Emilia Mendes, Sergio Di Martino, Filomena Ferrucci e Carmine Gravino. Cross-company vs. single-company web effort models using the tukutuku database: An extended study. *Journal of Systems and Software*, 81(5):673–690, 2008. [137](#)
- [Mei10] LIU Yu KONG Bo YANG Mei. Research on typical technologies of embedded database-berkeley db java edition and apache derby. *Microcomputer Information*, 32, 2010. [71](#)
- [MFC00] Tim Mackinnon, Steve Freeman e Philip Craig. Endo-testing: unit testing with mock objects. *Extreme programming examined*, páginas 287–301, 2000. [16](#)
- [MGSB12] J David Morgenthaler, Misha Gridnev, Raluca Sauciuc e Sanjay Bhansali. Searching for build debt: Experiences managing technical debt at google. Em *Proceedings of the Third International Workshop on Managing Technical Debt*, páginas 1–6. IEEE Press, 2012. [28](#)
- [MH02] Audris Mockus e James D Herbsleb. Expertise browser: a quantitative approach to identifying expertise. Em *Proceedings of the 24th International Conference on Software Engineering. ICSE 2002*, páginas 503–512. IEEE, 2002. [53](#)
- [Min11] Michael Minella. *Pro Spring Batch*. Apress, 2011. [ix](#), [70](#)
- [MJ06] Kane Mar e Michael James. Technical debt and design death, 2006. [17](#)

- [MKAH14] Shane McIntosh, Yasutaka Kamei, Bram Adams e Ahmed E Hassan. The impact of code review coverage and code review participation on software quality: A case study of the qt, vtk, and itk projects. Em *Proceedings of the 11th Working Conference on Mining Software Repositories*, páginas 192–201. ACM, 2014. 15
- [MKCC03] Alan MacCormack, Chris F Kemerer, Michael Cusumano e Bill Crandall. Trade-offs between productivity and quality in selecting software development practices. *Ieee Software*, 20(5):78–85, 2003. 39, 60
- [MLVPG11] Collin McMillan, Mario Linares-Vasquez, Denys Poshyvanyk e Mark Grechanik. Categorizing software applications for maintenance. Em *2011 27th IEEE International Conference on Software Maintenance (ICSM)*, páginas 343–352. IEEE, 2011. 49
- [MS15] Everton da S Maldonado e Emad Shihab. Detecting and quantifying different types of self-admitted technical debt. Em *Managing Technical Debt (MTD), 2015 IEEE 7th International Workshop on*, páginas 9–15. IEEE, 2015. 24
- [MSD<sup>+</sup>15] Niels Martin, Marijke Swennen, Benoît Depaire, Mieke Jans, An Caris e Koen Vanhoof. Batch processing: definition and event log identification. RWTH Aachen University, 2015. 70
- [MSH08] Girish Maskeri, Santonu Sarkar e Kenneth Heafield. Mining business topics in source code using latent dirichlet allocation. Em *Proceedings of the 1st India software engineering conference*, páginas 113–120. ACM, 2008. 49
- [MSHZ15] Wenkai Mo, Beijun Shen, Yuming He e Hao Zhong. Geminer: Mining social and programming behaviors to identify experts in github. Em *Proceedings of the 7th Asia-Pacific Symposium on Internetware*, páginas 93–101. ACM, 2015. ix, 53, 56
- [MSM<sup>+</sup>16] Rodrigo Morales, Aminata Sabane, Pooya Musavi, Foutse Khomh, Francisco Chicano e Giuliano Antoniol. Finding the best compromise between design quality and testing effort during refactoring. Em *2016 IEEE 23rd International Conference on Software Analysis, Evolution, and Reengineering (SANER)*, páginas 24–35. IEEE, 2016. 15
- [Mus14] Benjamin Muschko. *Gradle in action*. Manning, 2014. 28
- [MVV<sup>+</sup>17] Antonio Martini, Simon Vajda, Rajesh Vasa, Allan Jones, Mohamed Abdelrazek, John Grundy e Jan Bosch. Technical debt interest assessment: from issues to project. Em *Proceedings of the XP2017 Scientific Workshops*, página 9. ACM, 2017. 8
- [MZ14] Tyler Munger e Jiabin Zhao. Automatically identifying experts in on-line support forums using social interactions and post content. Em *Proceedings of the 2014 IEEE/ACM International Conference on Advances in Social Networks Analysis and Mining*, páginas 930–935. IEEE Press, 2014. 53
- [NVK11] Ariadi Nugroho, Joost Visser e Tobias Kuipers. An empirical model of technical debt and interest. Em *Proceedings of the 2nd Workshop on Managing Technical Debt*, páginas 1–8. ACM, 2011. 7, 9
- [OCBZ09] Steffen Olbrich, Daniela S Cruzes, Victor Basili e Nico Zazworka. The evolution and impact of code smells: A case study of two open source systems. Em *Empirical Software Engineering and Measurement, 2009. ESEM 2009. 3rd International Symposium on*, páginas 390–400. IEEE, 2009. 19



- [OGS15] Frederico Oliveira, Alfredo Goldman e Viviane Santos. Managing technical debt in software projects using scrum: An action research. Em *Agile Conference (AGILE)*, 2015, páginas 50–59. IEEE, 2015. [35](#)
- [Ott09] Stefan Otte. Version control systems. *Computer Systems and Telematics*, páginas 11–13, 2009. [139](#)
- [P<sup>+</sup>15] Dmitrii Poliakov et al. A systematic mapping study on technical debt definition. 2015. [xi](#), [19](#), [20](#)
- [Par92] Robert E Park. Software size measurement: A framework for counting source statements. Relatório técnico, Carnegie-Mellon Univ Pittsburgh Pa Software Engineering Inst, 1992. [60](#)
- [PBMW99] Lawrence Page, Sergey Brin, Rajeev Motwani e Terry Winograd. The pagerank citation ranking: Bringing order to the web. Relatório técnico, Stanford InfoLab, 1999. [54](#)
- [PCSF08] C Michael Pilato, Ben Collins-Sussman e Brian W Fitzpatrick. *Version Control with Subversion: Next Generation Open Source Version Control*. "O'Reilly Media, Inc.", 2008. [139](#)
- [Pet11] Kai Petersen. Measuring and predicting software productivity: A systematic map and review. *Information and Software Technology*, 53(4):317–343, 2011. [40](#)
- [PFMM08] Kai Petersen, Robert Feldt, Shahid Mujtaba e Michael Mattsson. Systematic mapping studies in software engineering. Em *Ease*, volume 8, páginas 68–77, 2008. [5](#)
- [Pow13] Ken Power. Understanding the impact of technical debt on the capacity and velocity of teams and organizations: viewing team and organization capacity as a portfolio of real options. Em *Managing Technical Debt (MTD)*, 2013 4th International Workshop on, páginas 28–31. IEEE, 2013. [3](#), [31](#)
- [RD02] Matthew Richardson e Pedro Domingos. The intelligent surfer: Probabilistic combination of link and content information in pagerank. Em *Advances in neural information processing systems*, páginas 1441–1448, 2002. [55](#)
- [Ree00] George Reese. *Database Programming with JDBC and JAVA*. "O'Reilly Media, Inc.", 2000. [71](#)
- [Ros97] Jarrett Rosenberg. Some misconceptions about lines of code. Em *Proceedings Fourth International Software Metrics Symposium*, páginas 137–142. IEEE, 1997. [60](#)
- [RPFD14] Baishakhi Ray, Daryl Posnett, Vladimir Filkov e Premkumar Devanbu. A large scale study of programming languages and code quality in github. Em *Proceedings of the 22nd ACM SIGSOFT International Symposium on Foundations of Software Engineering*, páginas 155–165. ACM, 2014. [62](#), [97](#)
- [RR13] Romain Robbes e David Röthlisberger. Using developer interaction data to compare expertise metrics. Em *Proceedings of the 10th Working Conference on Mining Software Repositories*, páginas 297–300. IEEE Press, 2013. [53](#)
- [Run06] Per Runeson. A survey of unit testing practices. *IEEE software*, 23(4):22–29, 2006. [14](#)

- [Sch13] Klaus Schmid. On the limits of the technical debt metaphor: Some guidance on going beyond. Em *Proceedings of the 4th International Workshop on Managing Technical Debt*, páginas 63–66. IEEE Press, 2013. 21
- [SFP12] Goparaju Sudhakar, Ayesha Farooq e Sanghamitra Patnaik. Measuring productivity of software development teams. 2012. 60
- [SG11] Carolyn Seaman e Yuepu Guo. Measuring and monitoring technical debt. *Advances in Computers*, 82:25–46, 2011. ix, 21, 33, 34, 35, 36
- [SGHS11] Michael Smit, Barry Gergel, H James Hoover e Eleni Stroulia. Code convention adherence in evolving software. Em *Software Maintenance (ICSM), 2011 27th IEEE International Conference on*, páginas 504–507. IEEE, 2011. 20
- [SIK86] Yosiyuki Sakamoto, Makio Ishiguro e Genshiro Kitagawa. Akaike information criterion statistics. *Dordrecht, The Netherlands: D. Reidel*, 81, 1986. 126
- [SK15] Kristóf Szabados e Attila Kovács. Technical debt of standardized test software. Em *Managing Technical Debt (MTD), 2015 IEEE 7th International Workshop on*, páginas 57–60. IEEE, 2015. 29
- [SL11] Elben Shira e Matthew Lease. Expert search on code repositories. Relatório técnico, Technical Report TR-11-42, Department of Computer Science, University of ... , 2011. 53
- [SPK13] Jose San Pedro e Alexandros Karatzoglou. Multiple outcome supervised latent dirichlet allocation for expert discovery in online forums. Em *Workshops at the Twenty-Seventh AAAI Conference on Artificial Intelligence*, 2013. 53
- [SSFM07] José Luiz dos SANTOS, Paulo SCHMIDT, Luciane Alves FERNANDES e Nilson Perinazzo MACHADO. Teoria da contabilidade: introdutória, intermediária e avançada. *São Paulo: Atlas*, 2007. 22
- [SSK14] Vallary Singh, Will Snipes e Nicholas A Kraft. A framework for estimating interest on technical debt by monitoring developer activity related to code comprehension. Em *Managing Technical Debt (MTD), 2014 Sixth International Workshop on*, páginas 27–30. IEEE, 2014. 7, 9, 21
- [SSS14] Girish Suryanarayana, Ganesh Samarthayam e Tushar Sharma. *Refactoring for software design smells: managing technical debt*. Morgan Kaufmann, 2014. 80
- [Ste10] Chris Sterling. *Managing software debt: building for inevitable change*. Addison-Wesley Professional, 2010. 3, 23, 24
- [SWR12] Marek G Stochel, Mariusz R Wawrowski e Magdalena Rabiej. Value-based technical debt model and its application. Em *ICSEA 2012, The Seventh International Conference on Software Engineering Advances*, 2012. 85
- [TBLJ13] Ferdian Thung, Tegawende F Bissyande, David Lo e Lingxiao Jiang. Network structure of social coding in github. Em *2013 17th European Conference on Software Maintenance and Reengineering*, páginas 323–326. IEEE, 2013. 91
- [TDH14] Jason Tsay, Laura Dabbish e James Herbsleb. Influence of social and technical factors for evaluating contribution in github. Em *Proceedings of the 36th international conference on Software engineering*, páginas 356–366. ACM, 2014. 92

- [TLB<sup>+</sup>09] Thomas Tan, Qi Li, Barry Boehm, Ye Yang, Mei He e Ramin Moazeni. Productivity trends in incremental and iterative software development. Em *2009 3rd International Symposium on Empirical Software Engineering and Measurement*, páginas 1–10. IEEE, 2009. 60
- [TRP09] Kai Tian, Meghan Revelle e Denys Poshyvanyk. Using latent dirichlet allocation for automatic categorization of software. Em *2009 6th IEEE International Working Conference on Mining Software Repositories*, páginas 163–166. IEEE, 2009. 49
- [VEM02] Eva Van Emden e Leon Moonen. Java quality assurance by detecting code smells. Em *Reverse Engineering, 2002. Proceedings. Ninth Working Conference on*, páginas 97–106. IEEE, 2002. 19
- [Ves06] Jennifer Vesperman. *Essential CVS: Version Control and Source Code Management*. "O'Reilly Media, Inc.", 2006. 139
- [Wan14] Hui Wang. Software defects classification prediction based on mining software repository. 2014. 67
- [WC16] John W Creswell. *Research Design.: Qualitative, Quantitative, Mixed Methods Approaches*. University Of Nebraska-Lincoln, 2016. 66
- [WESL12] Kristian Wiklund, Sigrid Eldh, Daniel Sundmark e Kristina Lundqvist. Technical debt in test automation. Em *Software Testing, Verification and Validation (ICST), 2012 IEEE Fifth International Conference on*, páginas 887–892. IEEE, 2012. 26
- [WHH03] Claes Wohlin, Martin Höst e Kennet Henningsson. Empirical research methods in software engineering. Em *Empirical methods and studies in software engineering*, páginas 7–23. Springer, 2003. 65, 66
- [WR18] Stefan Wagner e Melanie Ruhe. A systematic review of productivity factors in software development. *arXiv preprint arXiv:1801.06475*, 2018. 46
- [WRS<sup>+</sup>15] Igor Scaliante Wiese, Reginaldo Ré, Igor Steinmacher, Rodrigo Takashi Kuroda, Gustavo Ansaldi Oliva e Marco Aurélio Gerosa. Predicting change propagation from repository information. Em *Software Engineering (SBES), 2015 29th Brazilian Symposium on*, páginas 100–109. IEEE, 2015. 67
- [WWAL13] Lihshing Leigh Wang, Amber S Watts, Rawni A Anderson e Todd D Little. 31 common fallacies in quantitative research methodology. *The Oxford handbook of quantitative methods*, página 718, 2013. 66
- [XHJ12] Jifeng Xuan, Yan Hu e He Jiang. Debt-prone bugs: technical debt in software maintenance. *International Journal of Advancements in Computing Technology 2012a*, 4(19):453–461, 2012. 27
- [Yin11] Robert K Yin. *Applications of case study research*. Sage, 2011. 65
- [YMKI05] Tetsuo Yamamoto, Makoto Matsushita, Toshihiro Kamiya e Katsuro Inoue. Measuring similarity of large software systems based on source code correspondence. Em *International Conference on Product Focused Software Process Improvement*, páginas 530–544. Springer, 2005. 94
- [ZSSS11] Nico Zazworka, Michele A Shaw, Forrest Shull e Carolyn Seaman. Investigating the impact of design debt on software quality. Em *Proceedings of the 2nd Workshop on Managing Technical Debt*, páginas 17–23. ACM, 2011. 3



- [ZSV<sup>+</sup>13] Nico Zazworka, Rodrigo O Spínola, Antonio Vetro, Forrest Shull e Carolyn Seaman. A case study on effectively identifying technical debt. Em *Proceedings of the 17th International Conference on Evaluation and Assessment in Software Engineering*, páginas 42–47. ACM, 2013. [29](#)